

ΑΠΕΙΚΟΝΙΣΗ ΚΕΦΑΛΗΣ-ΤΡΑΧΗΛΟΥ

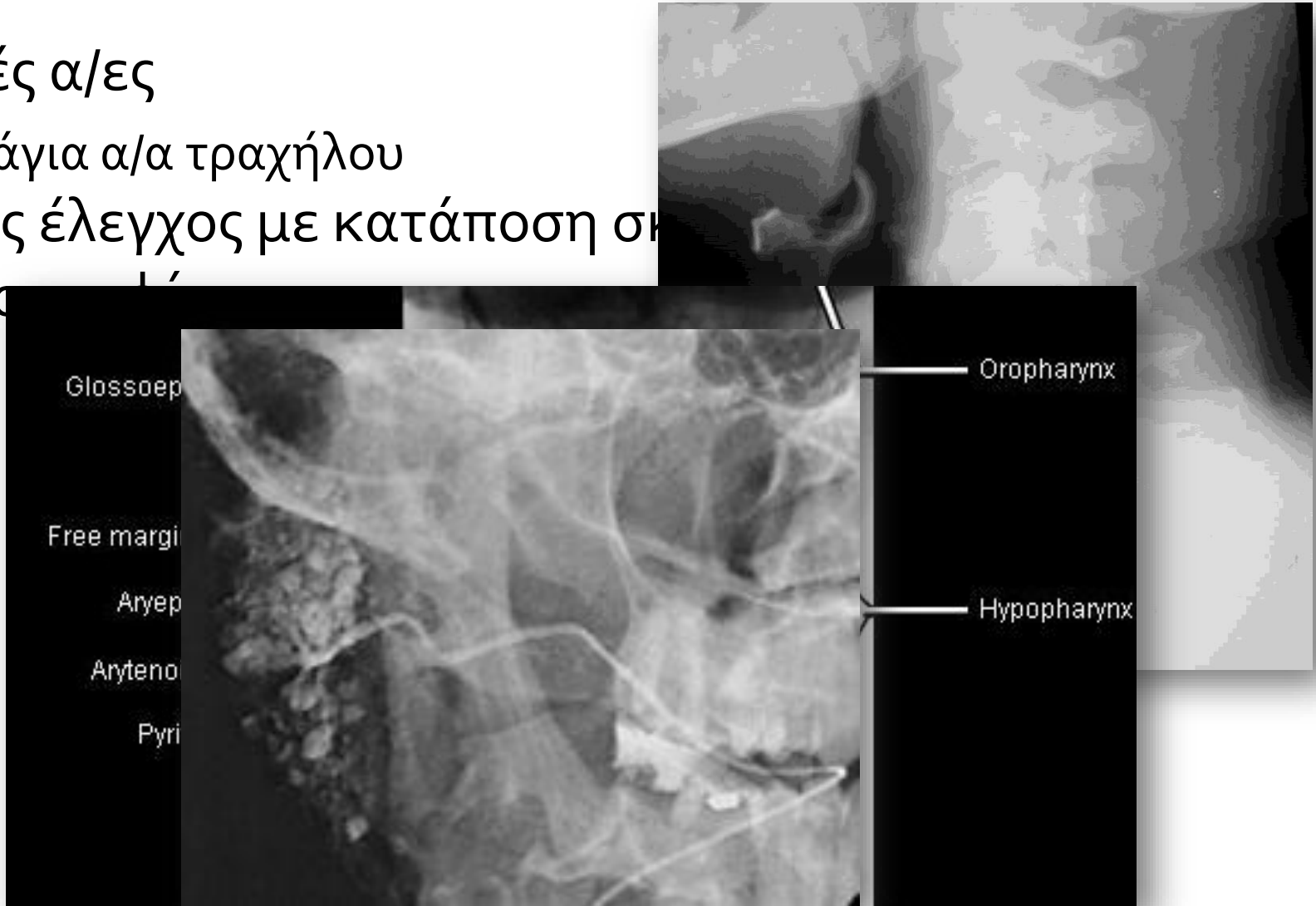
ΠΕΤΡΟΣ ΖΑΜΠΑΚΗΣ
ΑΝ. ΚΑΘΗΓΗΤΗΣ ΝΕΥΡΟΑΚΤΙΝΟΛΟΓΙΑΣ
ΠΑΝΕΠΙΣΤΗΜΙΟ ΠΑΤΡΩΝ

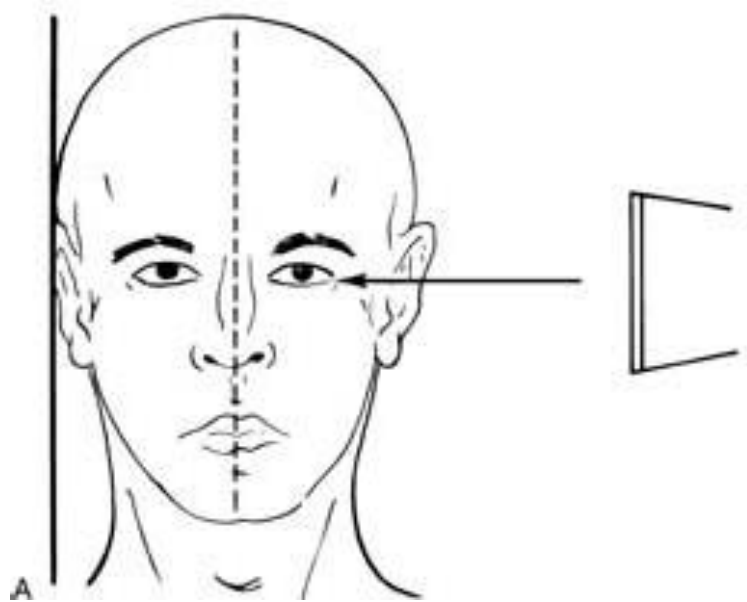
Στόχοι

- Αναφορά στις απεικονιστικές μεθόδους
- Απεικονιστική ανατομική
- Παραδείγματα βασικών παθολογικών καταστάσεων
- Βασικούς «χώρους» του τραχήλου
- Παραρρίνιους κόλπους
- Κροταφικό οστό
- Σιελογόνοι αδένες

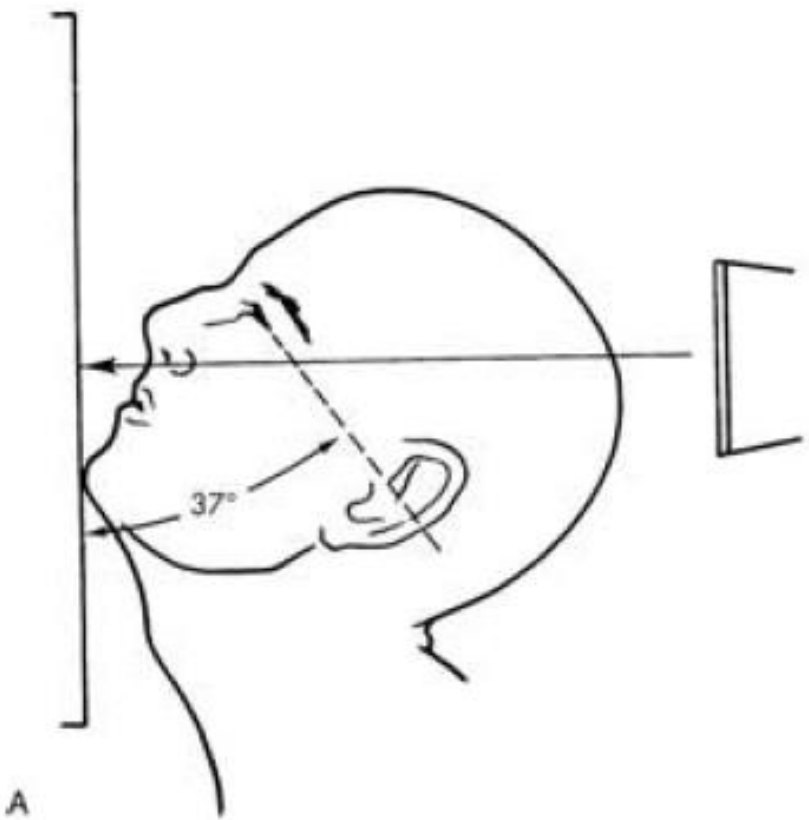
Απεικονιστικές τεχνικές

- Απλές α/ες
 - Πλάγια α/α τραχήλου
- Α/κος έλεγχος με κατάποση σκλήρωσης
- Σιελόφθρυντος





Πλάγια ακτινογραφία



Πωγωνορινική ακτινογραφία (Water's view)



Υπερπλαστικοί μετωπιαίοι κόλποι

Απλασία ΔΕ μετωπιαίου κόλπου /
Υποπλασία ΑΡ μετωπιαίου κόλπου



Απεικονιστικές τεχνικές

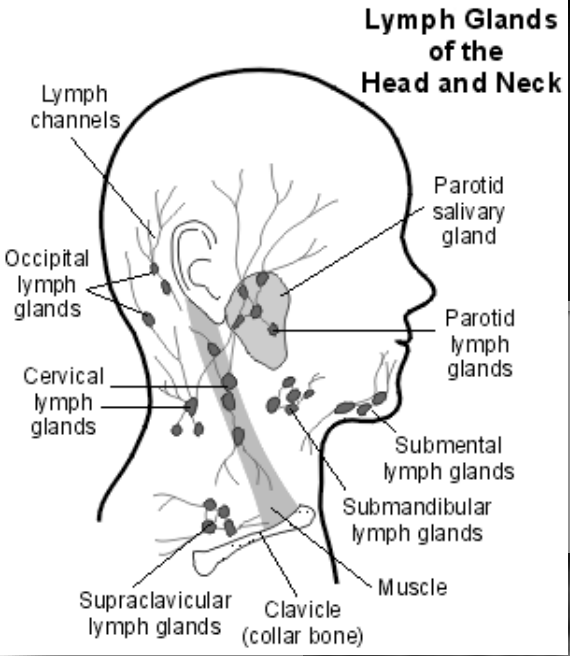
- Υπερηχοτομογραφία – US
- Αξονική Τομογραφία -CT
- Μαγνητική Τομογραφία -MRI
- Τομογραφία εκπομπής ποζιτρονίων -PET
 - PET –CT
- Αγγειογραφία
 - Προεγχειρητικός εμβολισμός
- Σπινθηρογράφημα
 - Παθήσεις θυρεοειδούς-παραθυρεοειδών

Υπερηχογράφημα - US

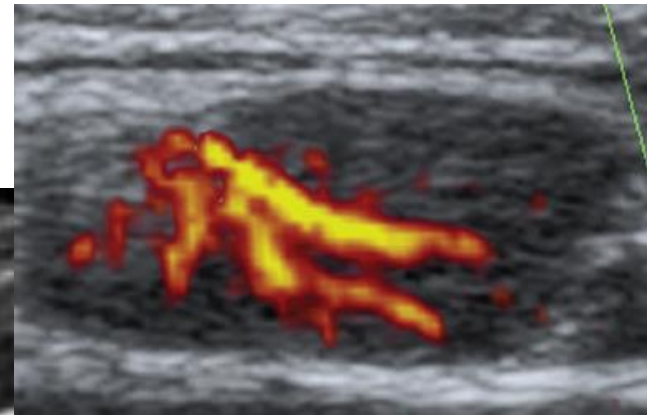
- Εκτίμηση
 - Τραχηλικών μαζών
 - Κυστικές -συμπαγείς
 - Τραχηλικών λεμφαδένων
 - Παθολογίας από το θυρεοειδή αδένα
 - Παθολογίας από τους σιελογόνους αδένες
- Καθοδήγηση για FNA & biopsy
- Ανώτερο του CT & MRI στην εκτίμηση επιφανειακών δομών (near field resolution)

Υπερηχογράφημα-US

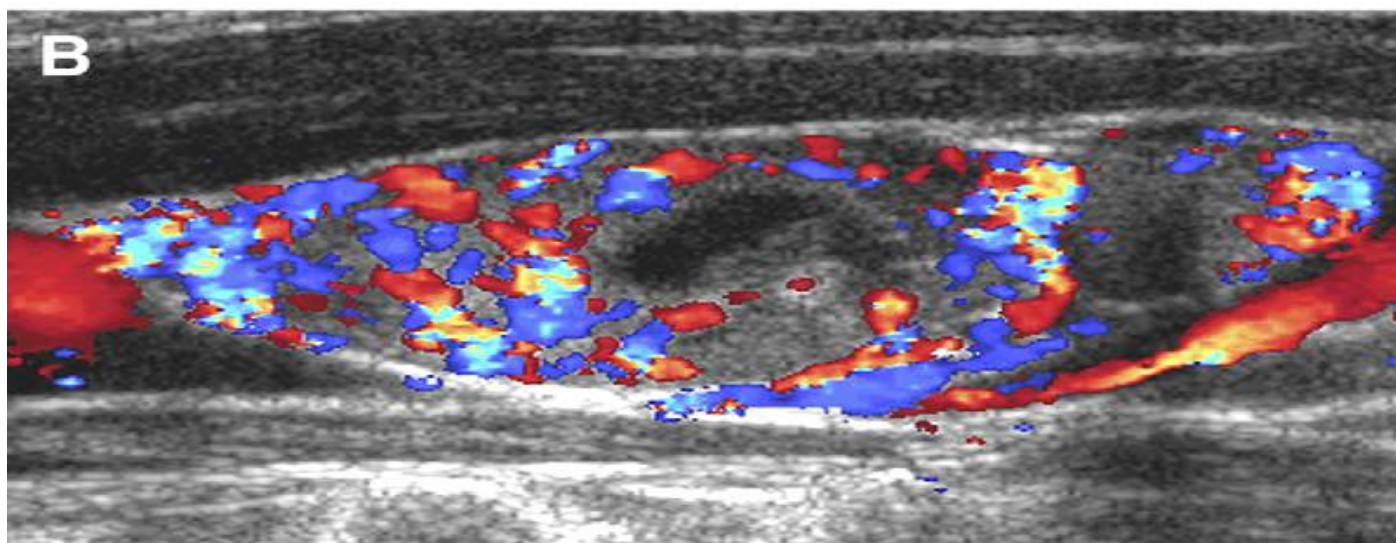
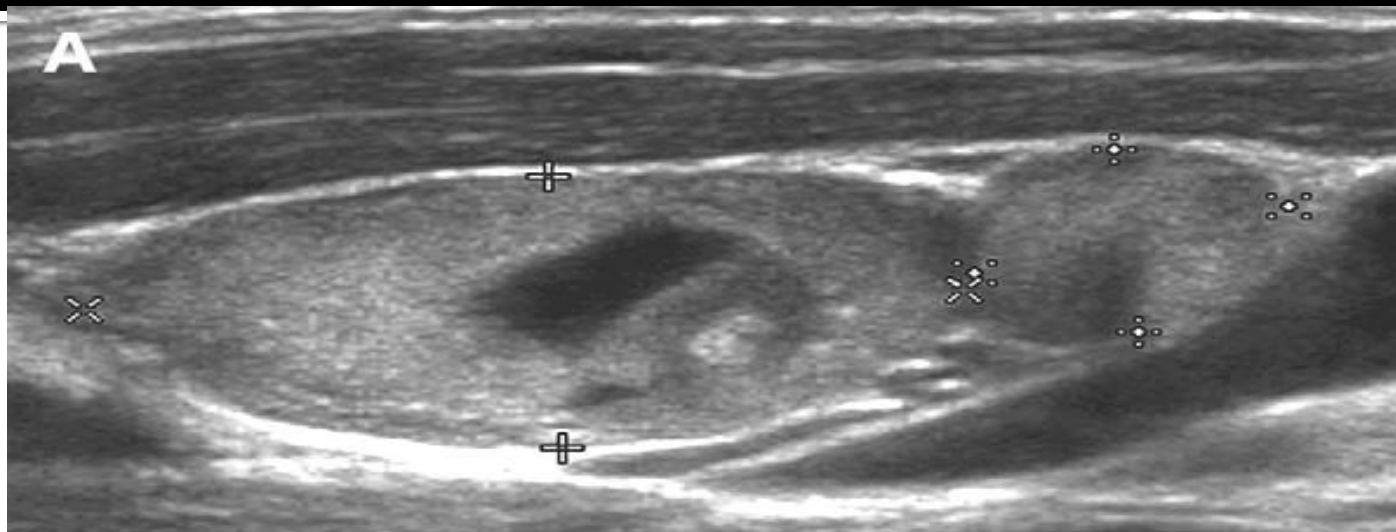
- Πλεονεκτήματα
 - Μη επεμβατική μέθοδος
 - Δεν έχει ακτινοβολία (παιδιά / νέους ασθενείς)
 - Καλά ανεκτή από ασθενείς
 - Δυναμικός έλεγχος –εκτίμηση σε κατάποση
 - Έλεγχος της αγγείωσης - **Color Doppler US**
- Μειονεκτήματα
 - Δεν υπάρχει συστηματοποιημένος τρόπος λήψης των εικόνων (Image format comprehension)
 - Αδυναμία στην αναγνώριση των εν τω βάθει δομών
 - Δυσκολία στην ανατομική εντόπιση μεγάλων –σύνθετων μαζών



Λεμφαδένες



Μεταστατικό Σα Θυρεοειδούς σε λεμφαδένα



- Εξέταση εκλογής στην ακριβή εκτίμηση των τραχηλικών μαζών
- Εντοπισμός των αλλοιώσεων και της ανατομικής συσχέτισης με τις λοιπές δομές του τραχήλου
 - Multislice : Ανασυνθέσεις - καλύτερη συσχέτιση στο χώρο
- Δυσκολία στην διάκριση μεταξύ όγκων και των πέριξ ιστών ακόμα και μετά σκιαγραφική ενίσχυση

CT

- Πλεονεκτήματα
 - Γρήγορη εξέταση -7 sec
 - Αναγνωρίζει οστά και αποτιτανώσεις
 - Δεν επηρεάζεται από μεταλλικά εμφυτεύματα (βλ. MRI)
 - Καθοδήγηση για βιοψίες
- Μειονεκτήματα
 - Χρήση ακτινοβολίας
 - IV contrast –σε pts με XNA

MRI

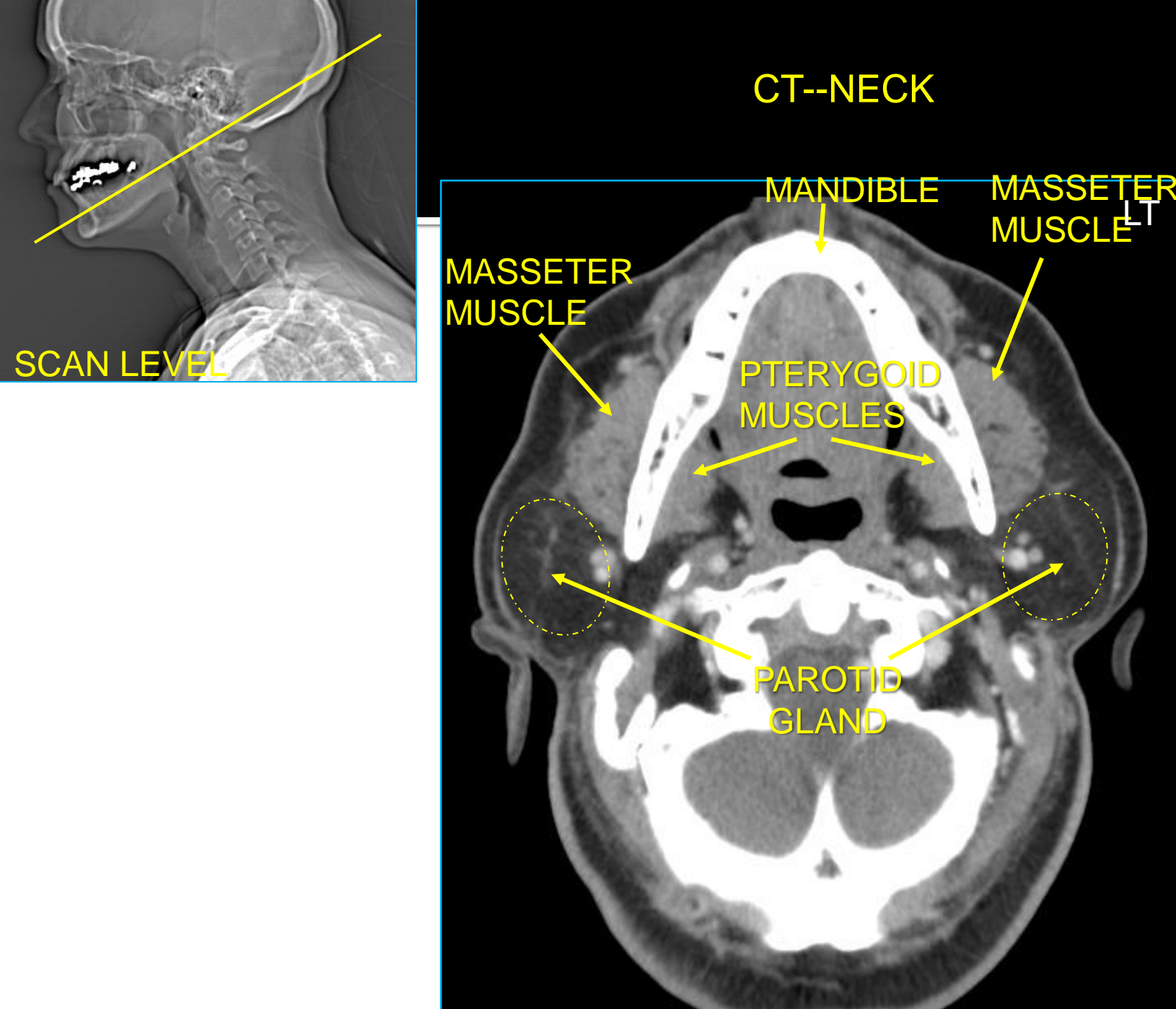
- Εξέταση εκλογής στη διάκριση μαλακών ιστών
- T₁ – ανάδειξη ανατομίας και λεπτομέρειες μαλακών ιστών
 - T₁ – weighted post IV gadolinium
- T₂ – ανάδειξη παθολογικών αλλοιώσεων
- STIR – βελτίωση της ανάδειξη πρόσληψης του σκιαγραφικού από μαλακά μόρια
- Fat saturation sequence-καταστολή του σήματος από το λίπος

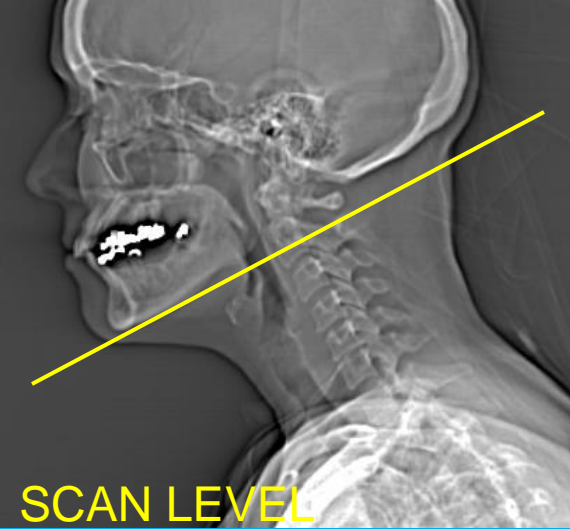
MRI

- Πλεονεκτήματα
 - Καλύτερη ανάδειξη της αντίθεσης ανάμεσα σε ιστούς - πρόσληψη του σκιαγραφικού μέσου
 - Ικανοποιητική χωρική διακριτική ικανότητα
 - Ανάδειξη ανατομίας-παθολογίας, σε διαφορετικά επίπεδα
- Μειονεκτήματα
 - Κόστος
 - Μεγάλος χρόνος εξέτασης
 - Προβλήματα κίνησης (Motion artefact)
 - Γενικές αντενδείξεις πχ βηματοδοτες, ..

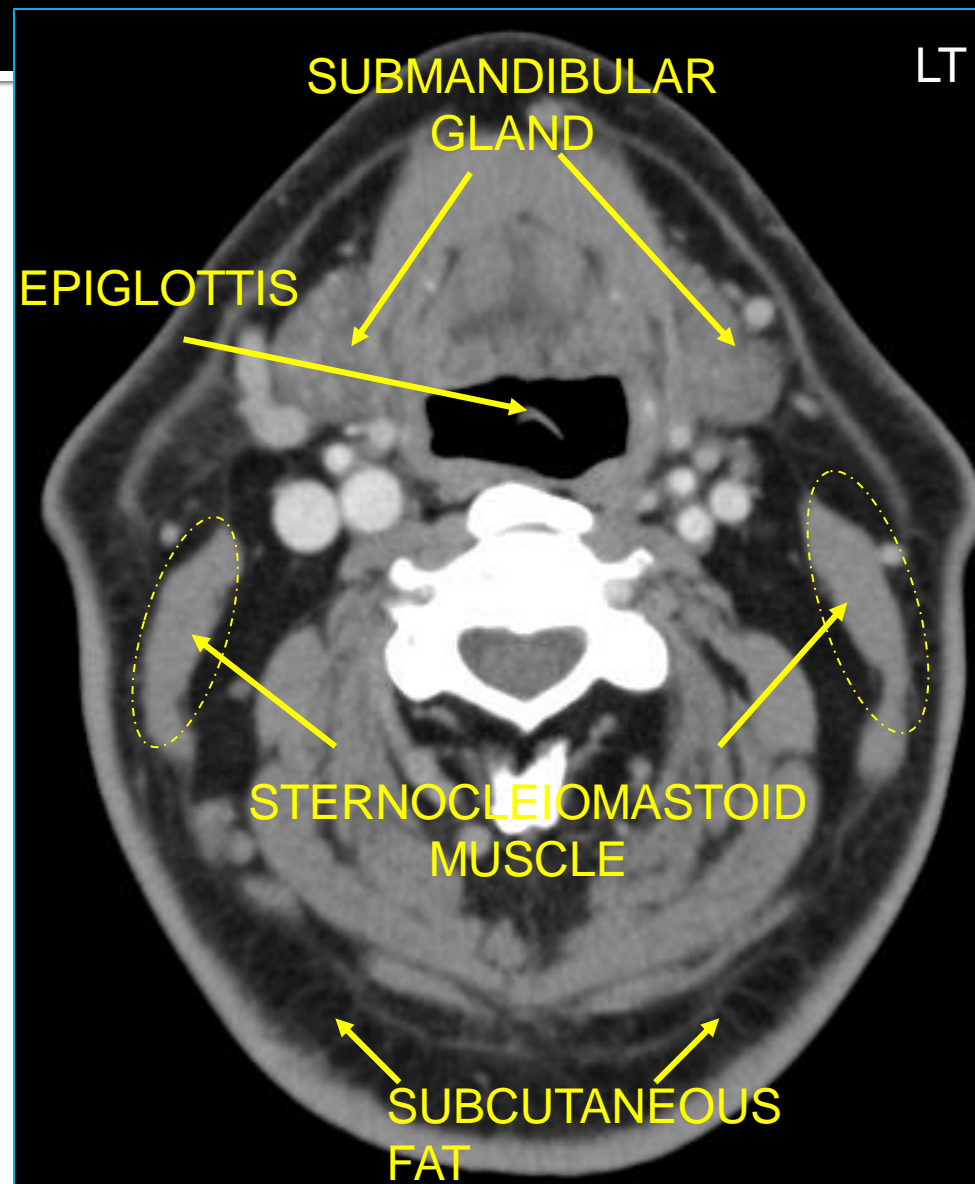
Στόχοι

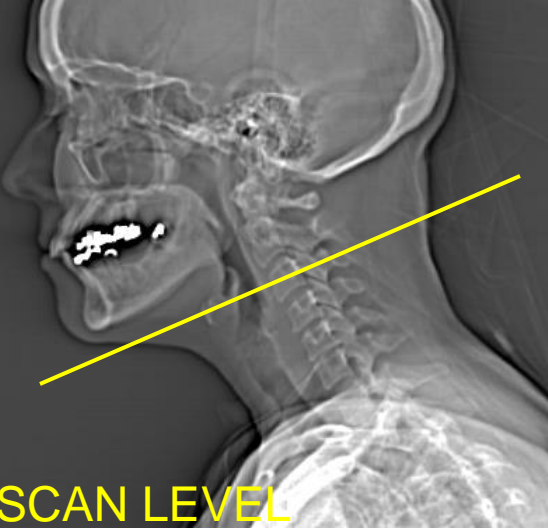
- Απεικονιστικές μέθοδοι
 - Τραχηλικές μάζες
- Cross sectional imaging
 - Απεικονιστική ανατομική
 - CT & MRI στις τραχηλικές μάζες
- H&N cancer



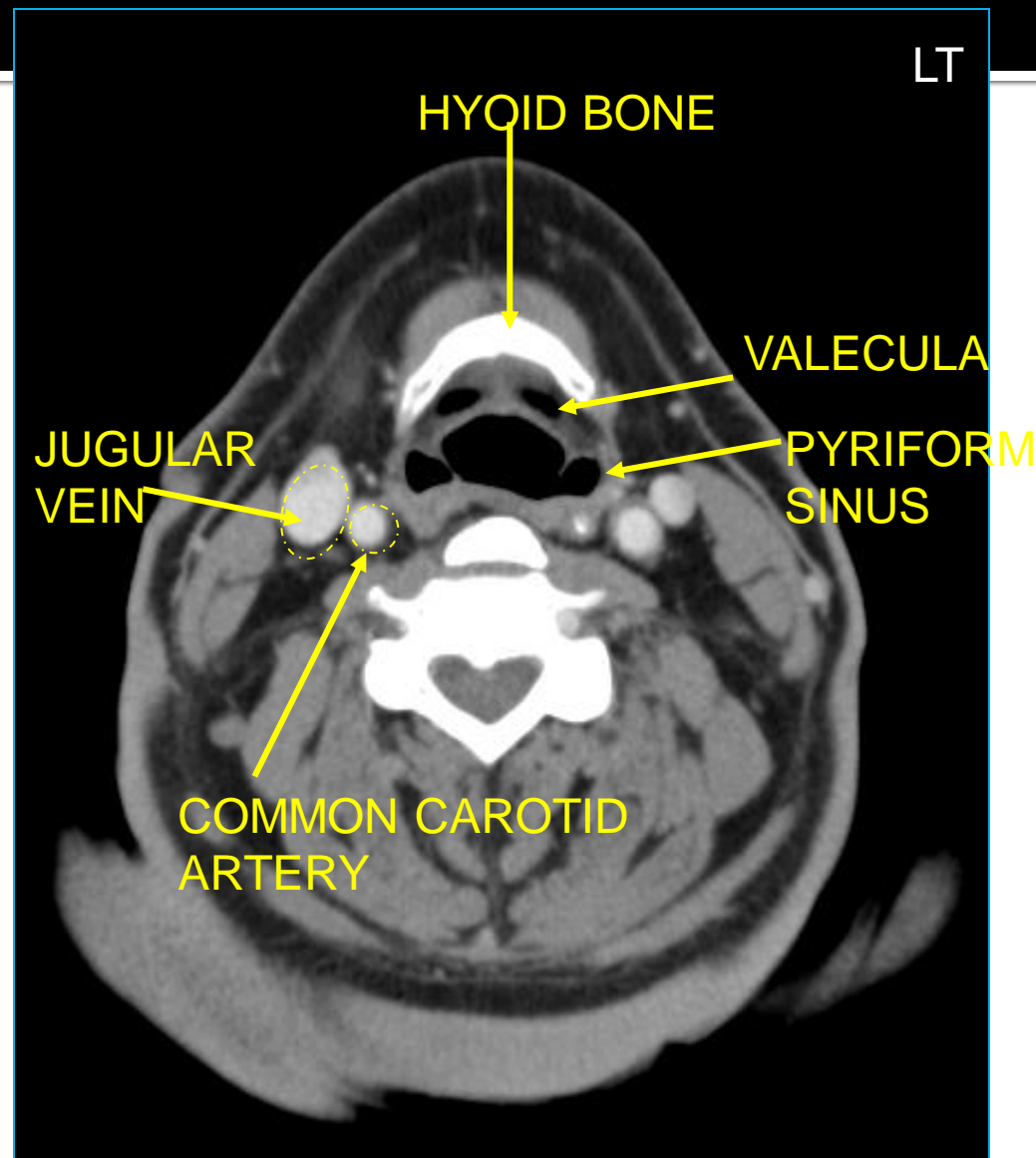


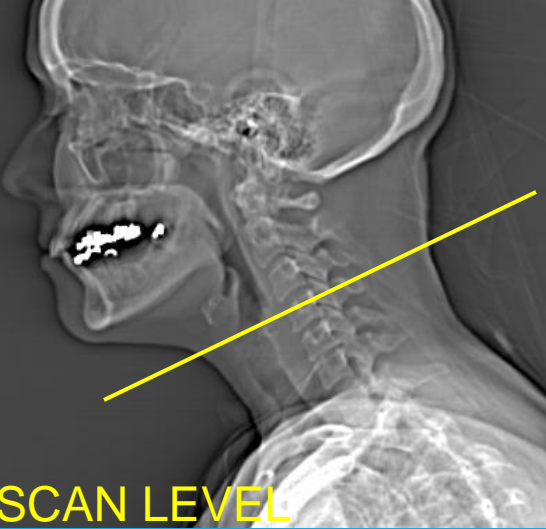
CT--NECK



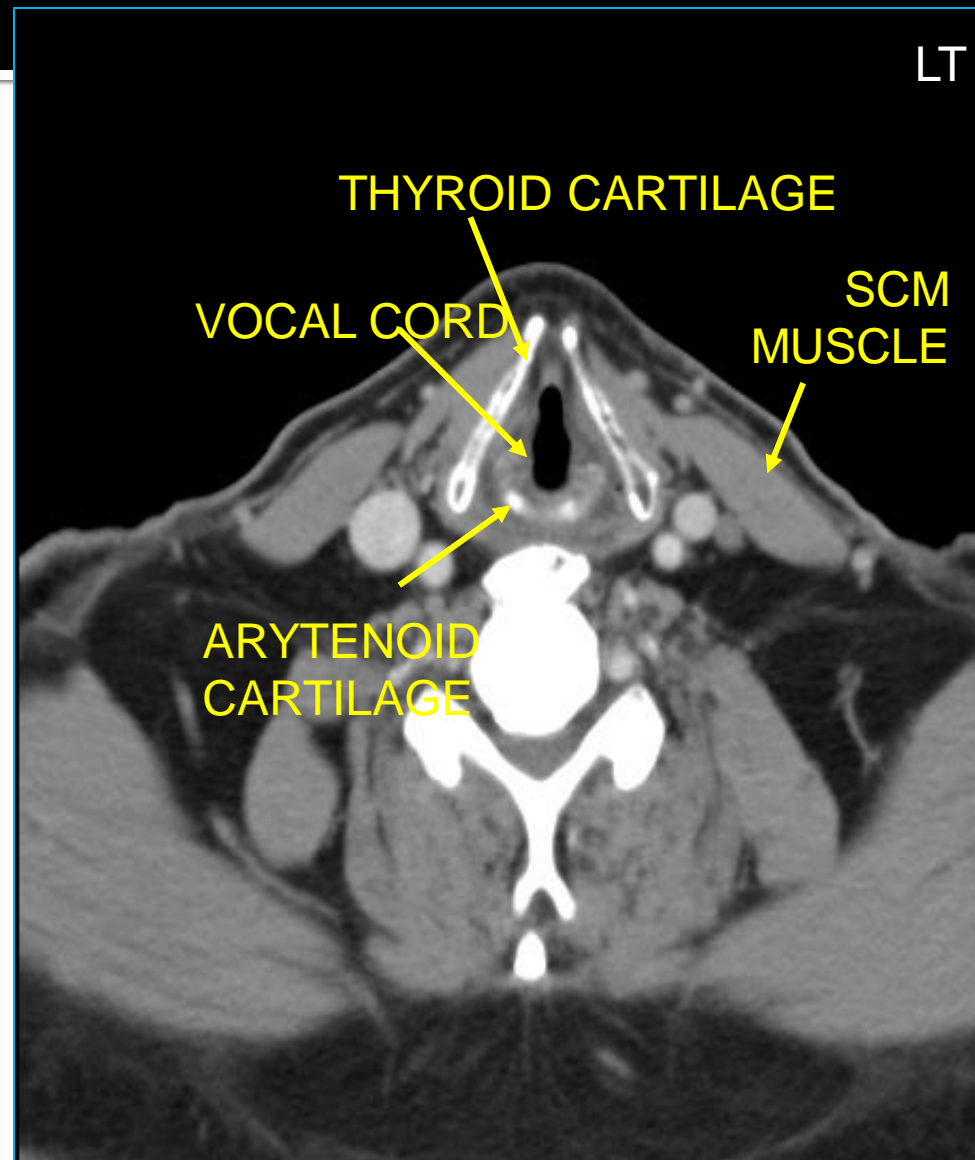


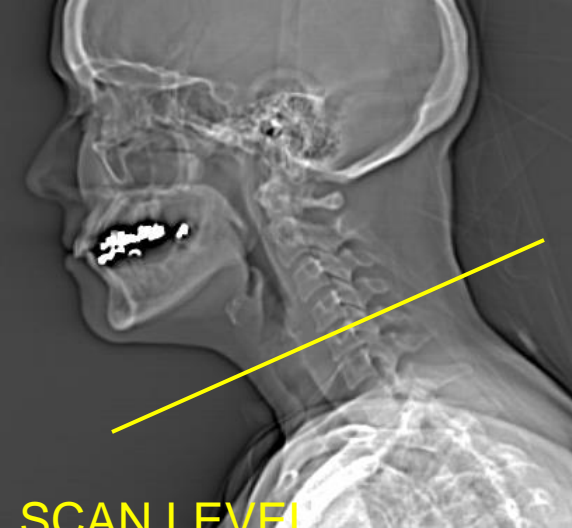
CT-- NECK



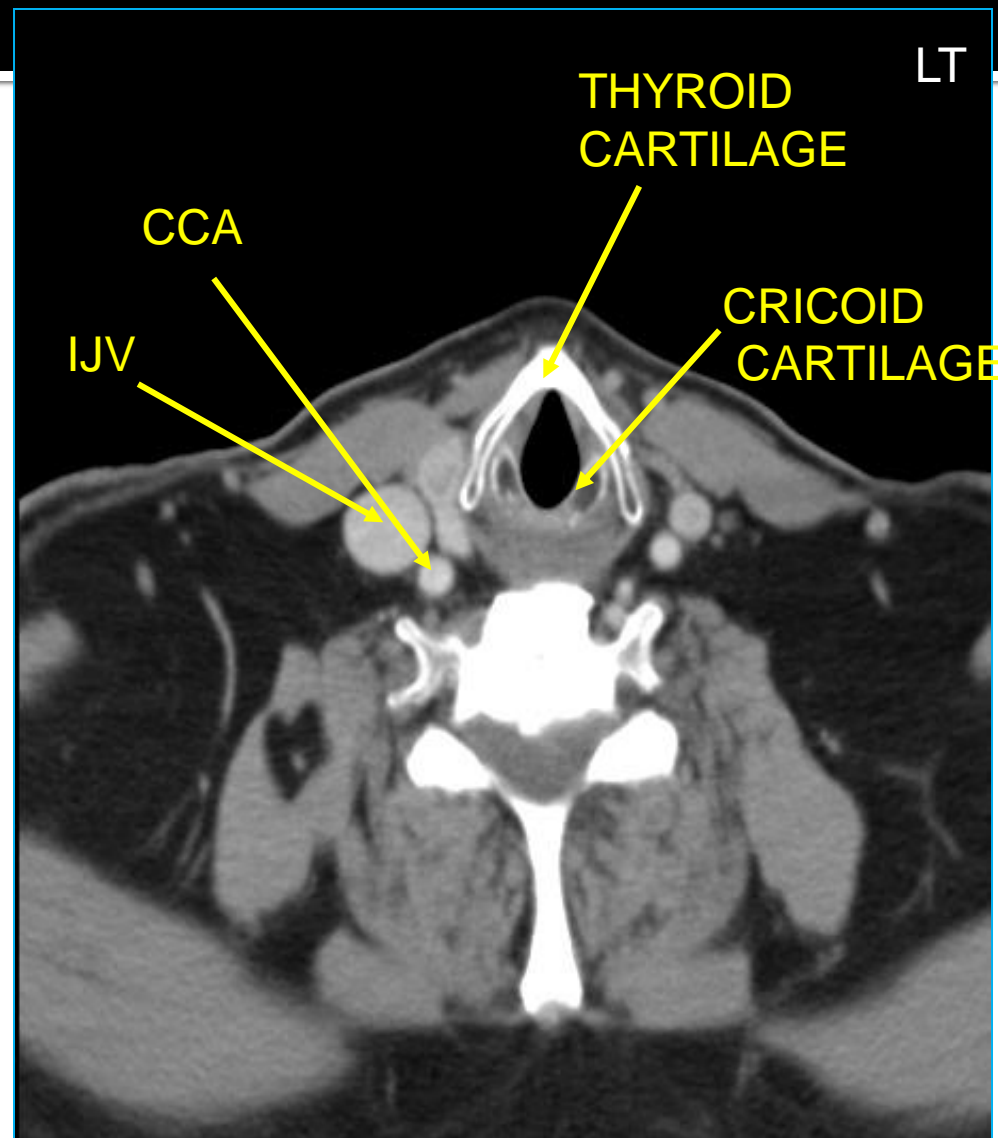


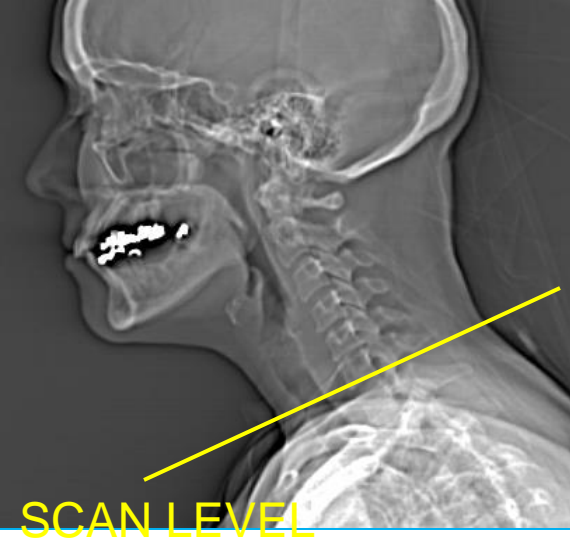
CT-- NECK



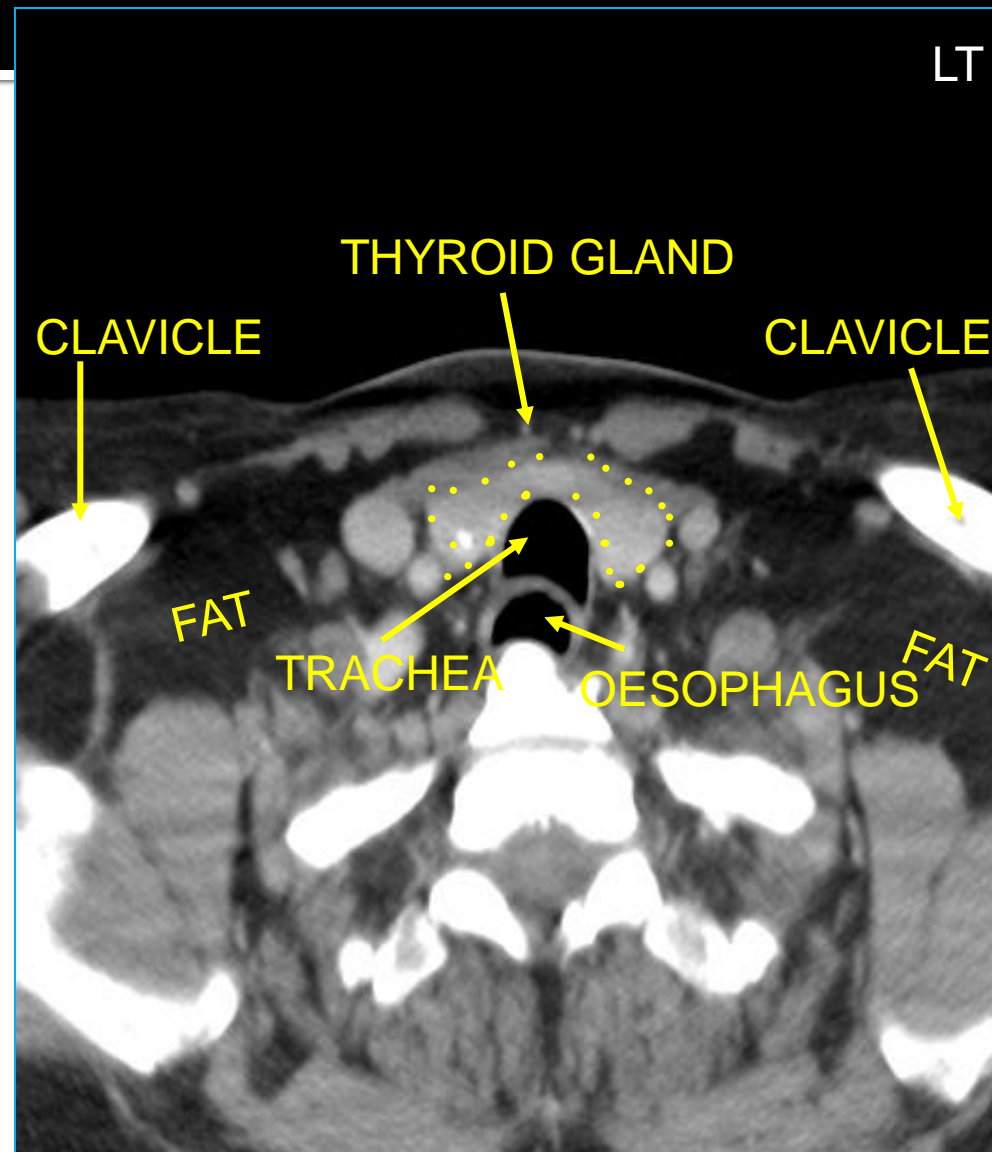


CT-- NECK





CT-- NECK



Εκτίμηση CT -MRI

ΠΟΙΟΣ ΧΩΡΟΣ?

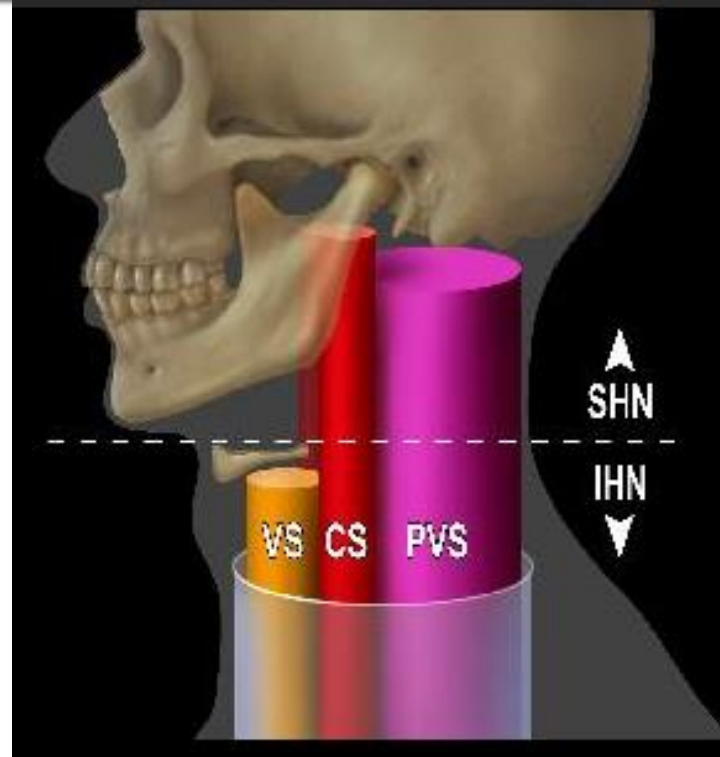
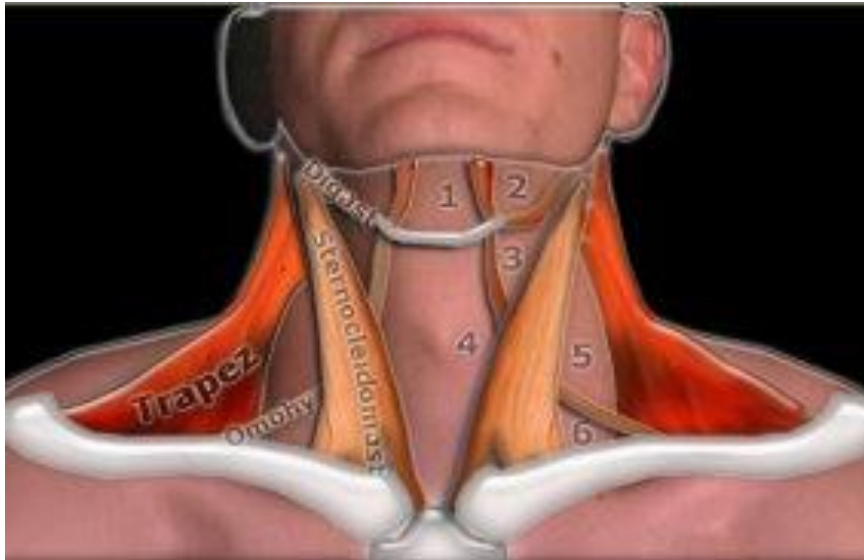


ΤΙ ΠΕΡΙΕΧΕΙ Ο ΧΩΡΟΣ?



ΑΚΤΙΝΟΛΟΓΙΚΟ ΠΡΟΤΥΠΟ ΚΑΙ
ΚΛΙΝΙΚΗ ΣΥΝΕΚΤΙΜΗΣΗ

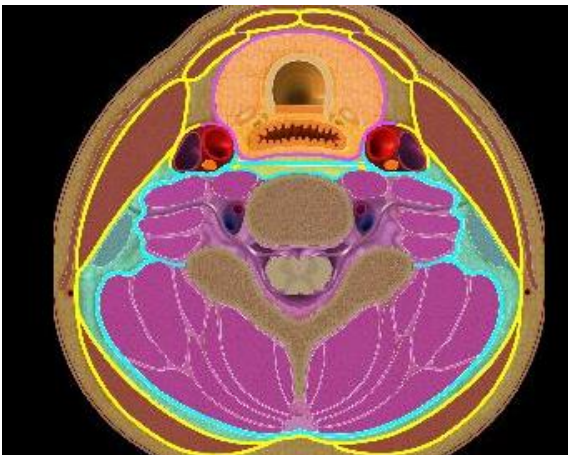
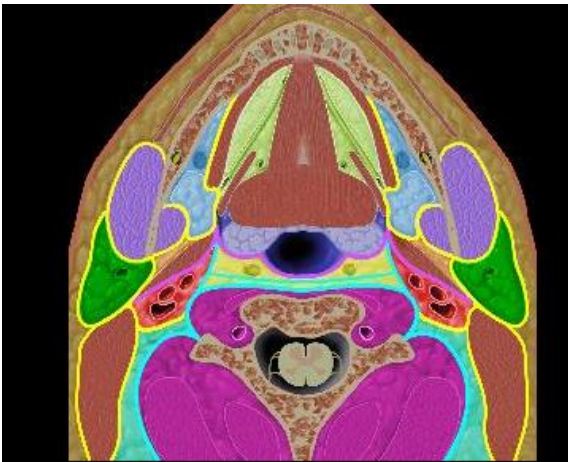
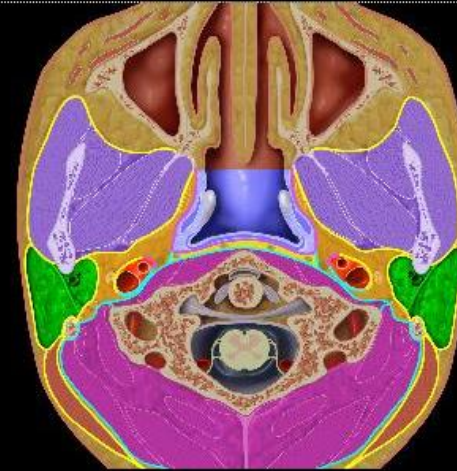
Radiologists use “spaces”, not triangles, to describe the neck



- Οι «χώρες» του τραχήλου καθορίζονται από την εν τω βάθει τραχηλική περιτονία
- Το υοειδές χωρίζει τον τράχηλο σε δύο περιοχές
 - Τράχηλος άνωθεν του υοειδούς -SHN
 - Τράχηλος κάτωθεν του υοειδούς - IHN

Τραχηλικές χώρες

- Superficial layer, deep cervical fascia (SL-DCF)
 - SHN: Around MS & PS; part of carotid sheath
 - IHN: Invests neck by surrounding strap, sternocleidomastoid & trapezius muscles
- Middle layer, deep cervical fascia (ML-DCF)
 - SHN: ML-DCF defines PMS deep margin; contributes to carotid sheath
 - IHN: Circumscribes VS; part of carotid sheath
- Deep layer, deep cervical fascia (DL-DCF)
 - SHN & IHN: Surrounds perivertebral space
 - SHN & IHN: Contributes to carotid sheath
 - SHN & IHN: Alar fascia is slip of DL-DCF providing lateral wall to RPS & DS; also posterior wall to RPS separating RPS from DS



Τραχηλικές χώρες

- SHN –spaces: Από τη βάση του κρανίου μέχρι το υοειδές
 - Parapharyngeal Space -PPS
 - Pharyngeal Mucosal Space -PMS
 - Masticator Space -MS
 - Parotid Space –PS
 - Buccal Space – BS
 - Carotid Space –CS
 - Retropharyngeal Space –RPS
 - Danger Space –DS
 - Perivertebral Space –PVS
- IHN –spaces: κάτωθεν του υοειδές - κλείδες
 - Συνέχεται με το μεσοθωράκιο
 - Visceral Space –PVS
 - Posterior Cervical Space –PCS
 - Anterior Cervical Space –ACS
- Carotid Space –CS
- Retropharyngeal Space –RPS
 - Danger Space –DS
- Perivertebral Space –PVS

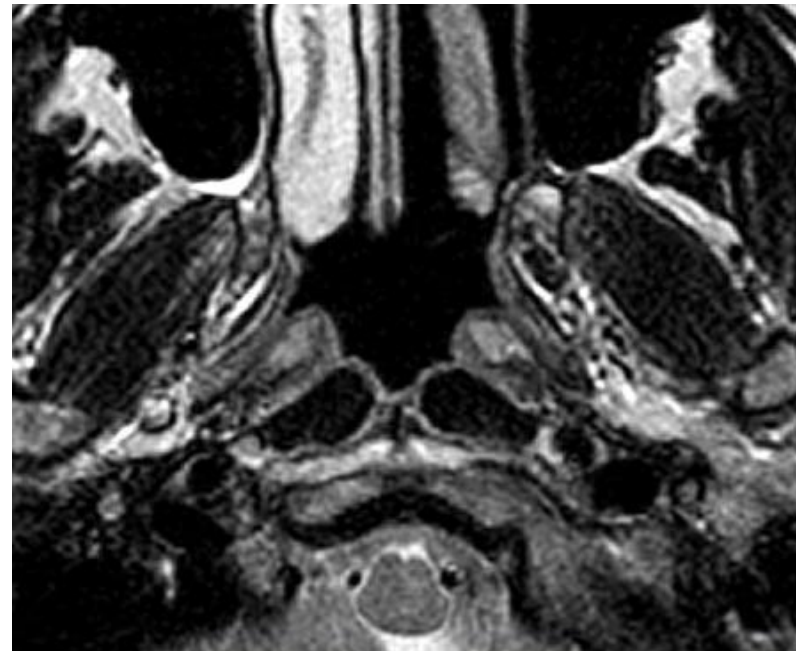
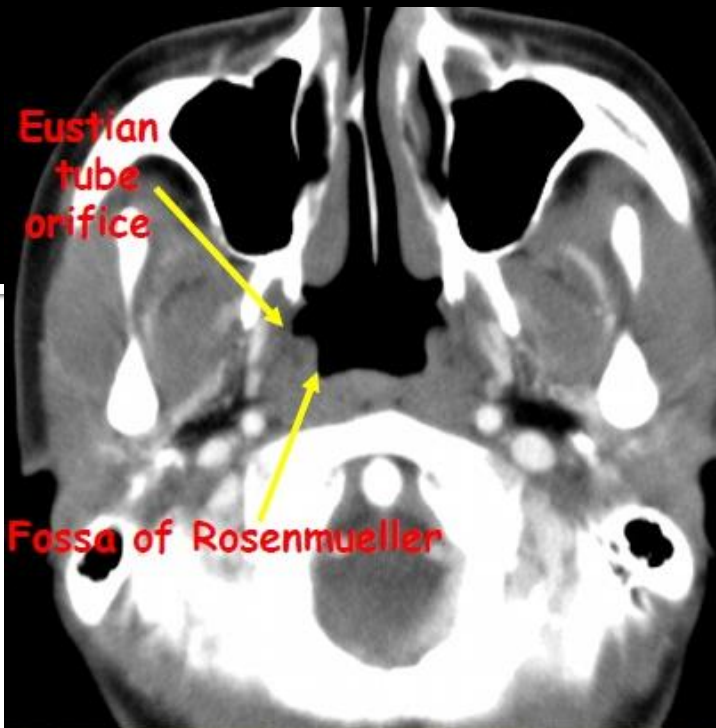
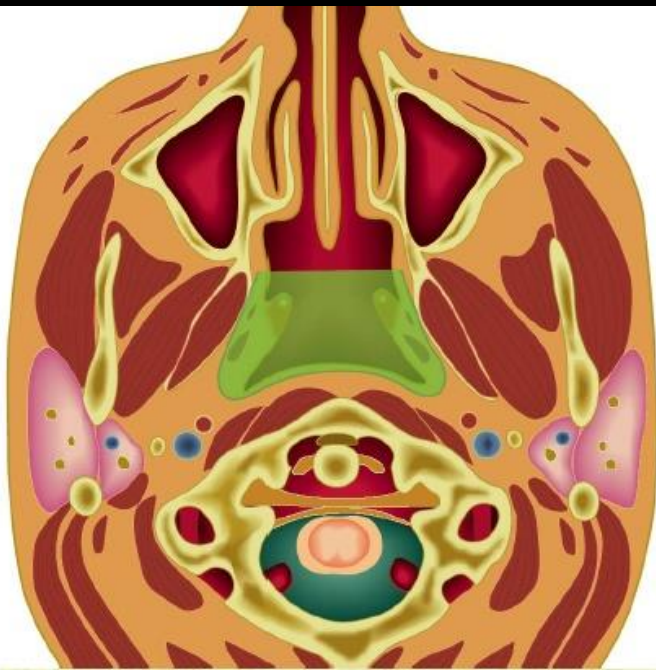
PPS: Parapharyngeal Space



Major contents: Fat & pterygoid venous plexus



PMS: Pharyngeal Mucosal Space

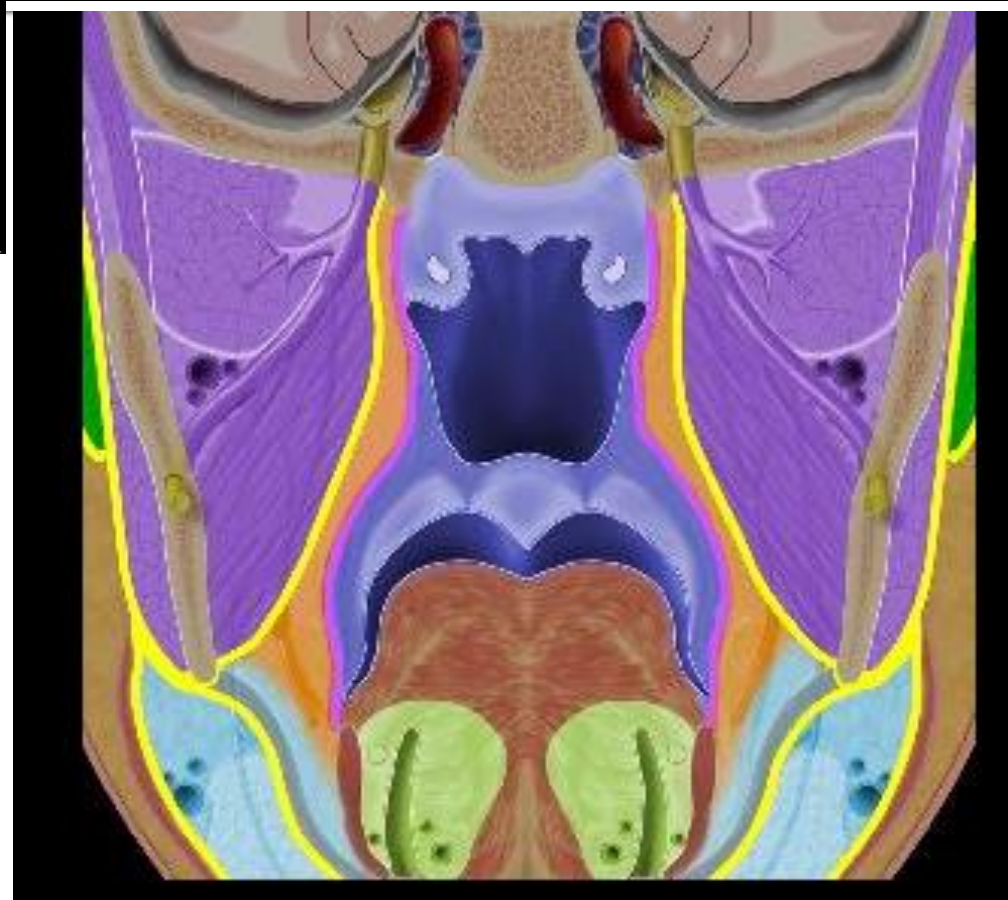
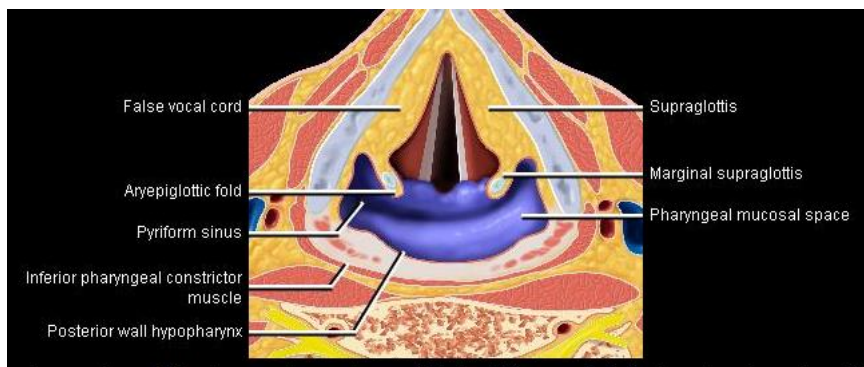
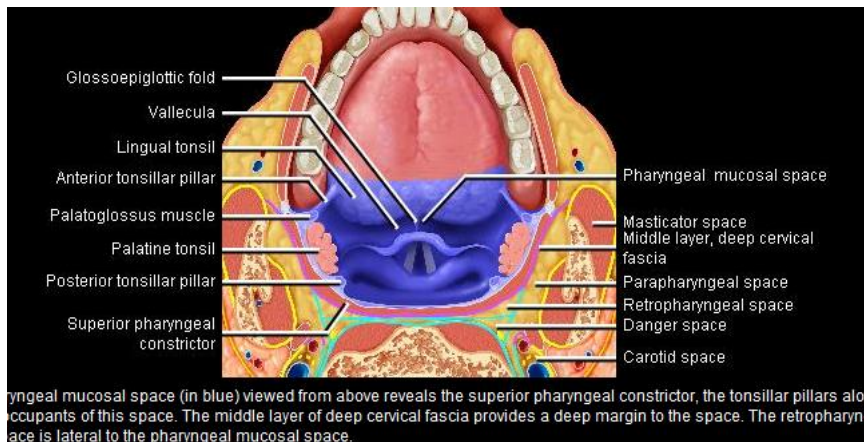
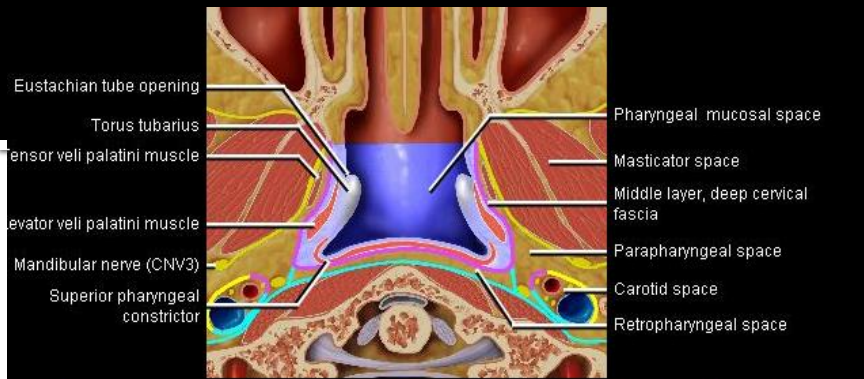


- **Contents:** Mucosa, minor salivary glands, lymphatic ring (also lymphoid tissues, tonsils), constrictor muscles of pharynx and palate.

- **Most common mass:**

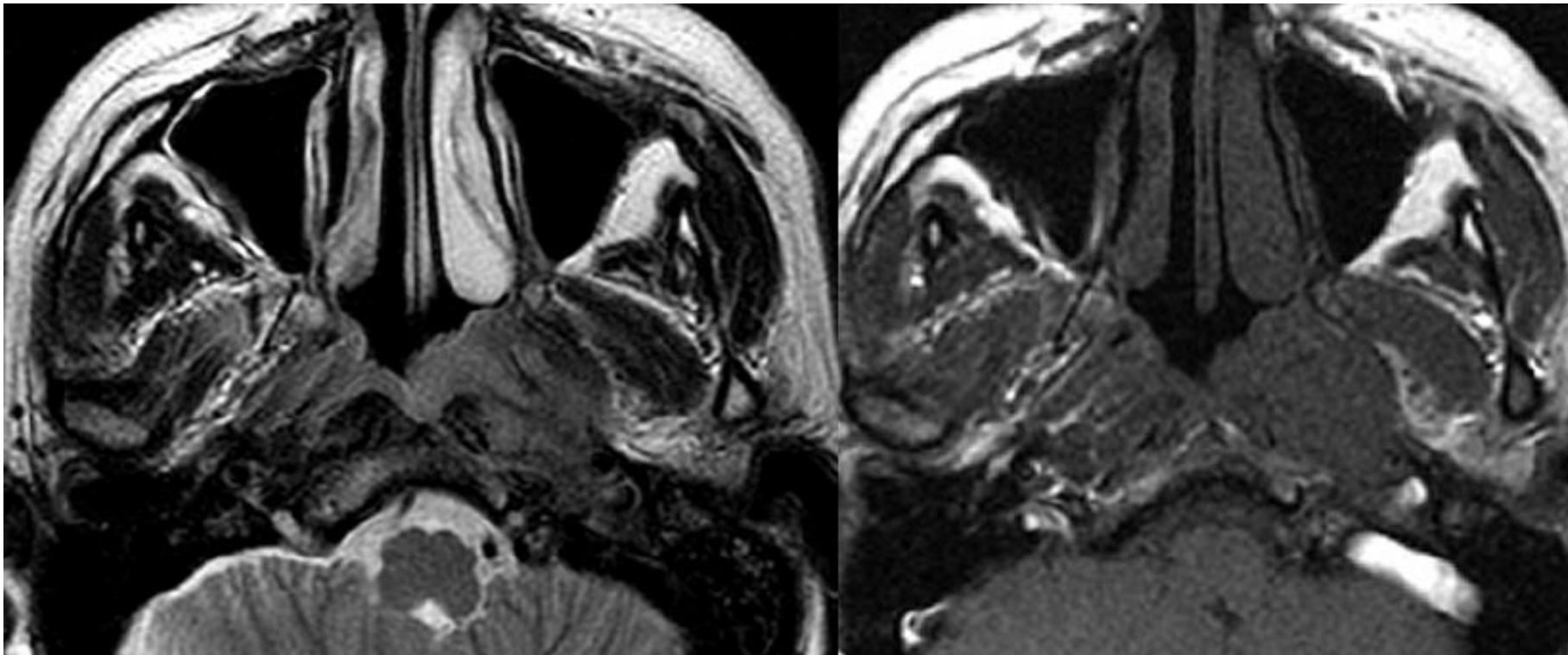
Squamous cell carcinoma (SCCA); lymphoma, minor salivary gland tumors less common.

PMS





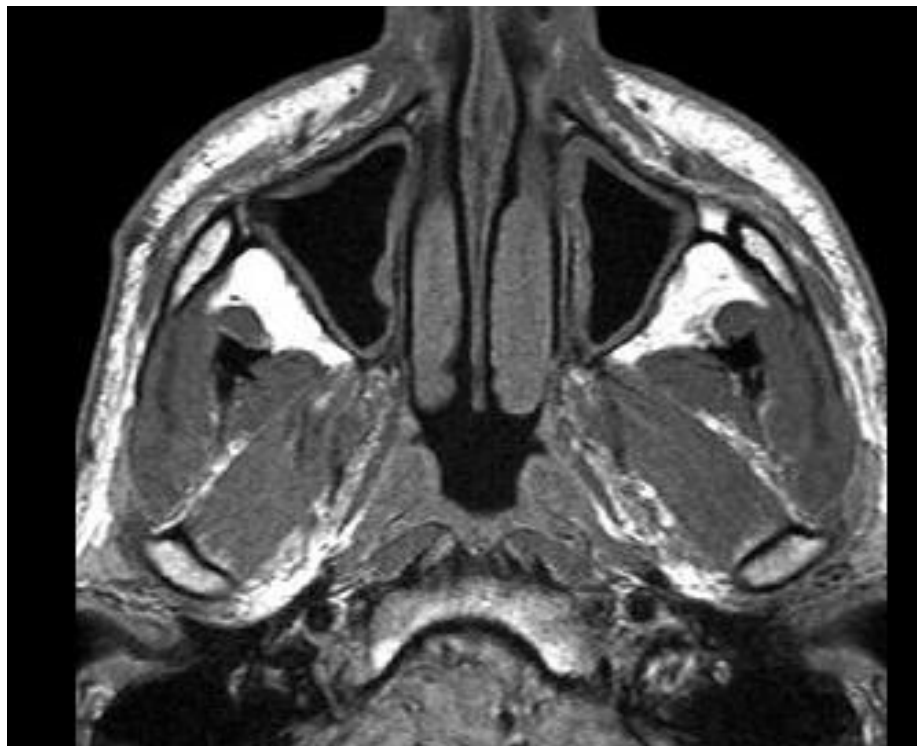
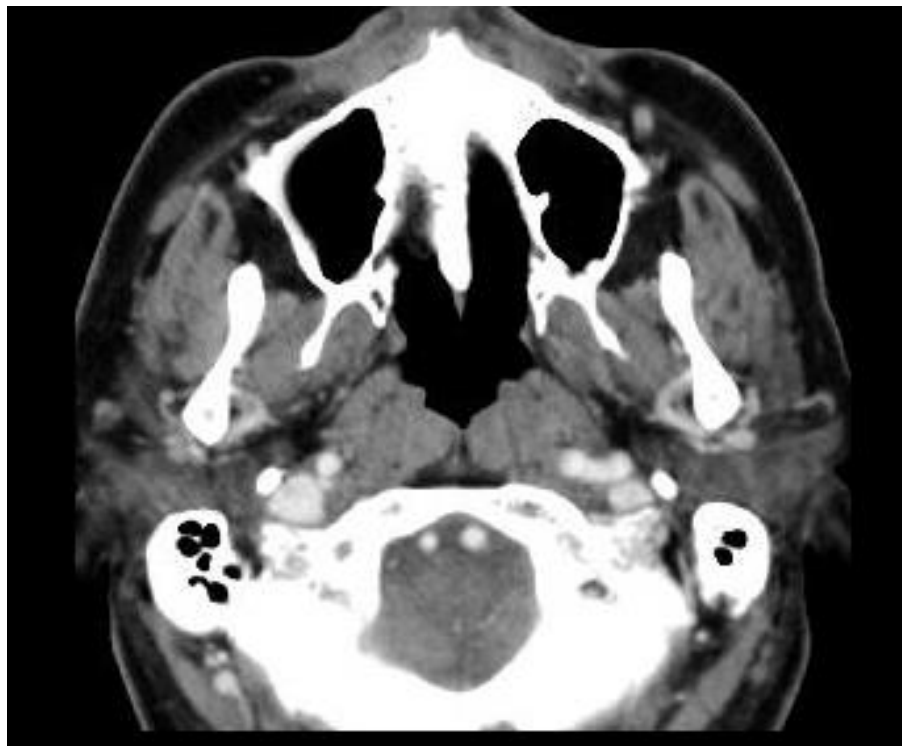
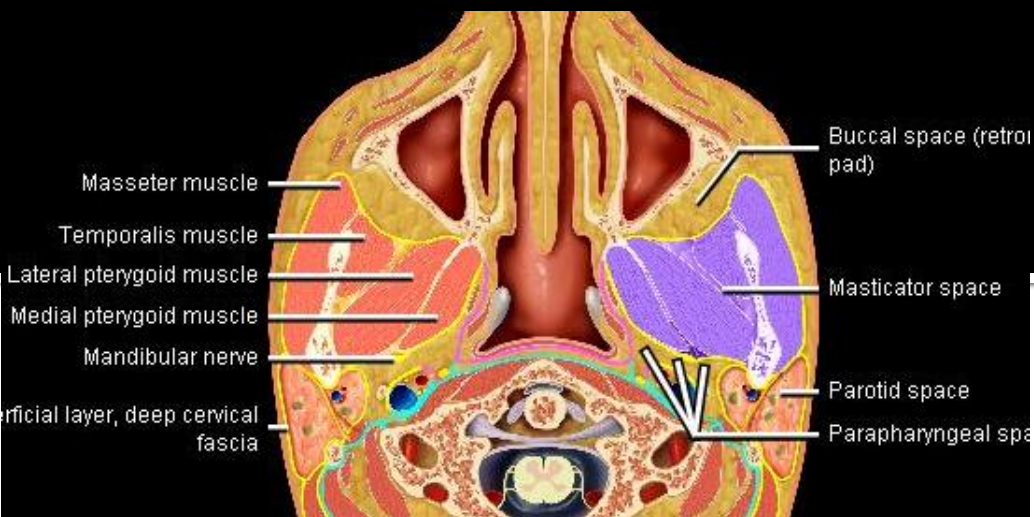
Καρκίνος ρινοφάρυγγα



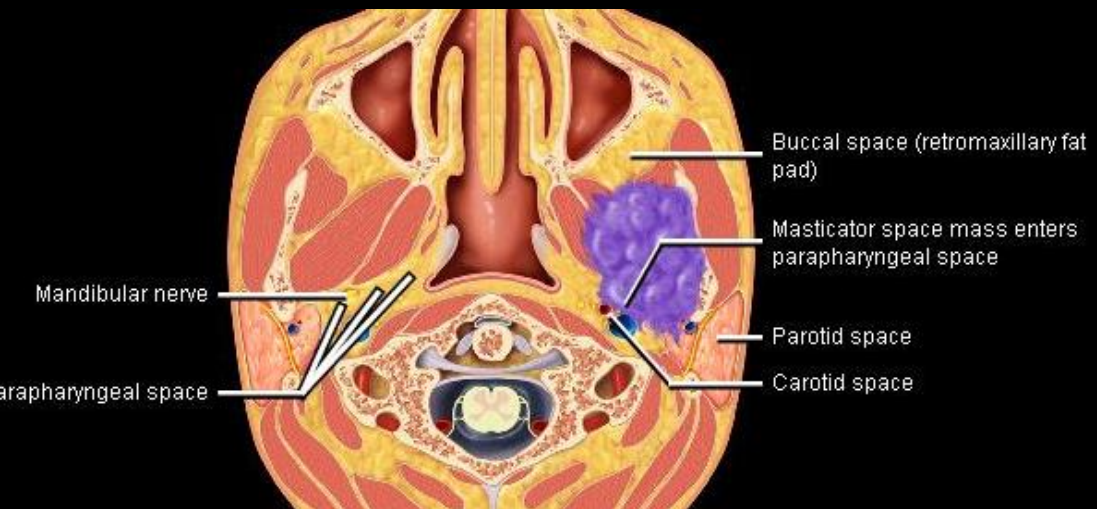
Καρκίνος ρινοφάρυγα



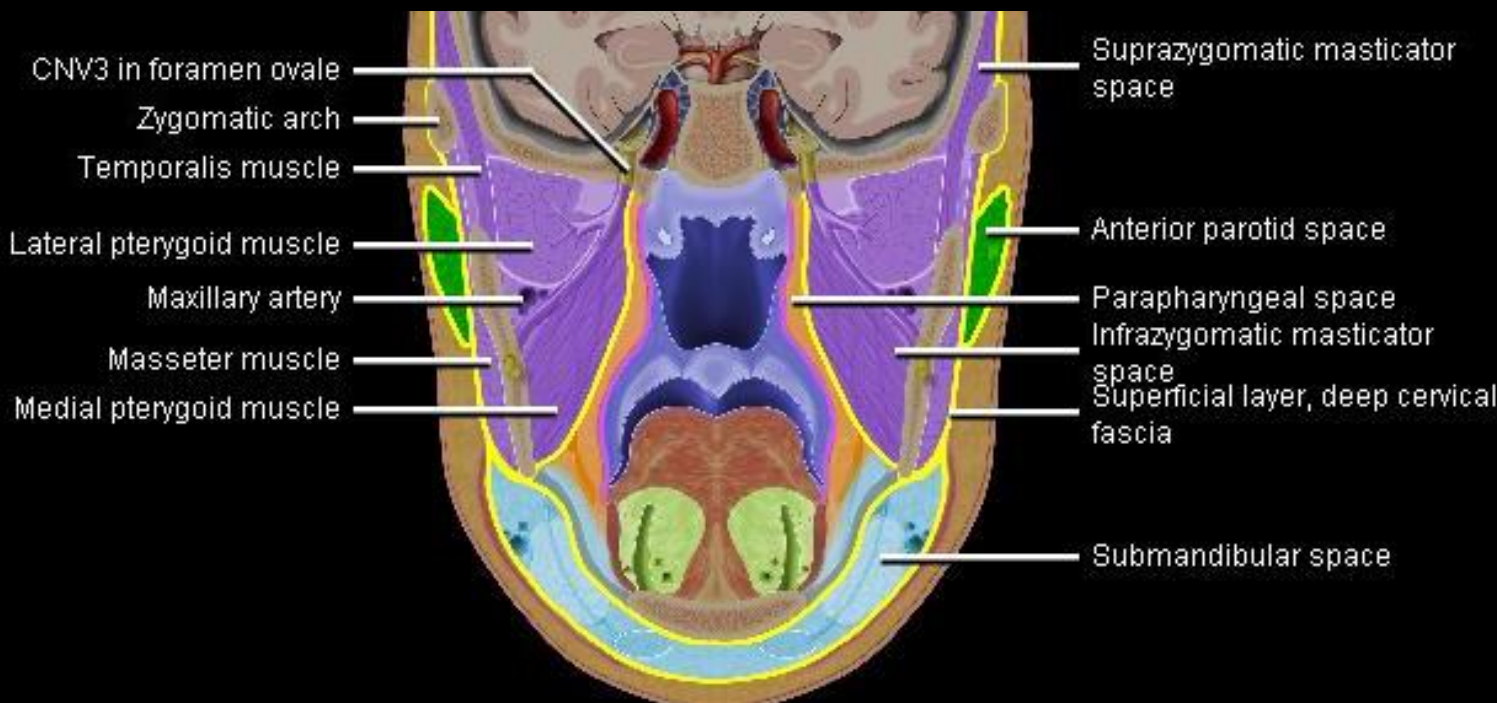
MS: Masticator Space



Χονδροσάρκωμα



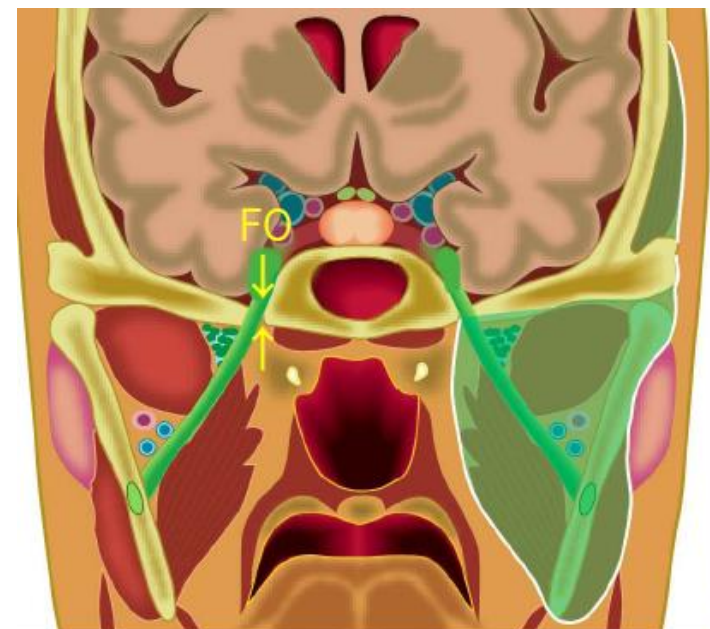
MS



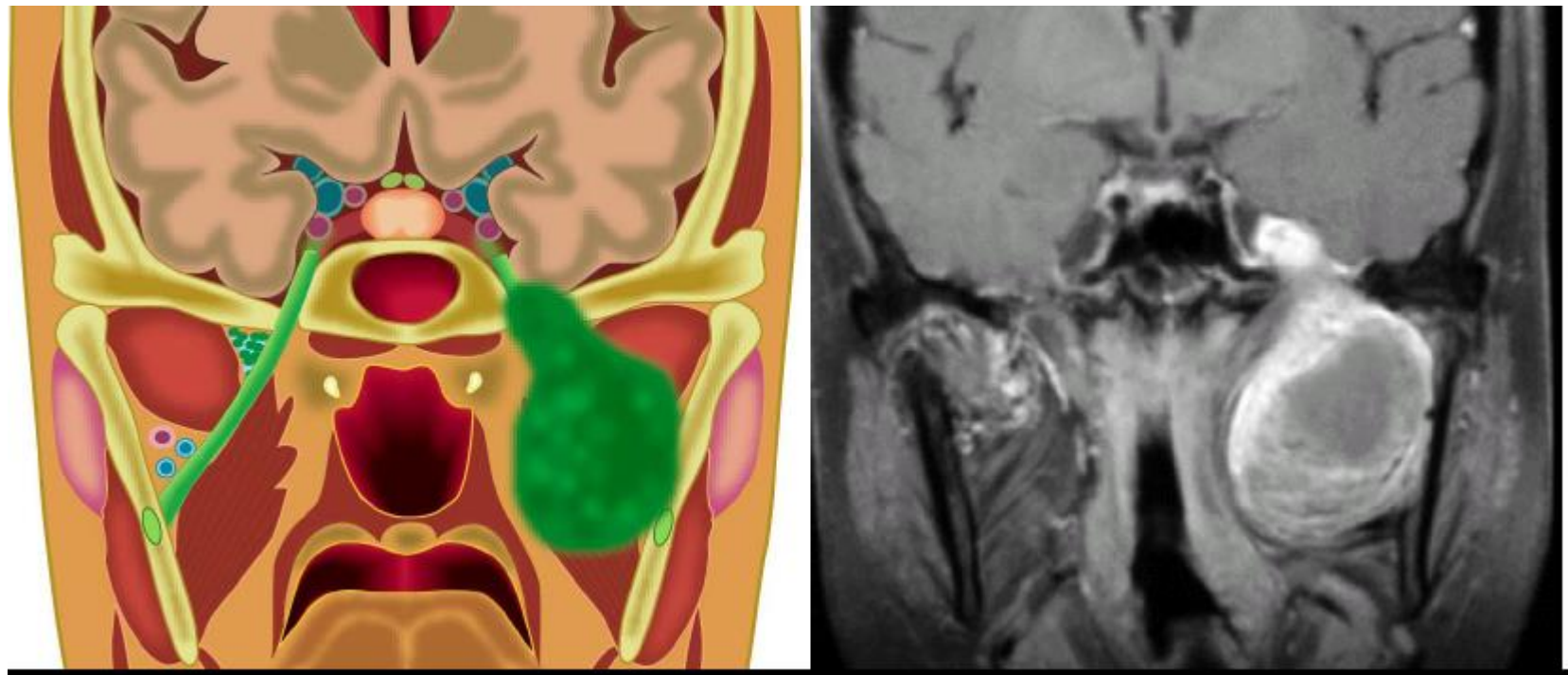
- MS is large SHN space spanning area from high parietal calvarium (suprazygomatic MS) above to mandibular angle below
- **Suprazygomatic MS**: Contains only belly of temporalis muscle
- **Infrazygomatic MS**: MS "proper"; containing masseter, medial & lateral pterygoids, CNV3 & ramus/posterior body of mandible

Extent

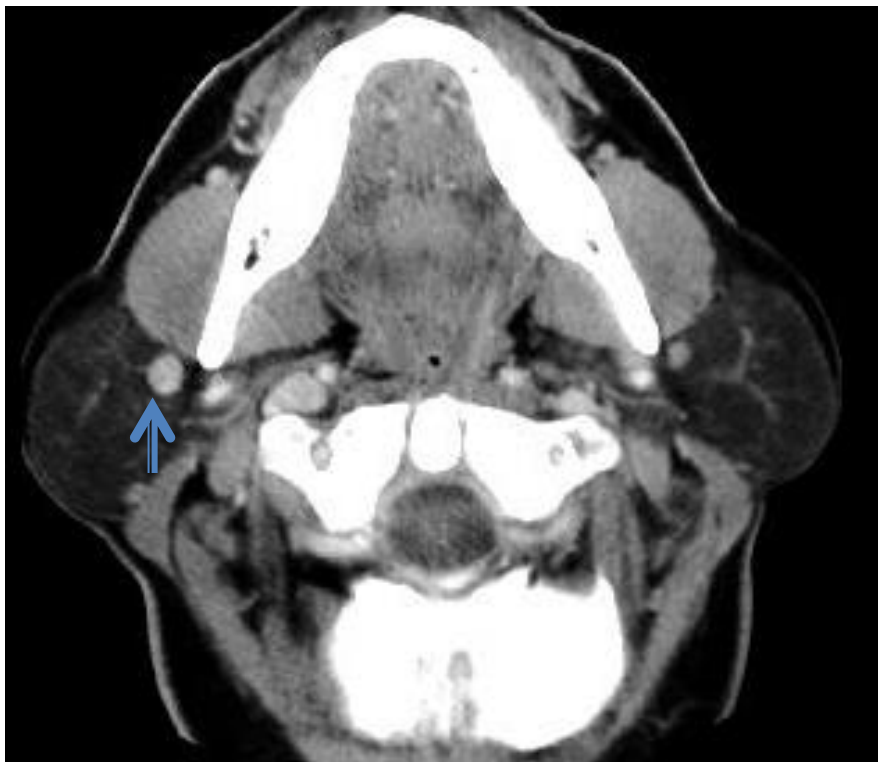
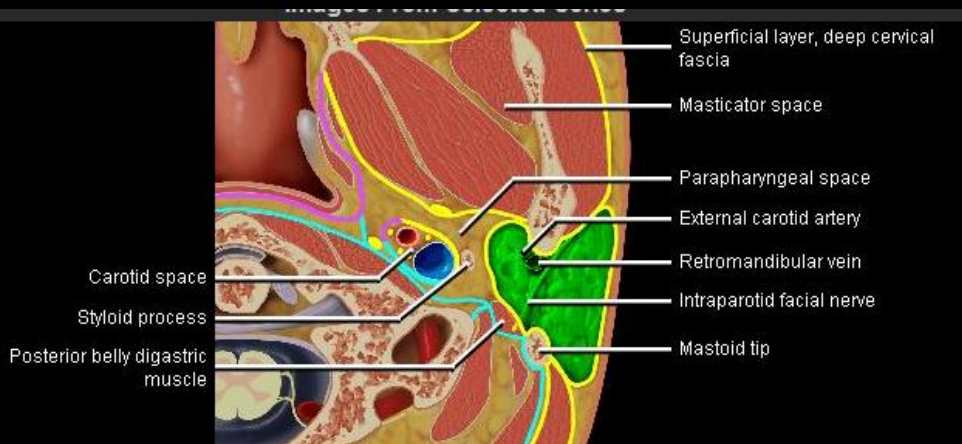
- Craniocaudal extent of MS is more extensive than commonly recognized
- On its cephalad margin MS reaches high on parietal calvarium at top of suprazygomatic MS



Schwannoma V3

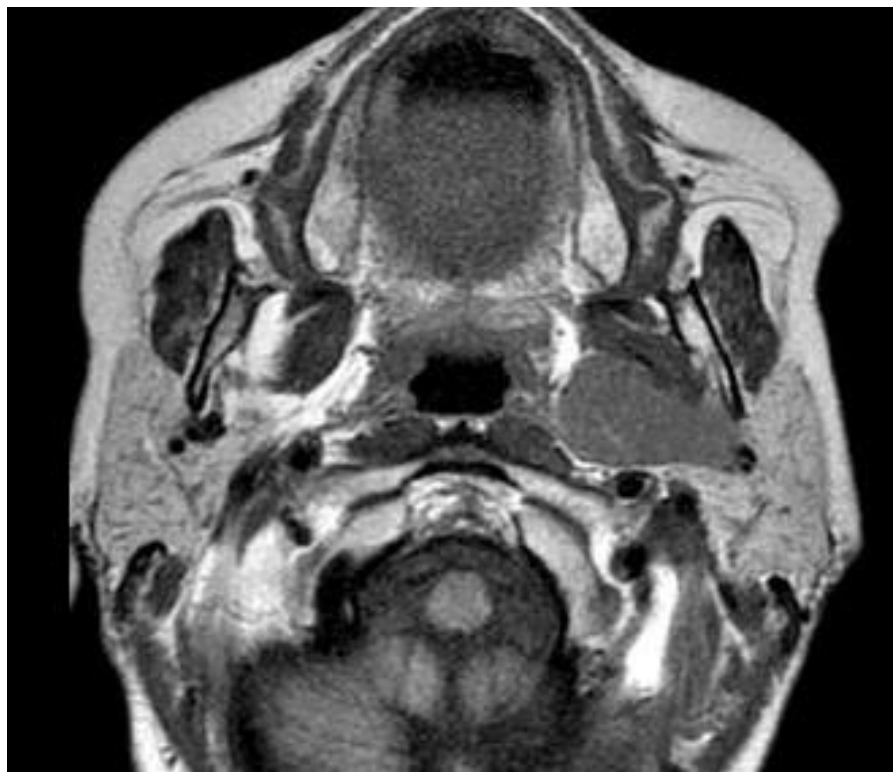
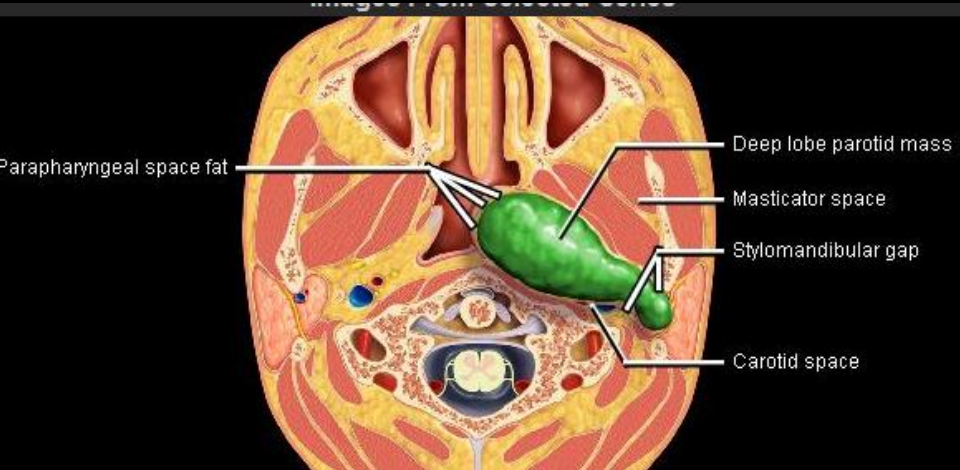


PS: Parotid space

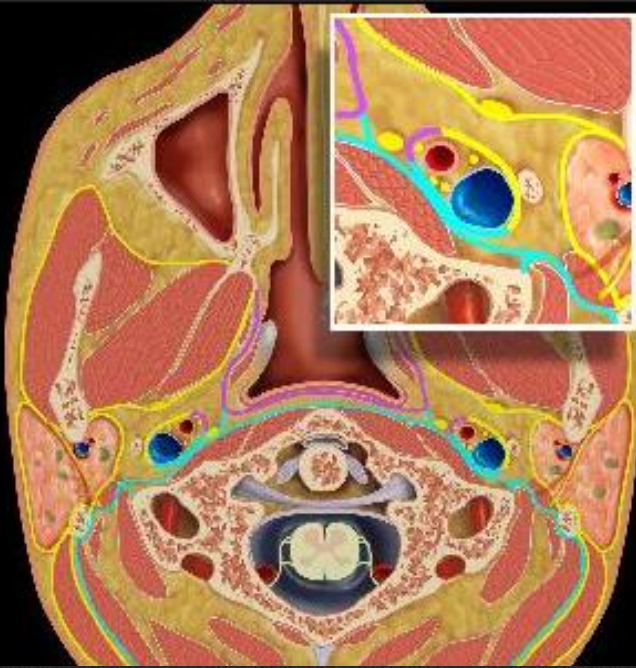


- Contents: parotid gland, extracranial CN7, lymph nodes, retromandibular vein (→)

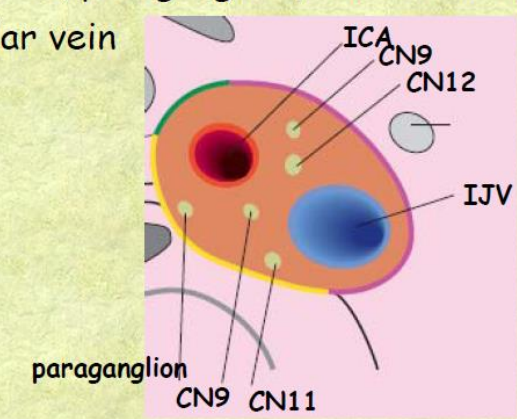
Μεικτός όγκος παρωτίδας



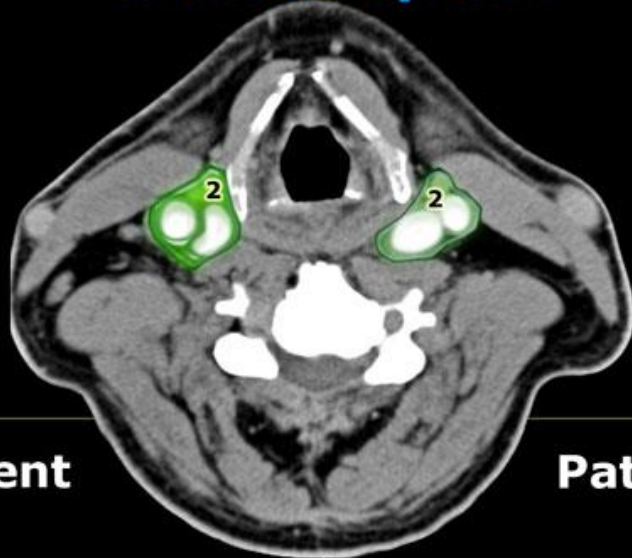
CS: Carotid space



- Content: CN9-12, paraganglion, carotid artery, internal jugular vein



Carotid space



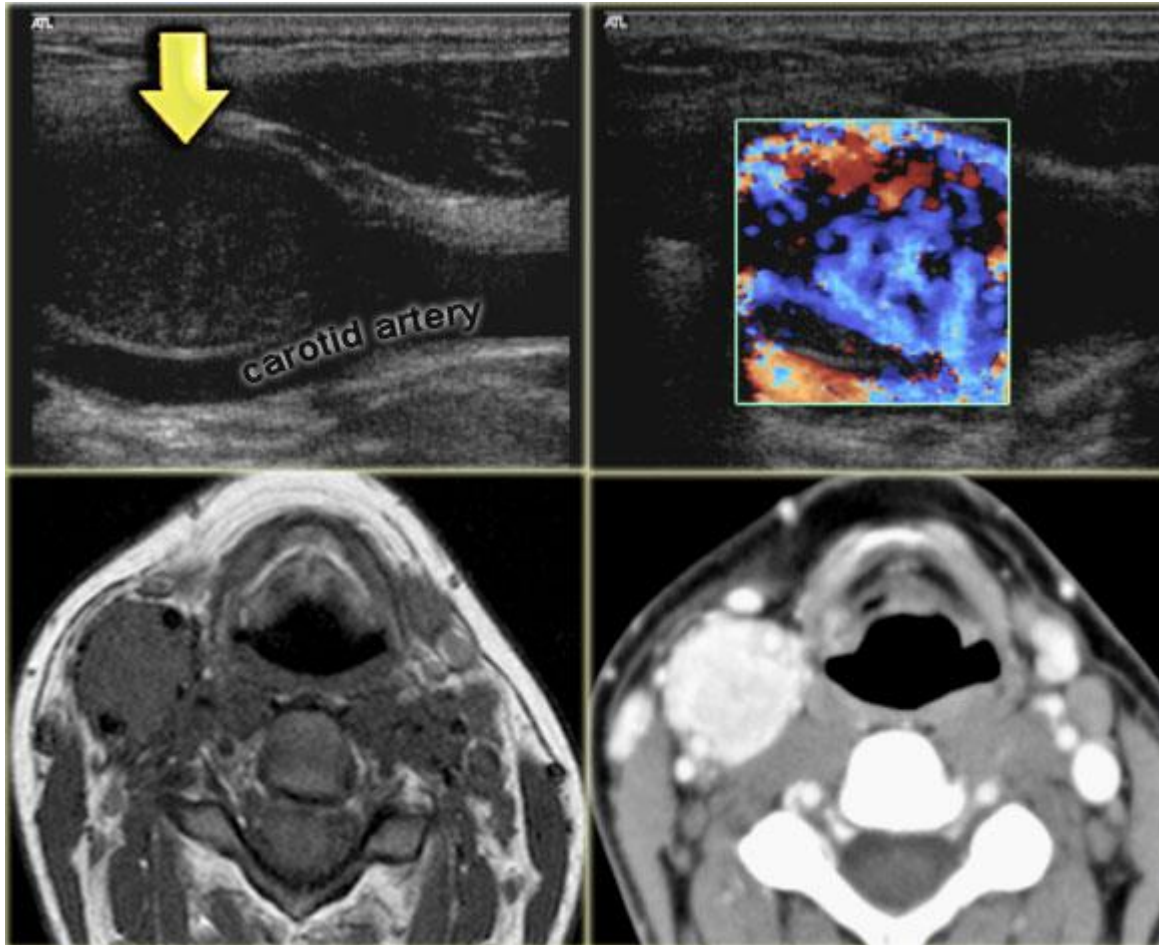
Content

| | |
|---|--|
| Carotid artery | Aneurysm -Thrombosis Dissection |
| Internal jugular vein | Thrombosis - Thrombophlebitis |
| Vagus nerve (X) | Schwannoma - Neurofibroma |
| Sympathetic plexus | Paraganglioma |
| Lymph nodes (Level 2-4) | Lymphoma Metastases of squamous cell ca or thyroid ca |
| Congenital remnants of second branchial cleft | Second branchial cleft cyst |

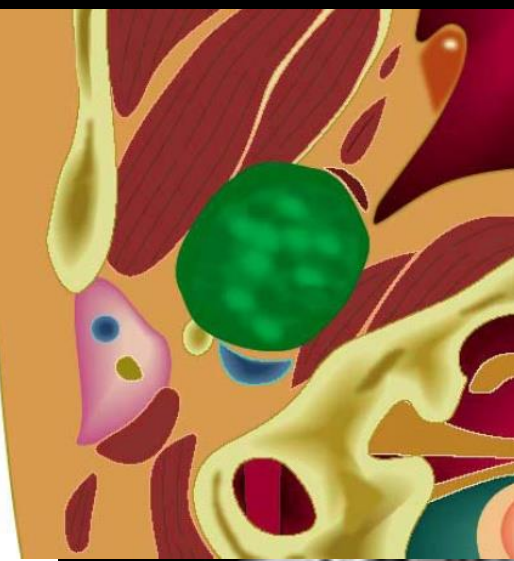
Pathology

- The carotid space extends from the skull base to the aortic arch.
- It transverses the suprathyroid and infrathyroid neck into the anterior mediastinum.

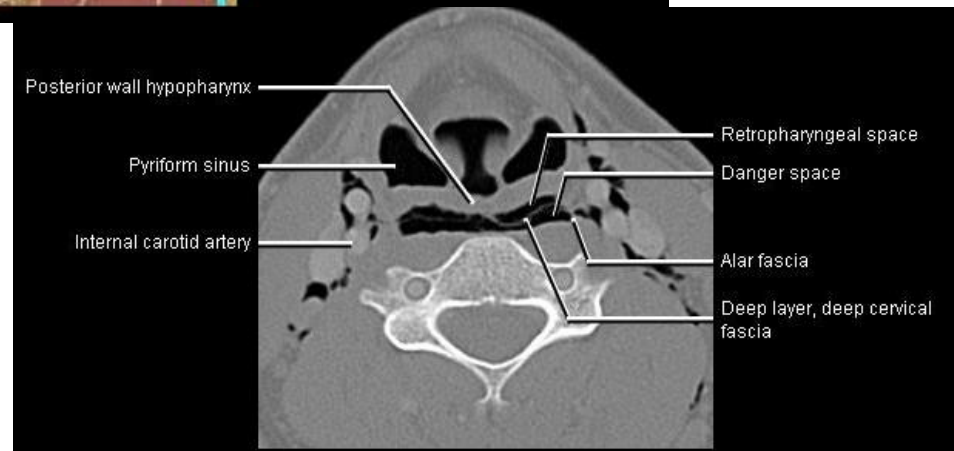
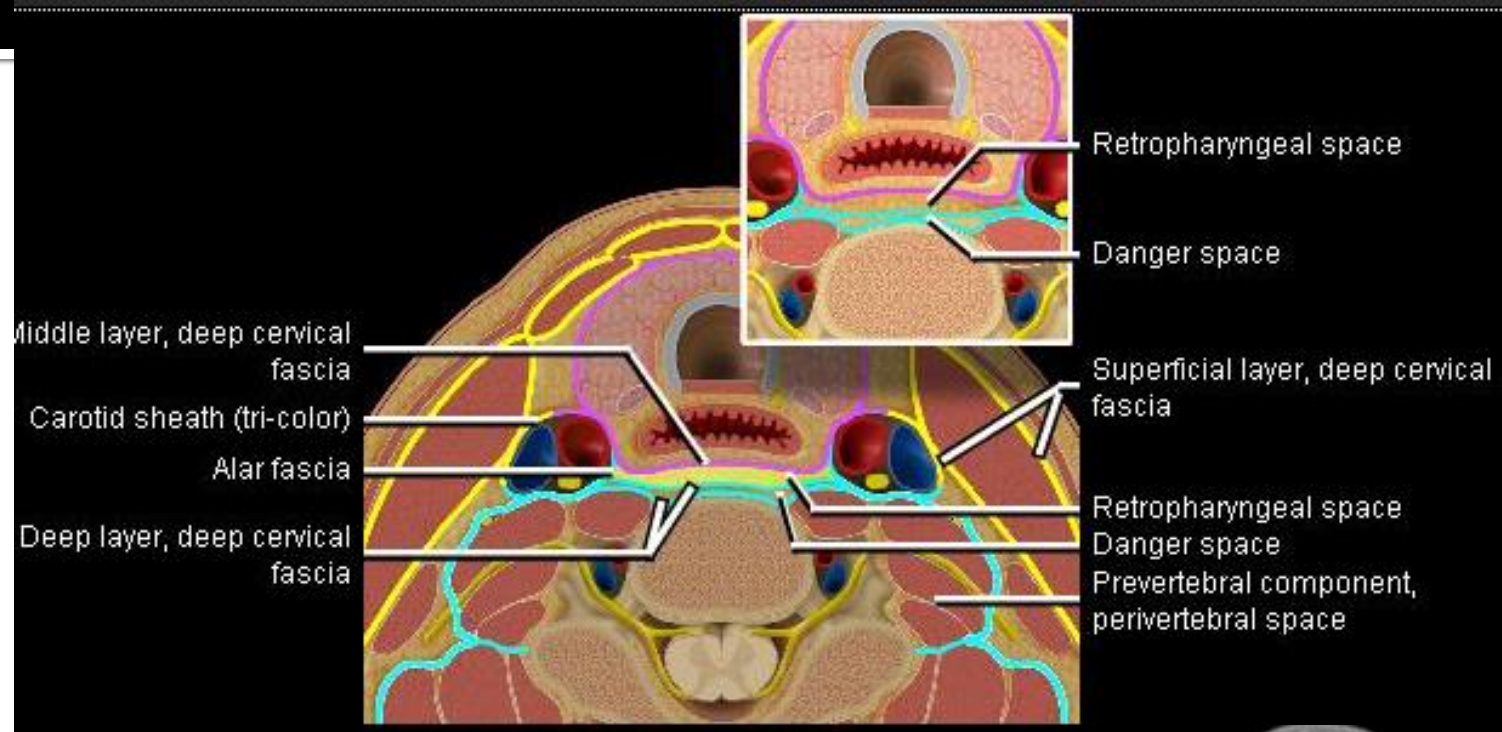
Παραγαγγλίωμα



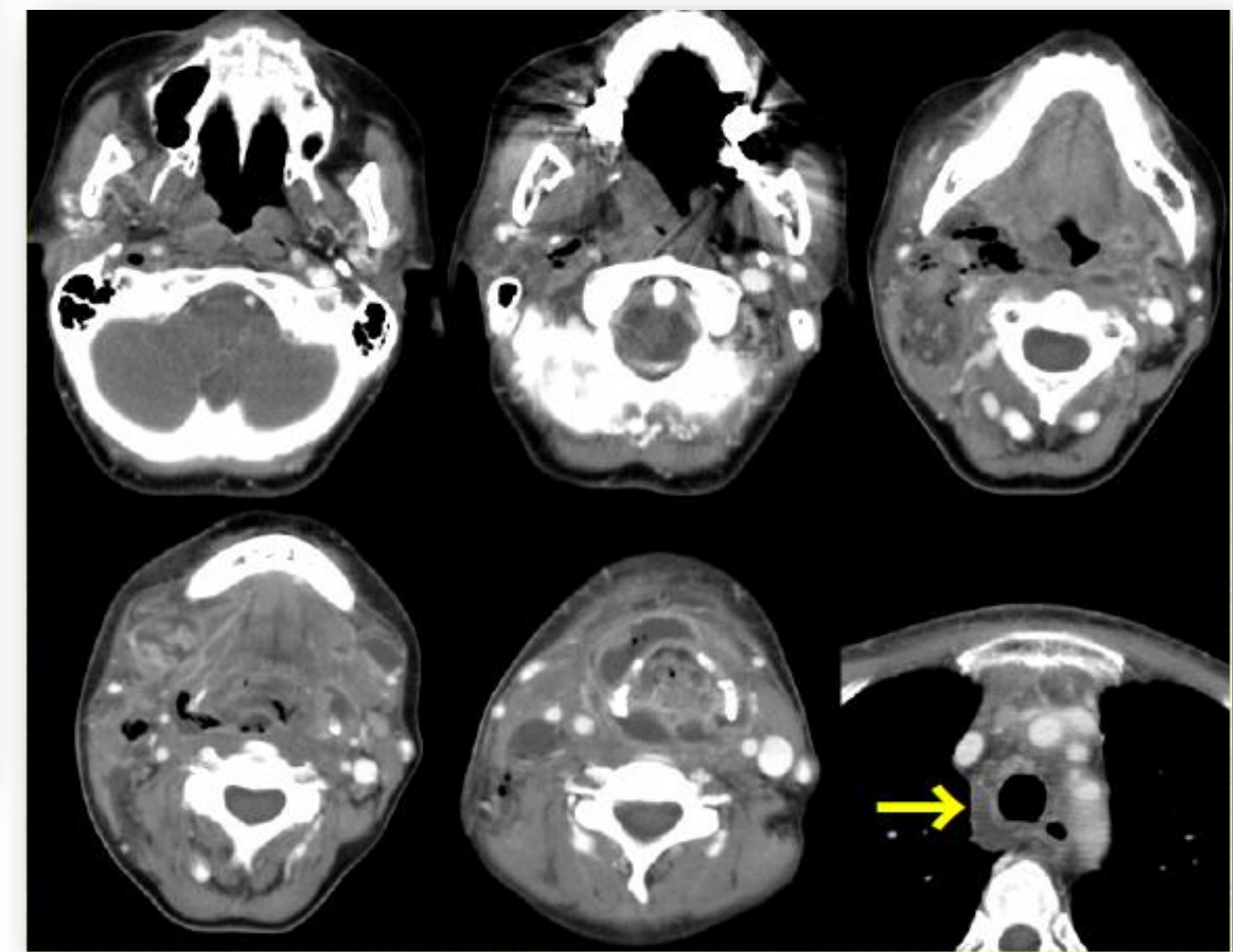
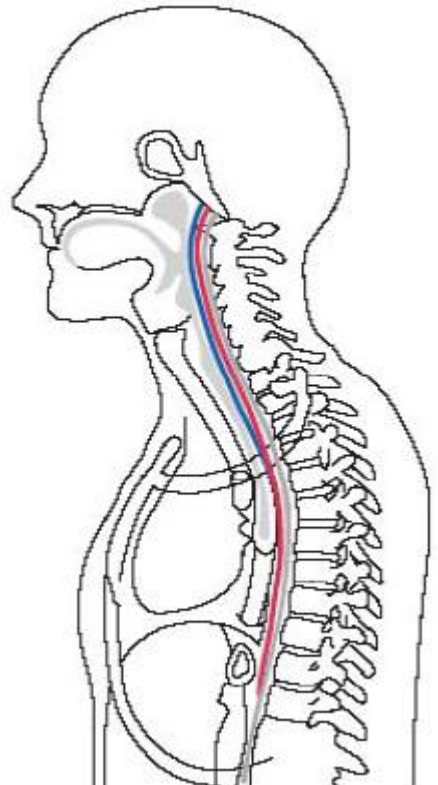
CN12 Schwannoma



DS: Danger space



Πολλαπλά αποστήματα στον τράχηλο- επέκταση στο μεσοθωράκιο



Ρόλος απεικόνισης στο H&Ncancer

- Απεικόνιση του όγκου // Φυσική εξέταση
- Έπεκταση
 - Απευθείας επέκταση στις γύρω δομές
 - Υποβλεννογόνιος επέκταση
 - Διήθηση πέριξ δομών –μυς, οστά...
 - Λεμφαδενική διασπορά
 - Περινευρική –περιαγγειακή επέκταση

CT κριτήρια κακοήθειας σε LNs

- Μέγεθος LNs : όχι αξιόπιστο κριτήριο
 - **Μεγίστη διάμετρος**
 - $\geq 1.5 \text{ cm}$ για επίπεδο I και II
 - $\geq 1 \text{ cm}$ για τα υπόλοιπα επίπεδα
 - $\geq 0.8 \text{ cm}$ για οπισθοφαρυγγικούς
 - **Ελάχιστη διάμετρος**
 - $< 11 \text{ mm}$ για επίπεδο II
 - $< 10 \text{ mm}$ για υπόλοιπους
ή
 - $< 8- 9 \text{ mm}$ αν υπάρχουν > 3 διογκωμένοι LNs στο ίδιο επίπεδο
- Αποστρογγυλεμένοι LN : ύποπτοι
- LNs που προσλαμβάνουν το σκιαγραφικό πιθανώς είναι διηθημένοι
- Ανάδειξη κεντρικής νέκρωσης (υπόπυκνοι κεντρικά)

LNs IIA – κεντρική τήξη



MRI: Κεντρική τήξη



Εξωλεμφαδενική επέκταση

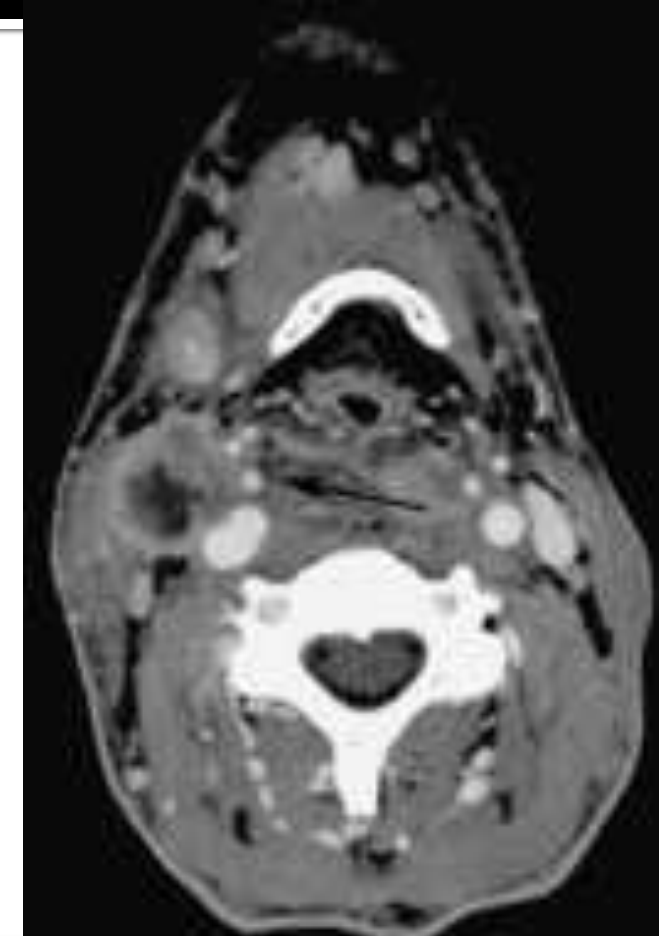
- Λεμφαδένες με
 - Ανώμαλα όρια
 - Προσεκβολές (spiculated)
 - Ασαφή όρια



- Η εξωλεμφαδενική διασπορά του ύγκου αποτελεί κακό προγνωστικό στοιχείο (3x υποτροπή)

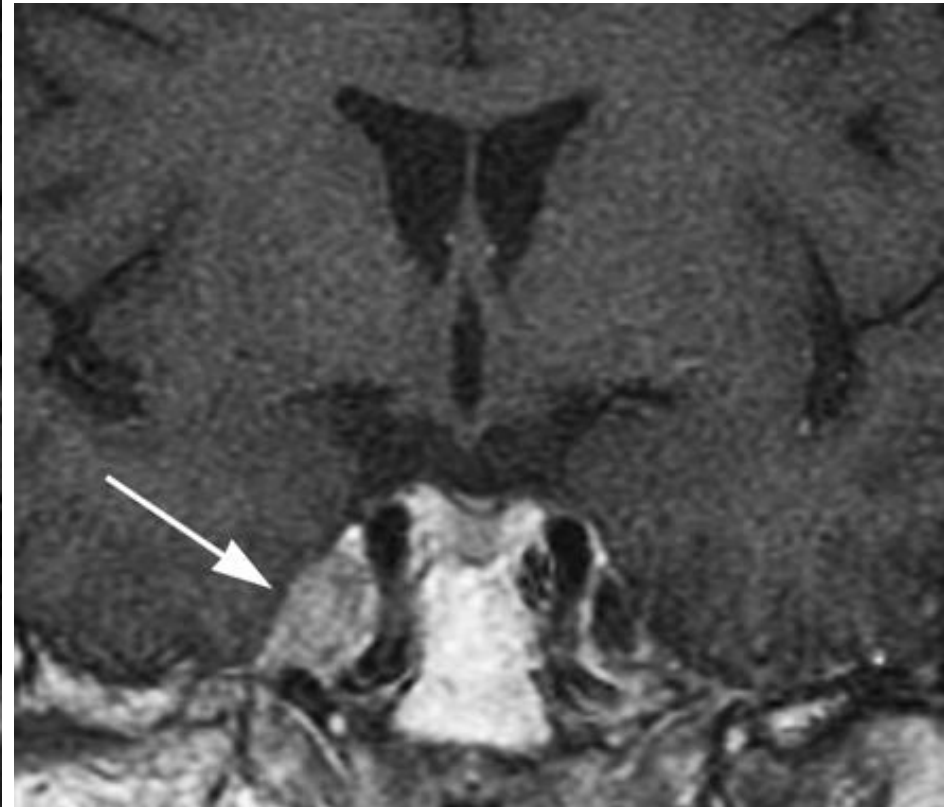
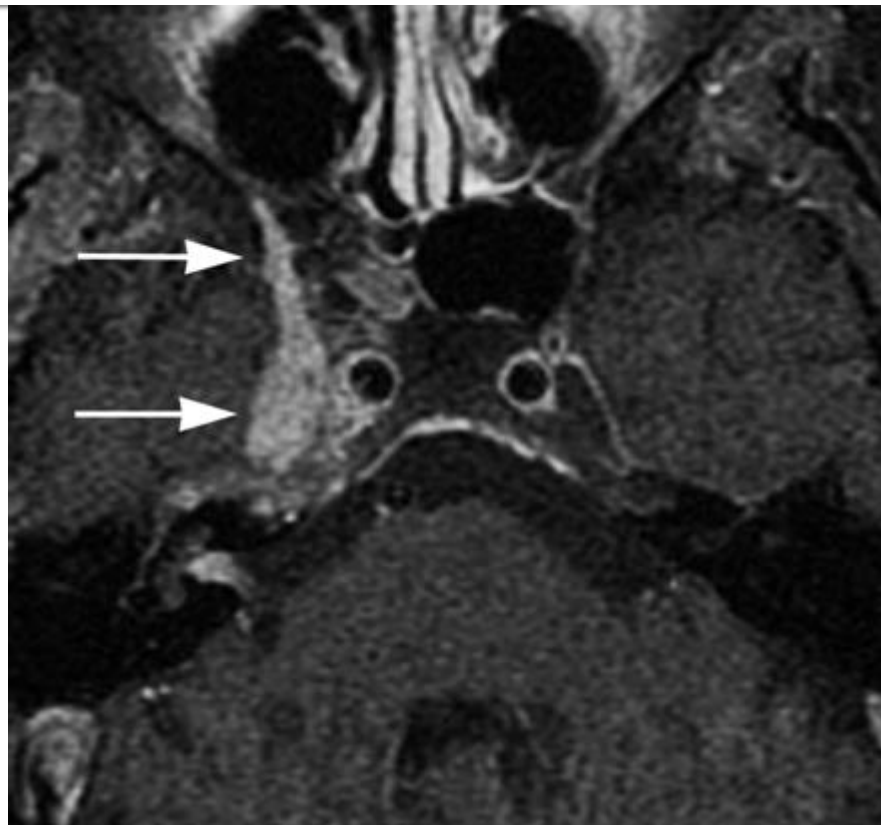
Διήθηση της καρωτίδας

- Σε εγκάρσιο επίπεδο αν ο όγκος έρχεται σε επαφή –περιβάλλει την καρωτίδα κατά 270° η πιθανότητα διήθησης είναι υψηλή
 - Ανεγχείρητος όγκος
- Αν την περιβάλλει κατά 180° η πιθανότητα διήθησης είναι μικρότερη



Rt ICA with >200-degree circumferential involvement

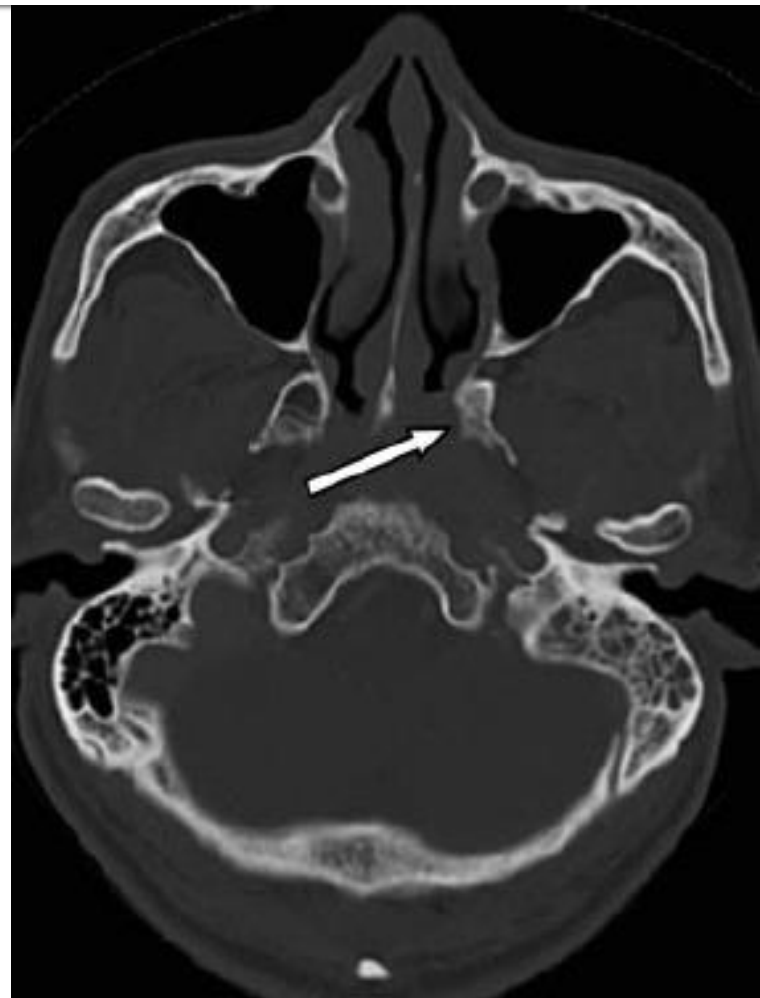
Περινευρική επέκταση του όγκου

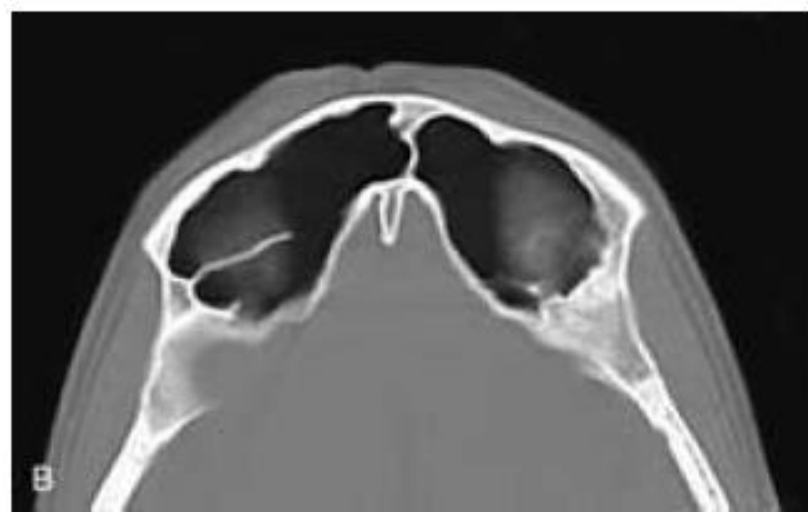
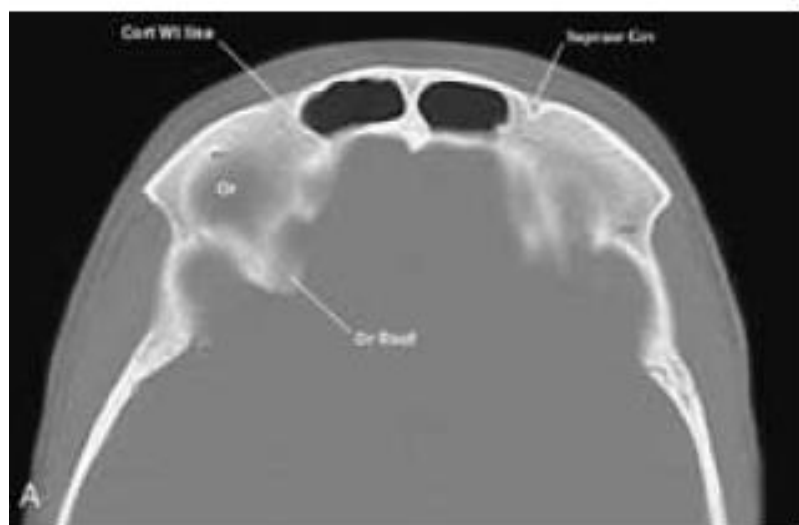


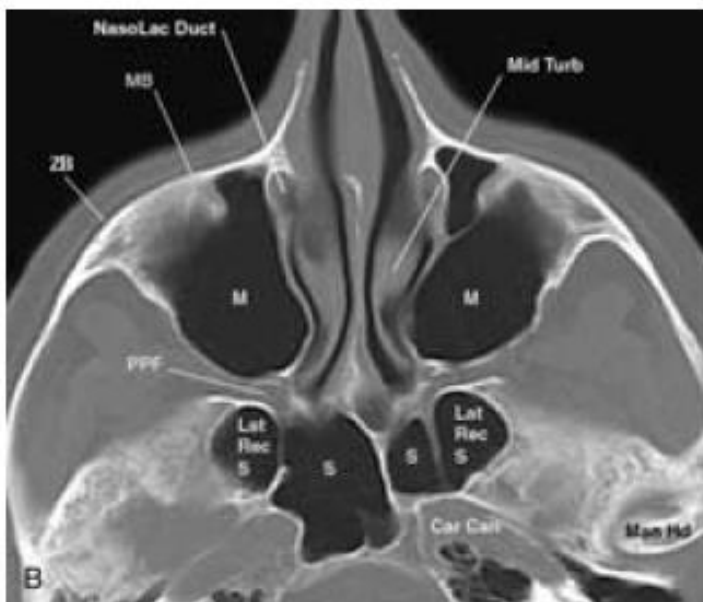
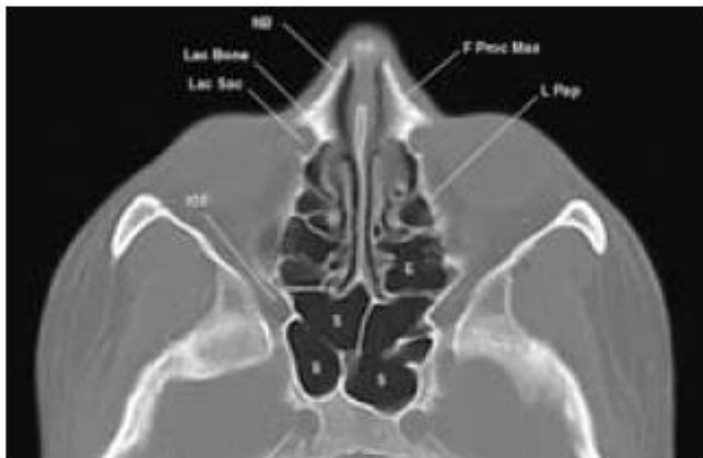
SCC –ρινοφάρυγγα : Ασύμμετρη ενίσχυση κατά μήκος του γάγγλιου του τριδύμου -Επέκταση διαμέσου στρογγύλου τρήματος κατά μήκους του V2

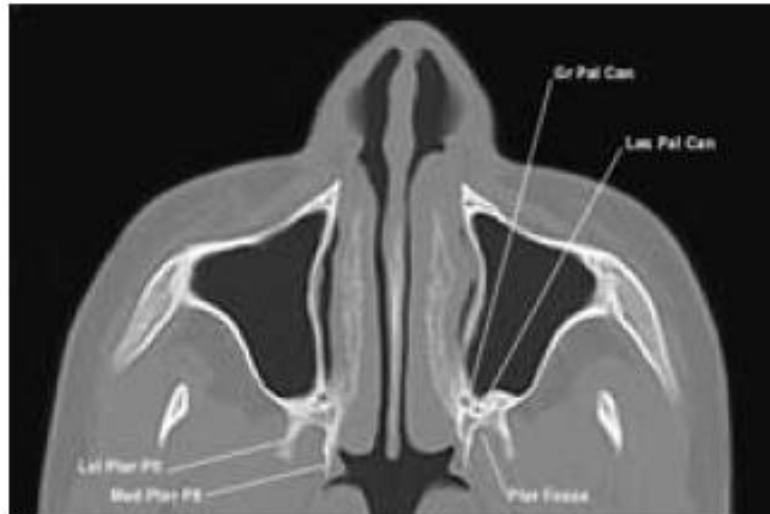
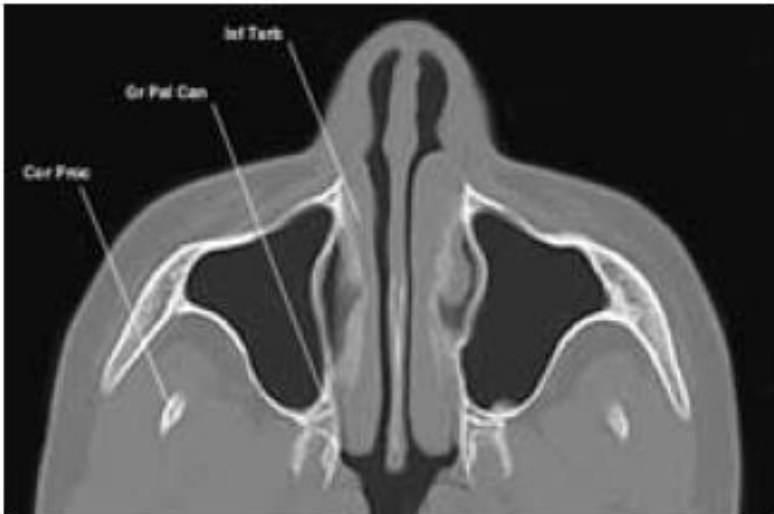
Οστική διήθηση

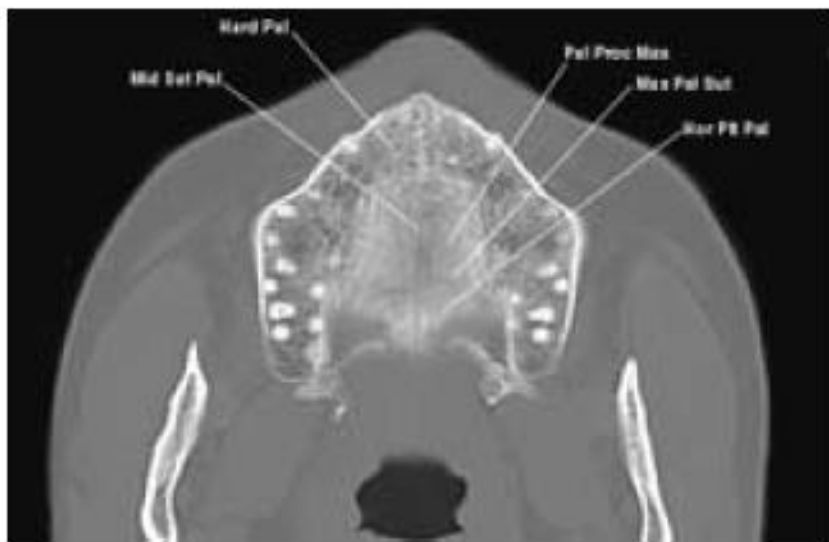
- Ευρήματα CT :
 - Διάβρωση του οστικού φλοιού που βρίσκεται σε επαφή με τον όγκο
 - Σκλήρυνση - περιοστική αντίδραση
 - Αλλαγή της πυκνότητας του μυελού
 - Παθολογικά κατάγματα

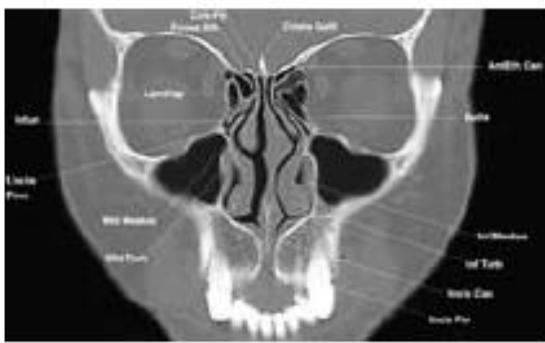
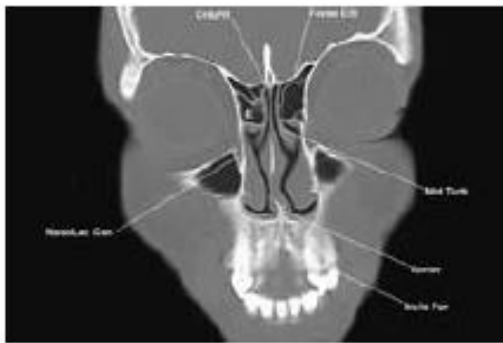
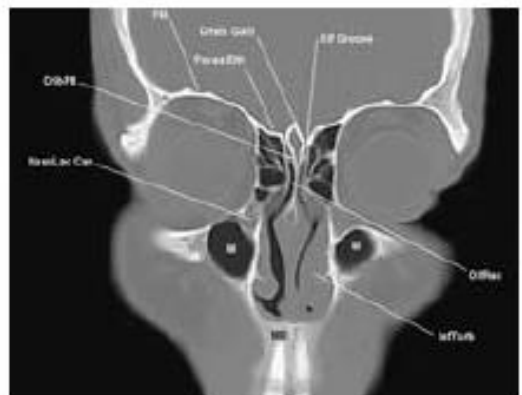
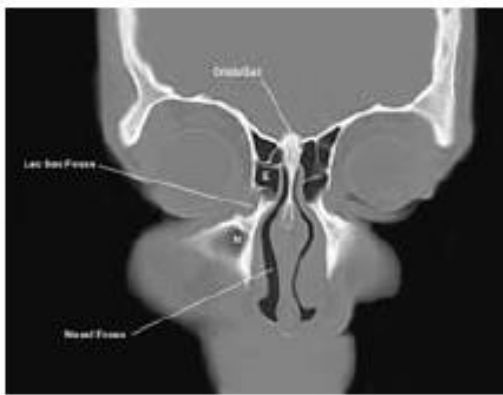
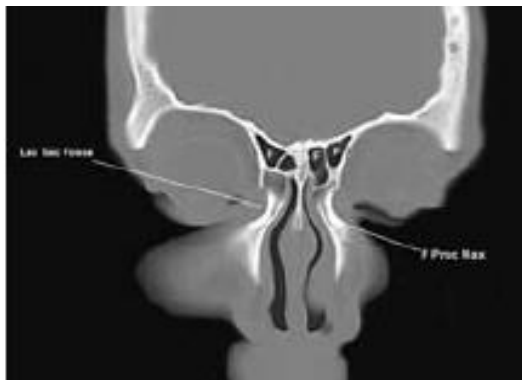
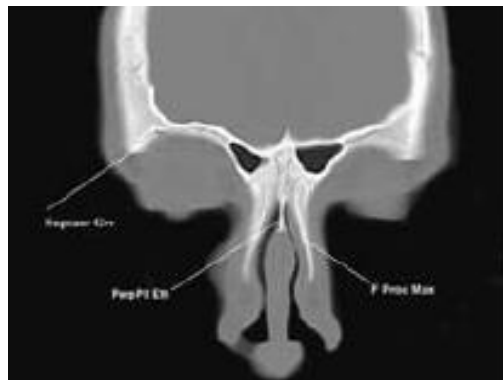


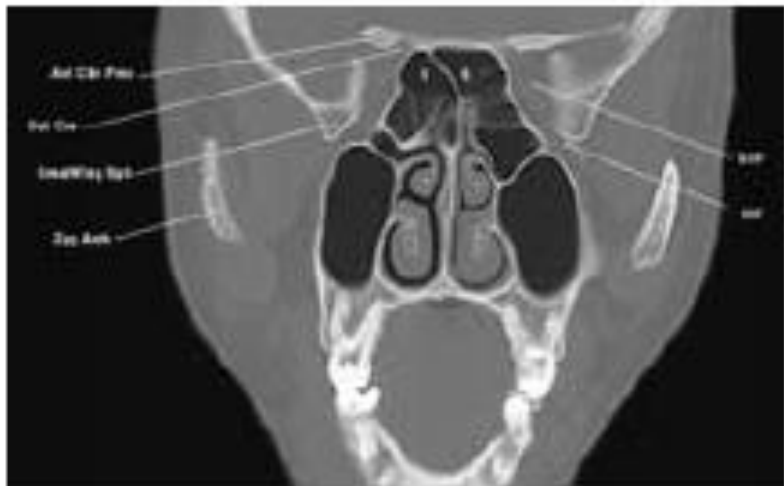


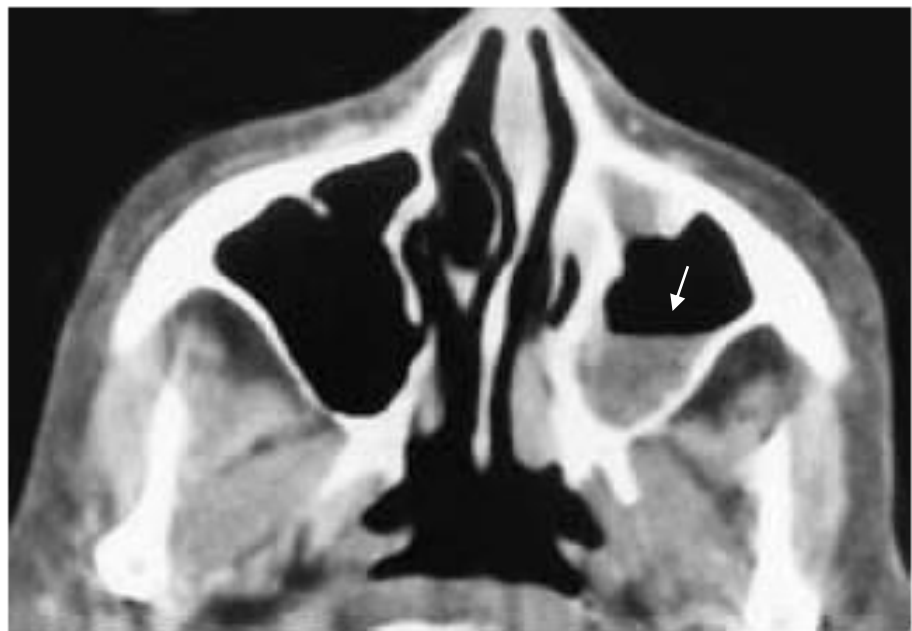
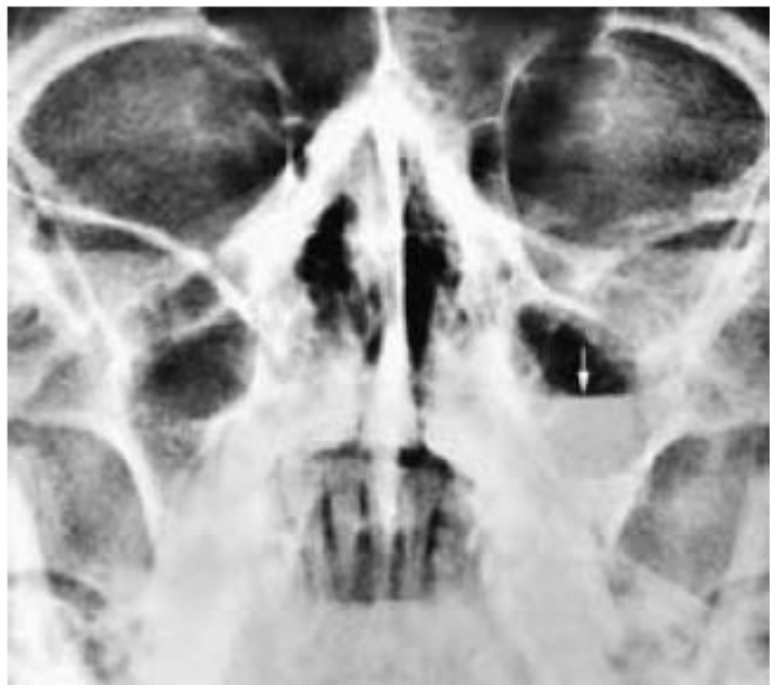




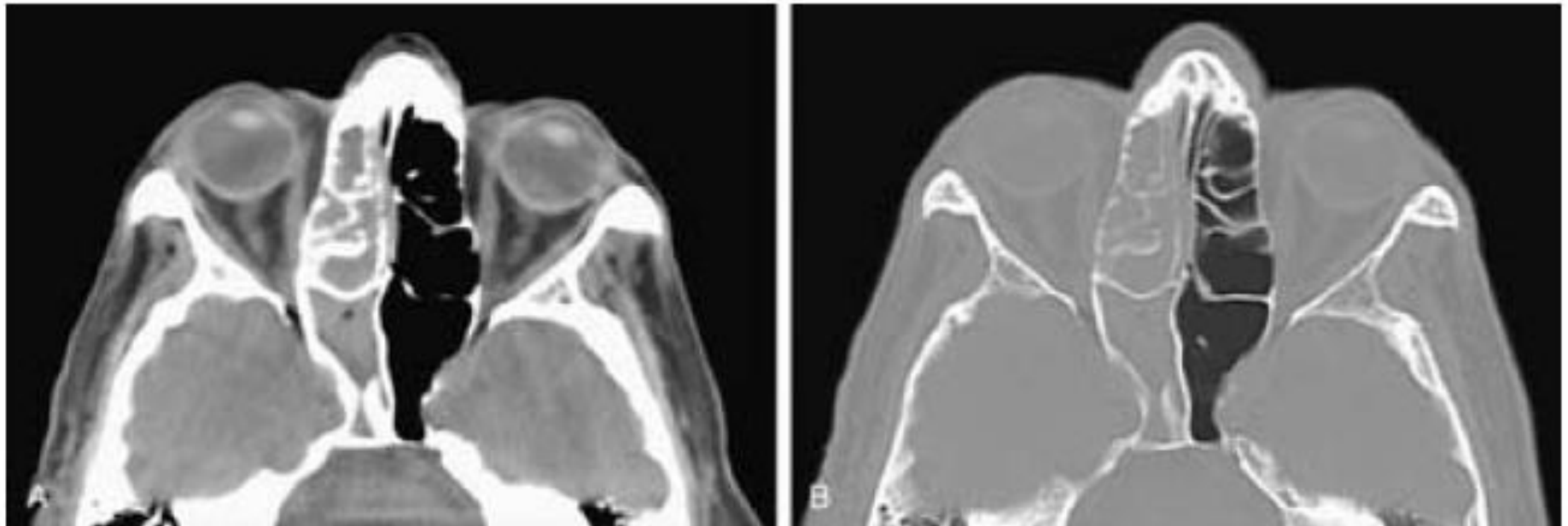




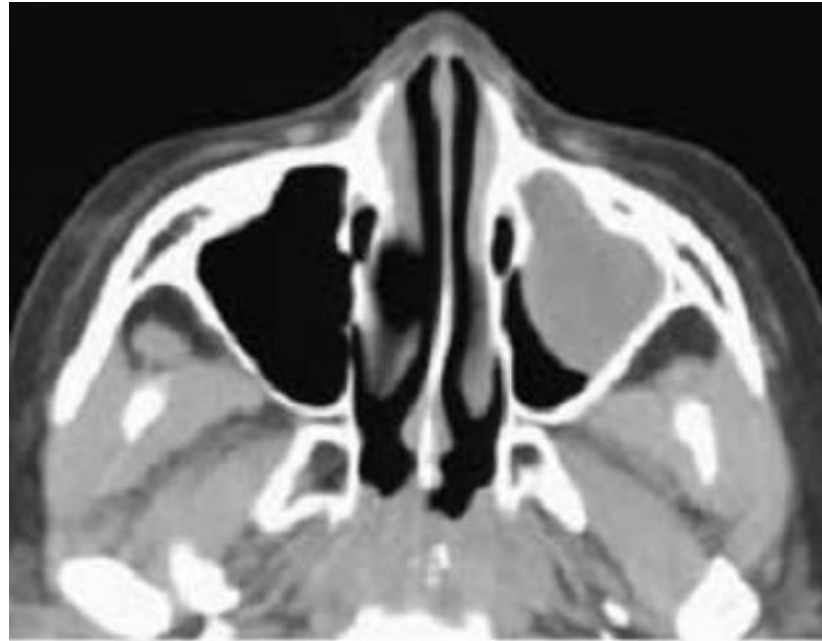




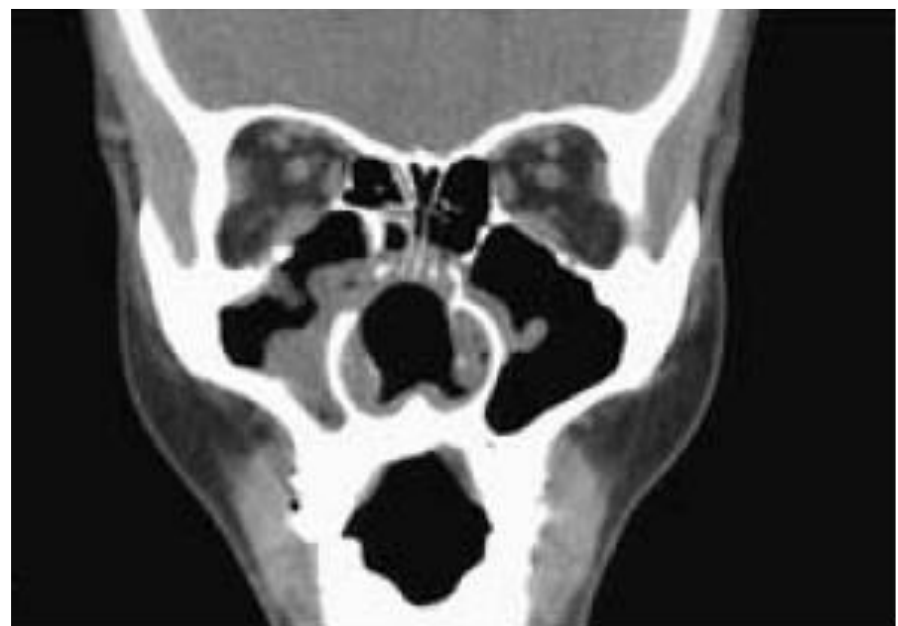
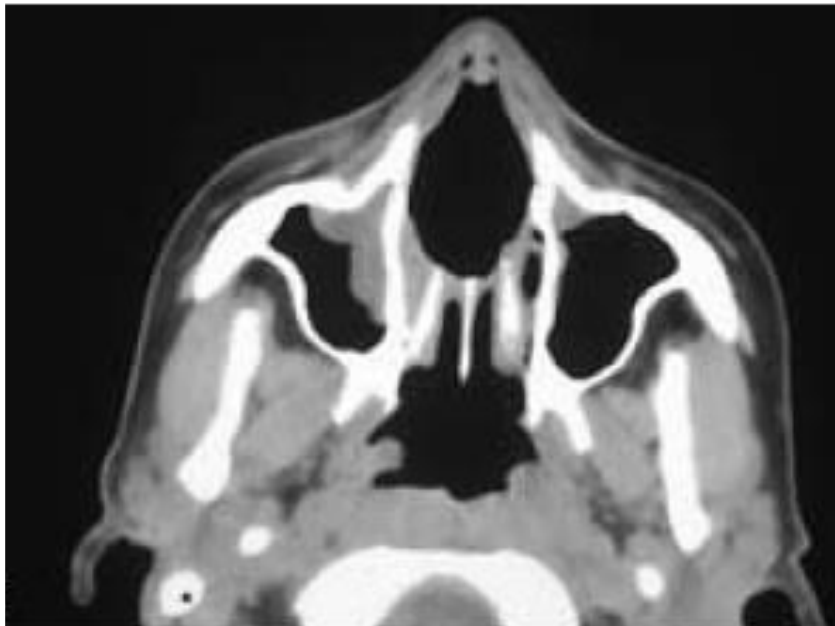
Οξεία ιγμορίτιδα:
υγραερικό επίπεδο



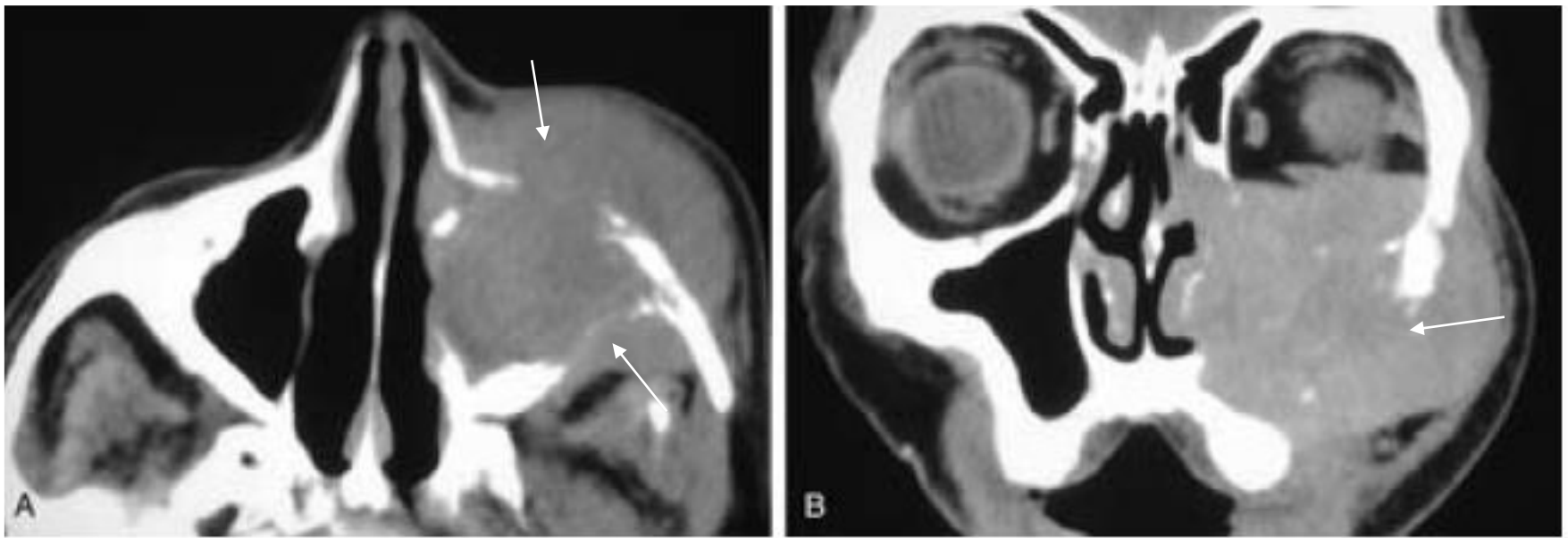
Οξεία παραρρινοκολπίτιδα:
πλήρωση των ΔΕ ηθμοειδών κυψελών και του σφηνοειδούς κόλπου (ΔΕ)



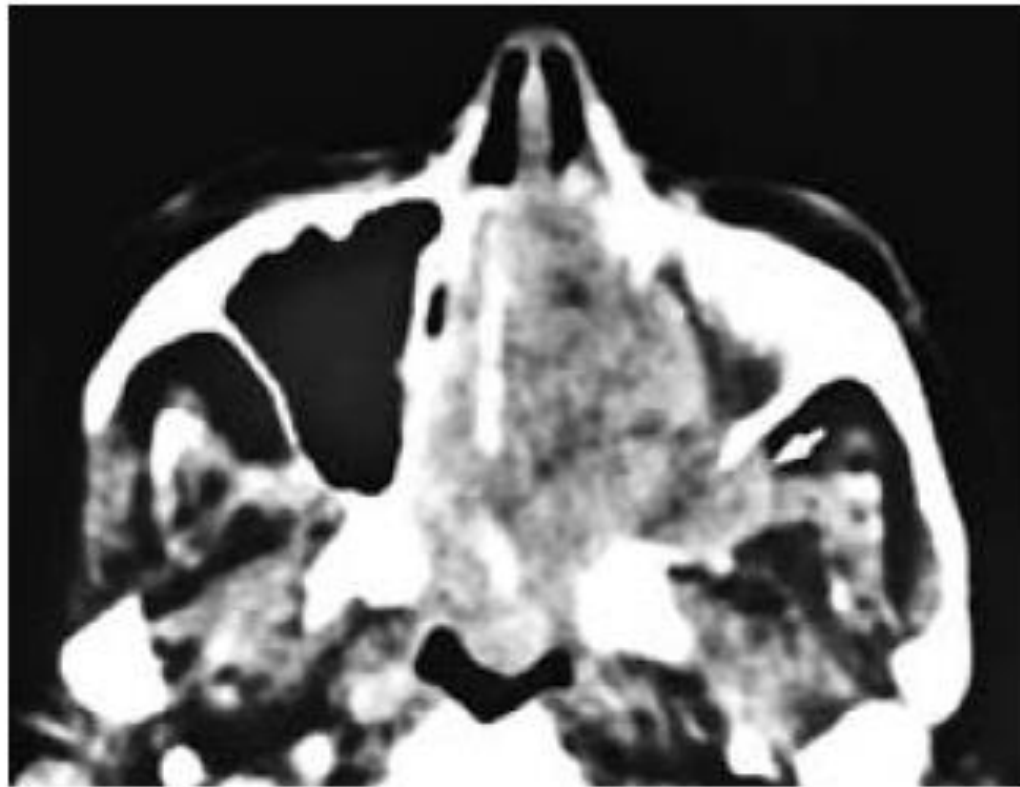
Κύστη εκ' κατακρατήσεως ή πολύποδας



Χρήστης κοκαΐνης
Καταστροφή του ρινικού διαφράγματος και τμήματος του έσω
τοιχώματος των ιγμορείων

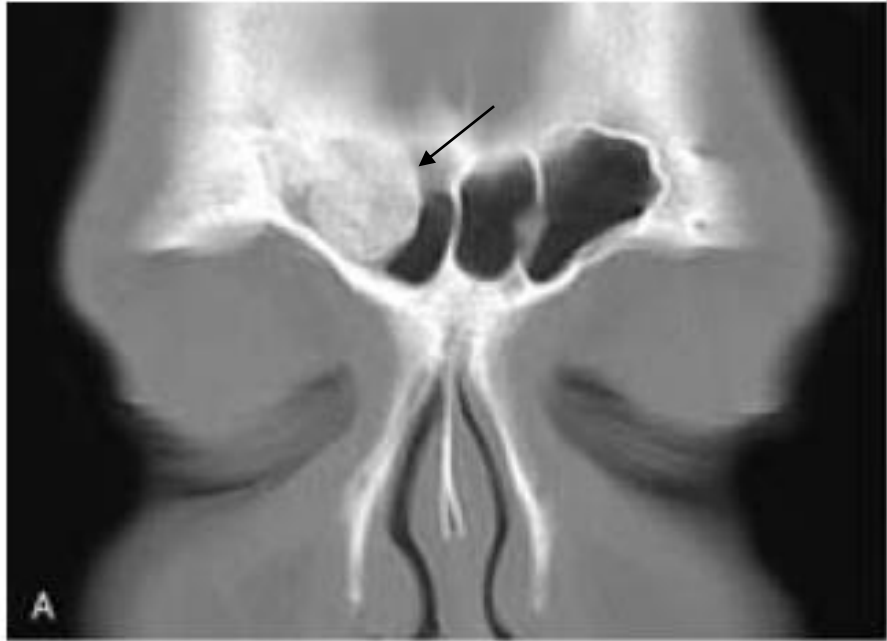


Καρκίνωμα εκ πλακώδους επιθηλίου:
Ευμεγέθης μάζα στο ΑΡ ιγμόρειο που έχει καταστρέψει το
τοίχωμα αυτού καθώς και το σώμα του ζυγωματικού οστού

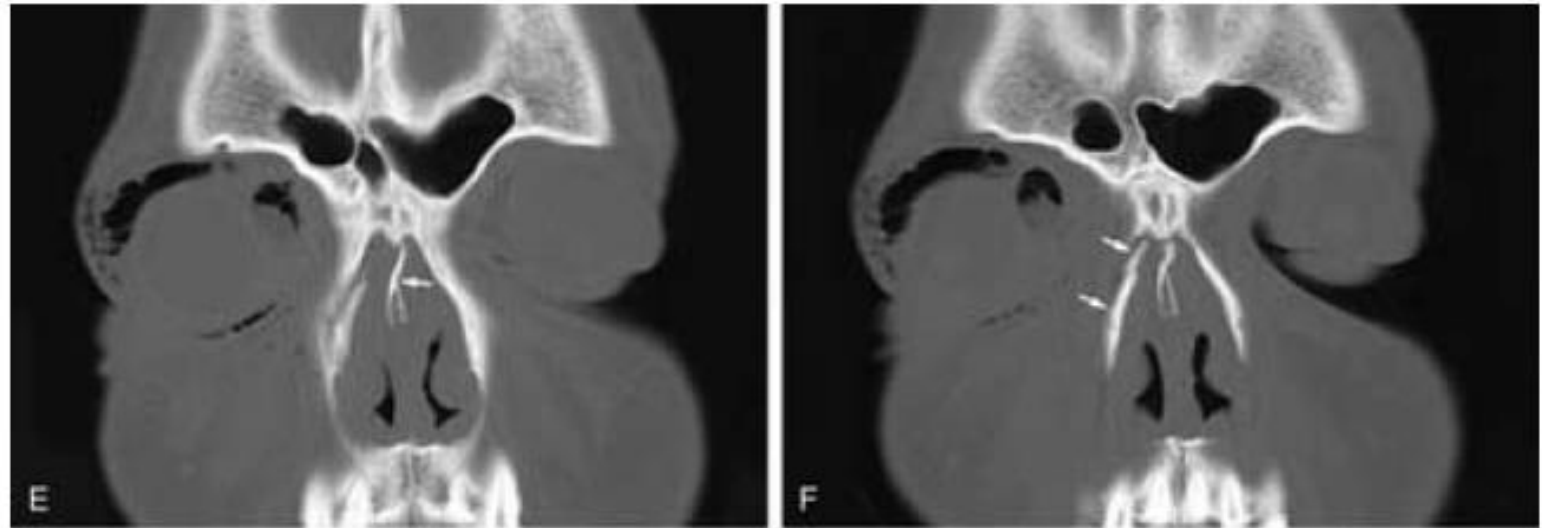


Αγγειοίνωμα :

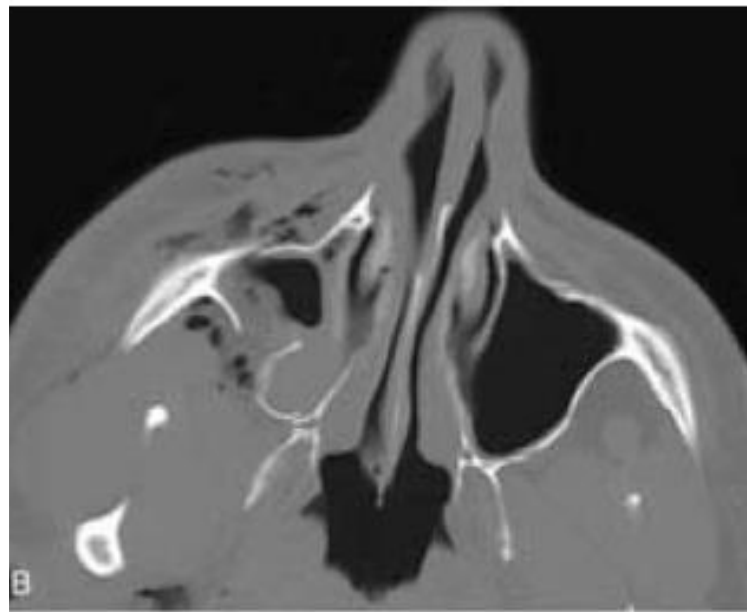
Αγγειοβριθής μάζα στην ΑΡ ρινική θαλάμη –ρινοφάρυγγα που επεκτείνεται στο ιγμόρειο και στον υποκροτάφειο βόθρο



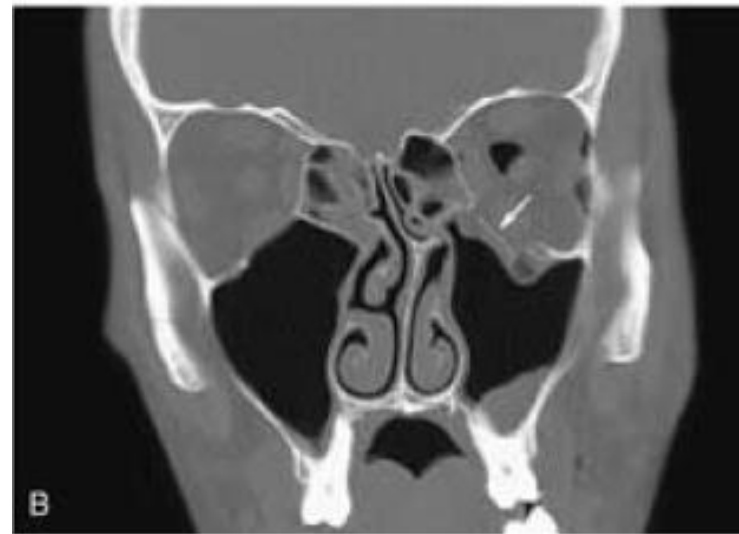
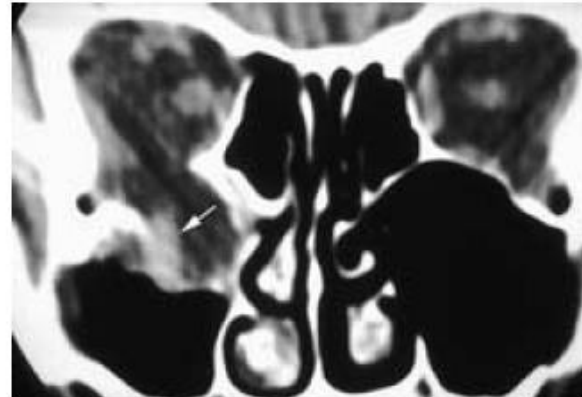
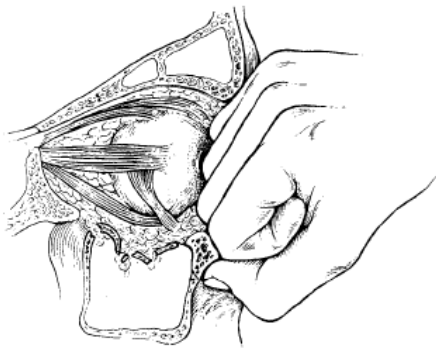
Οστέωμα του μετωπιαίου κόλπου



Κάταγμα ρινικών οστών-ρινικού
διαφράγματος



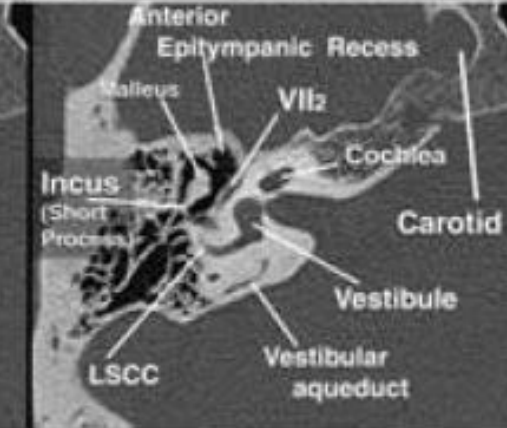
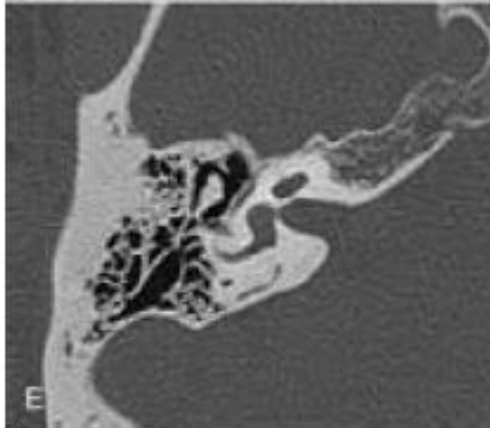
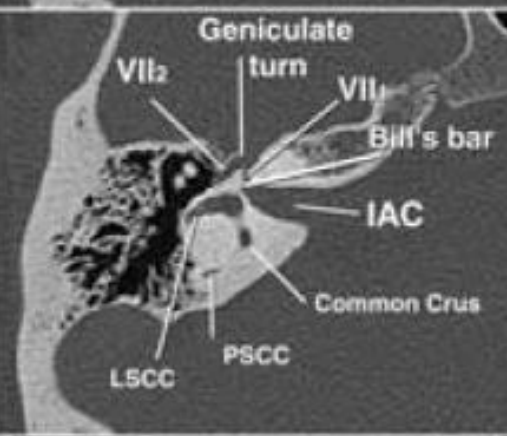
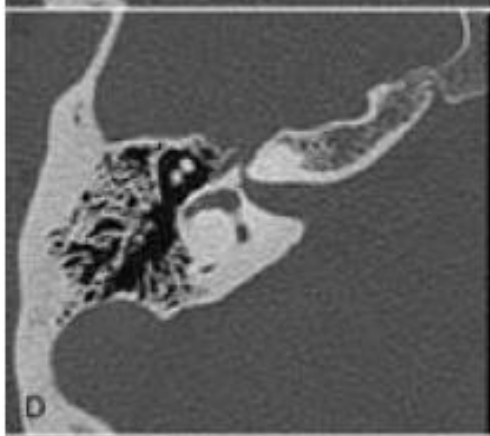
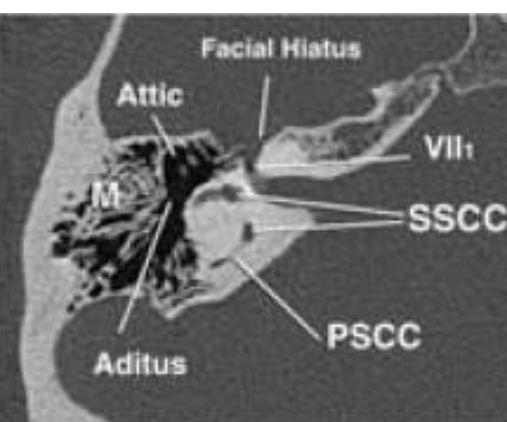
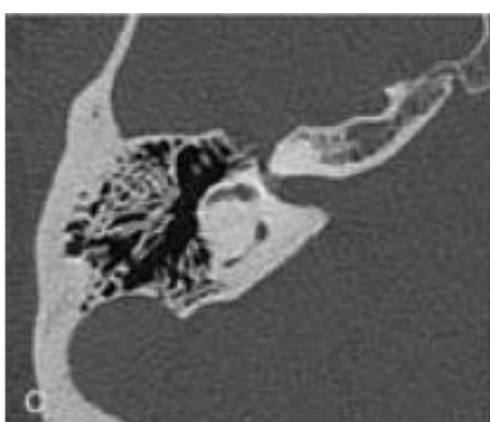
Κάταγμα του
ιγμορείου άντρου

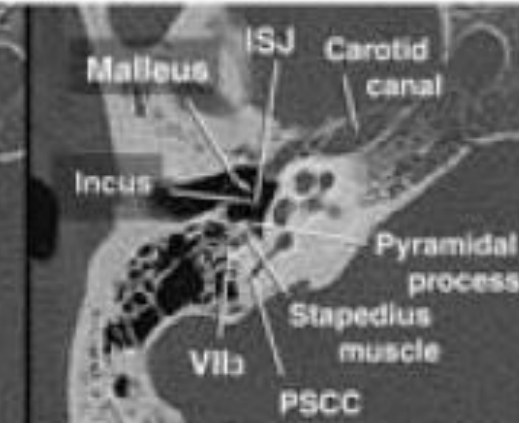
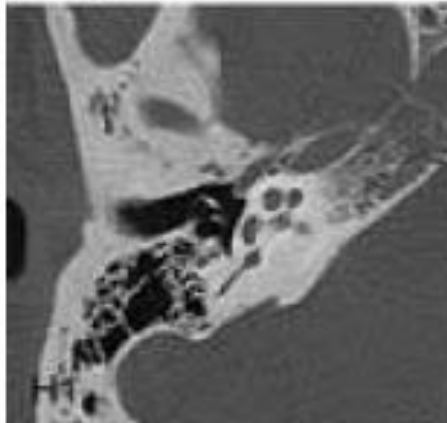
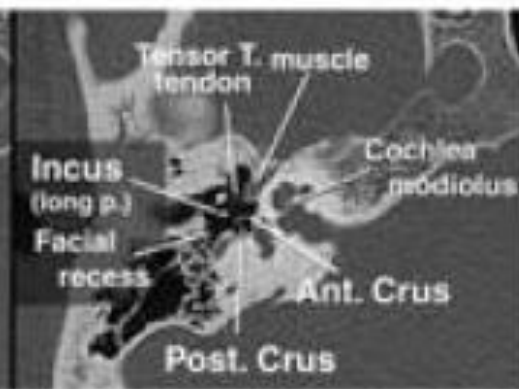
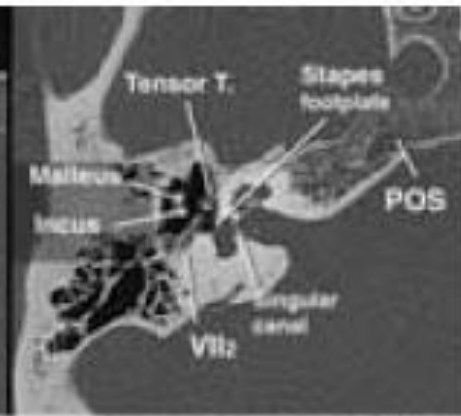
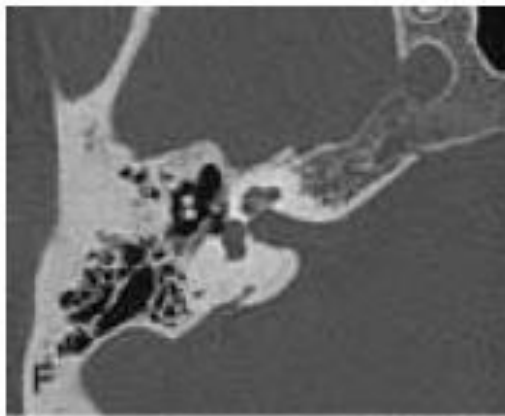
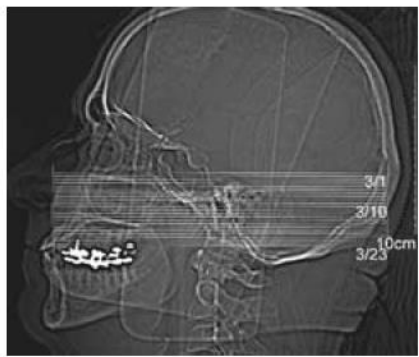


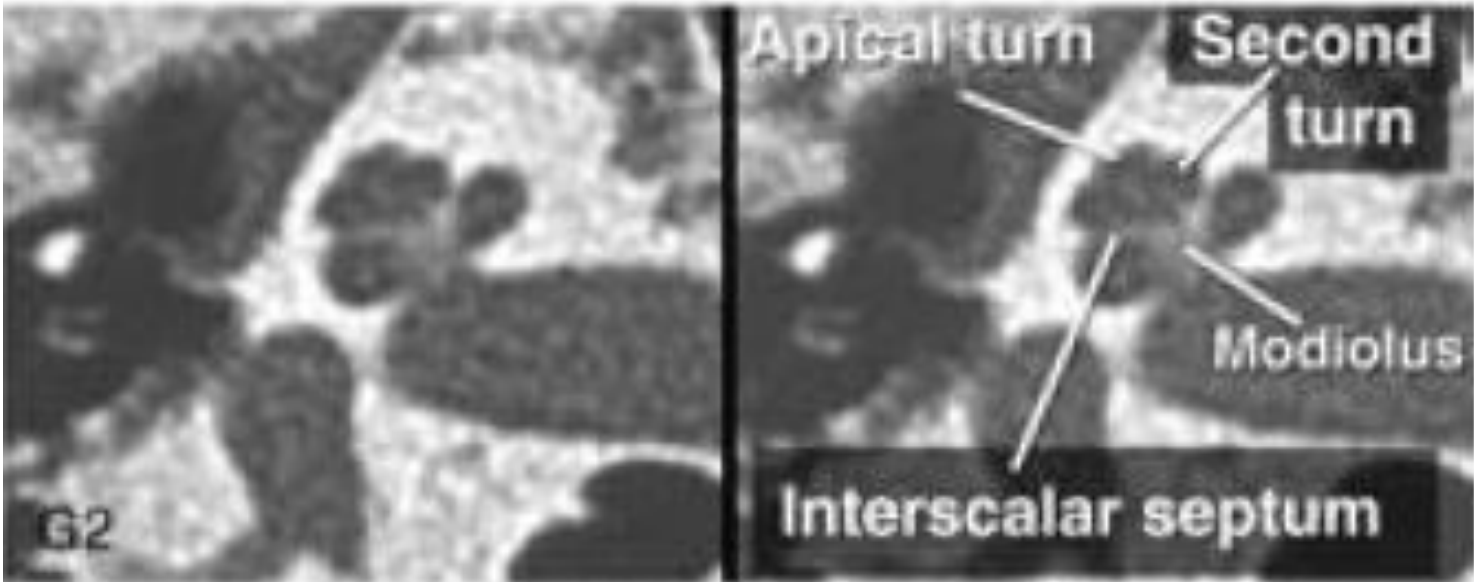
Blow-out κάταγμα του εδάφους του οφθαλμικού κόγχου

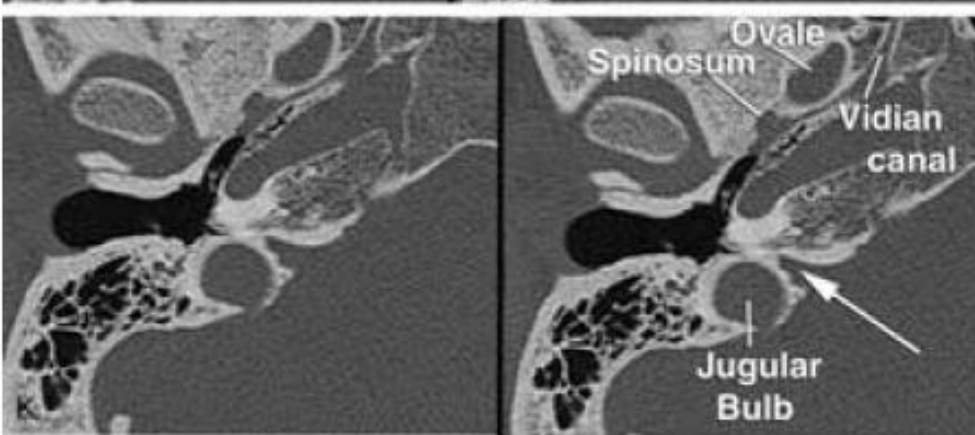
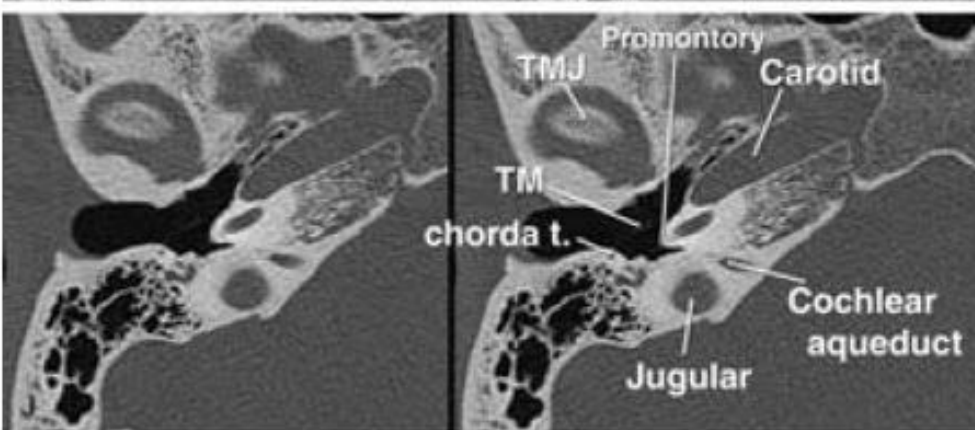
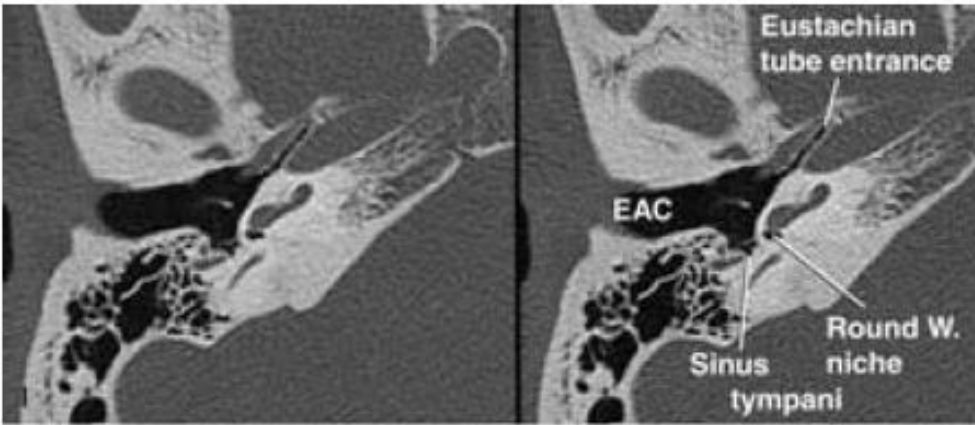
Κροταφικό οστό

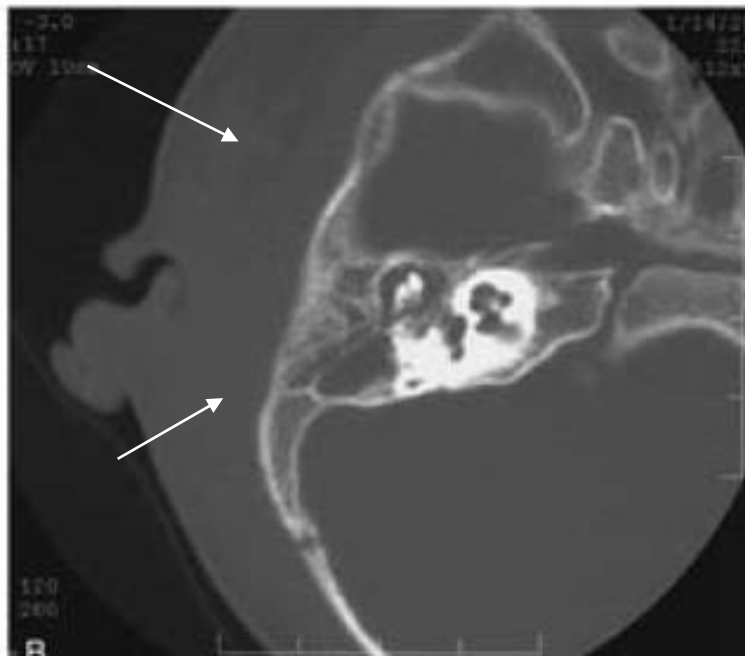
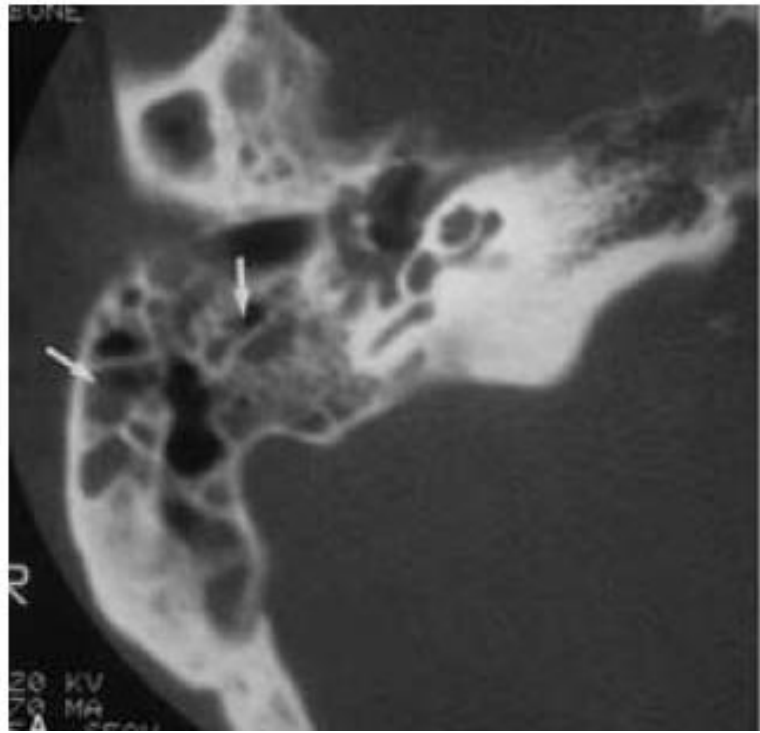
Ανατομία του ωτός



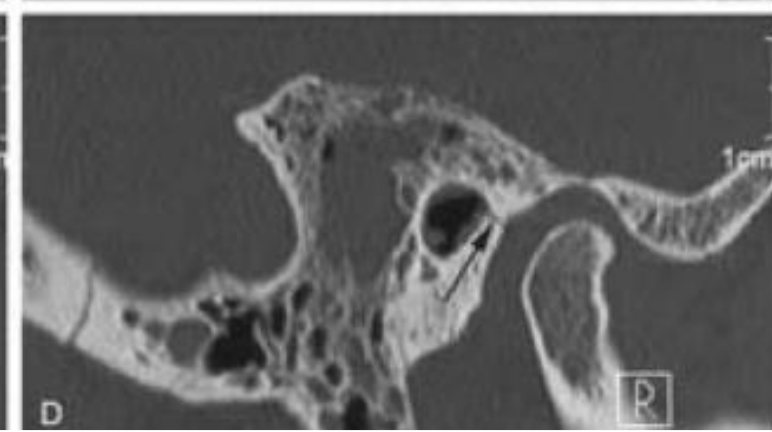
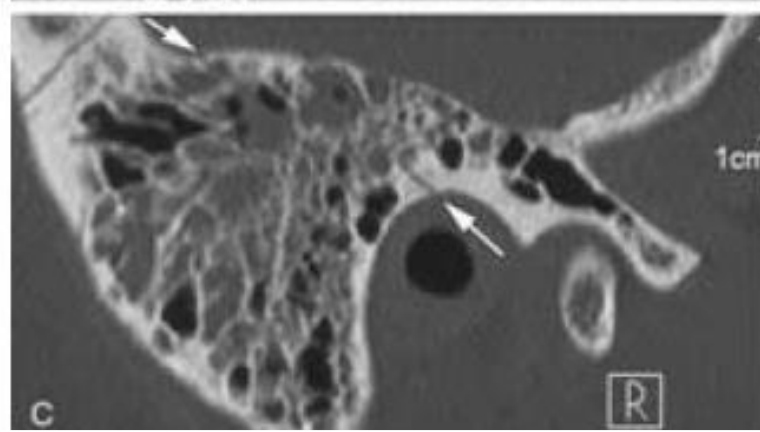
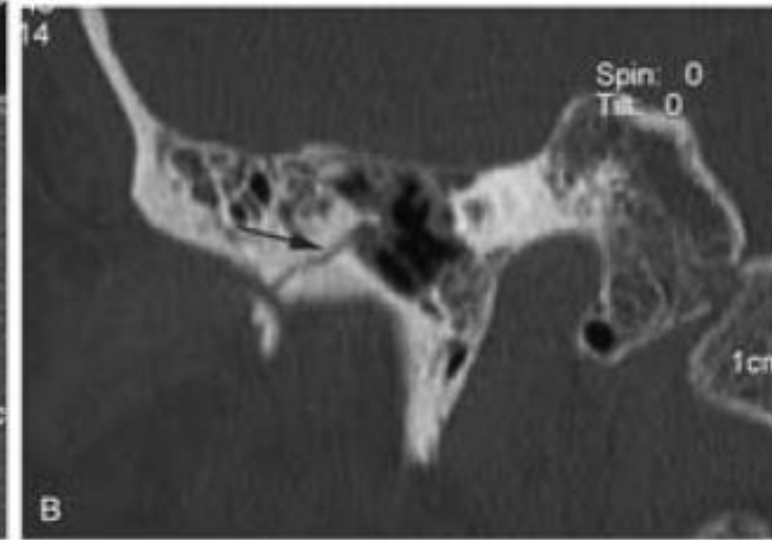
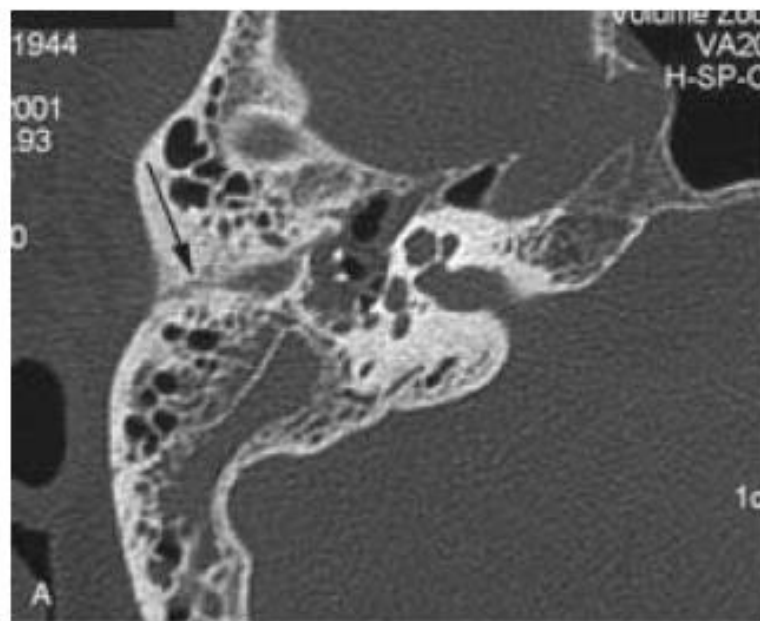




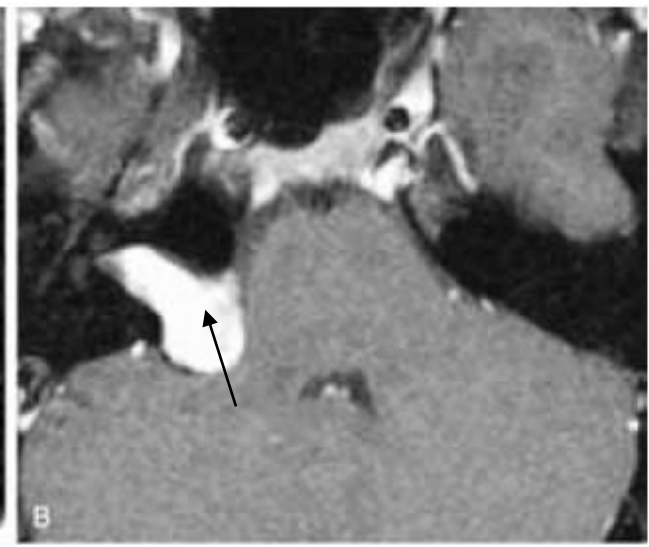
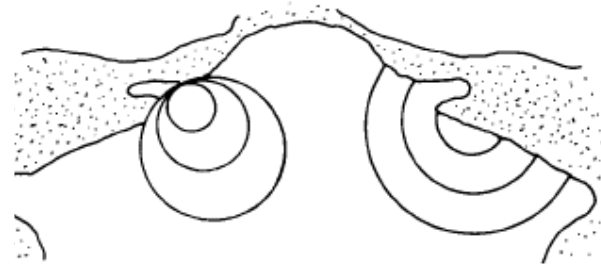




Οξεία μέση ωτίτιδα-μαστοειδίτιδα

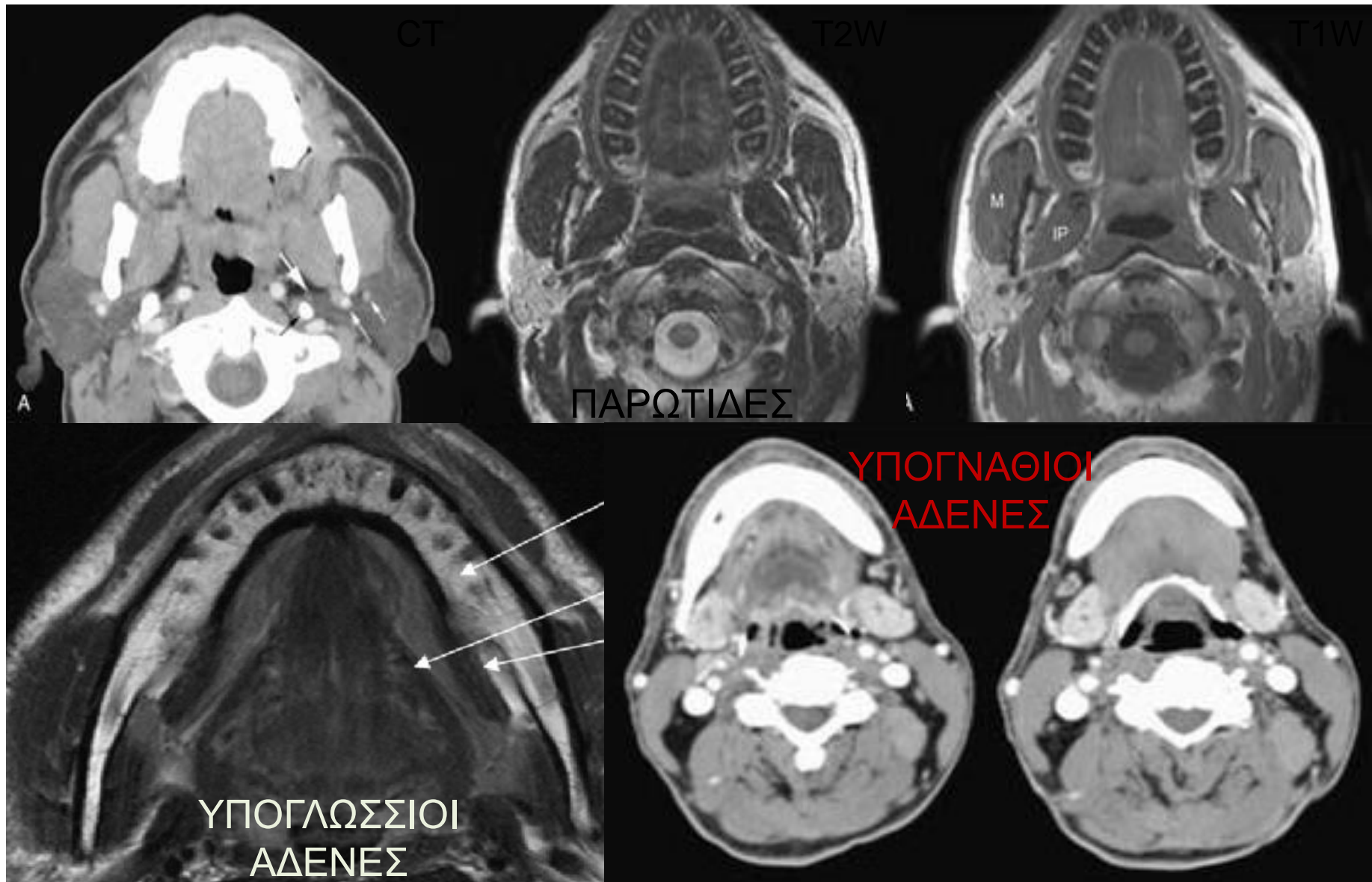


Επιμήκη κατάγματα

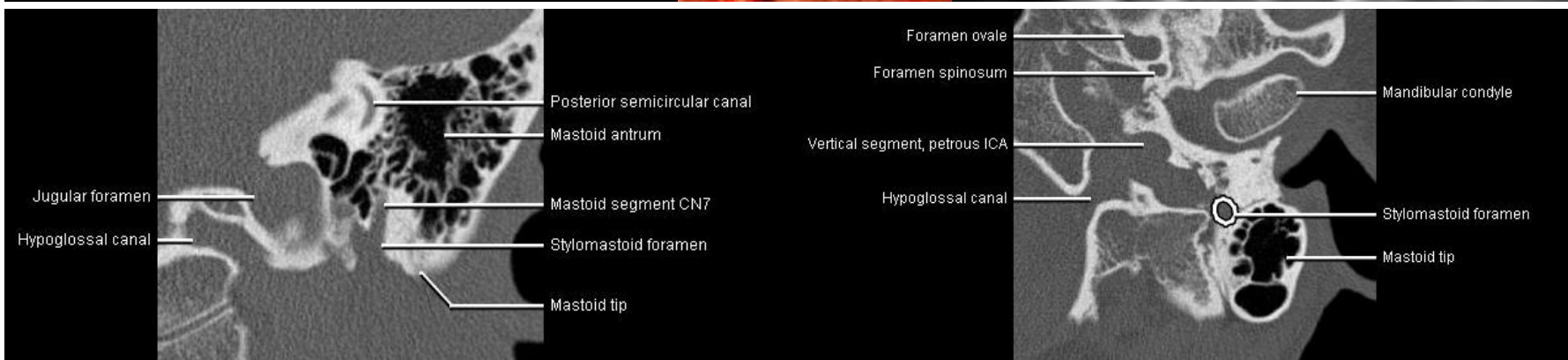
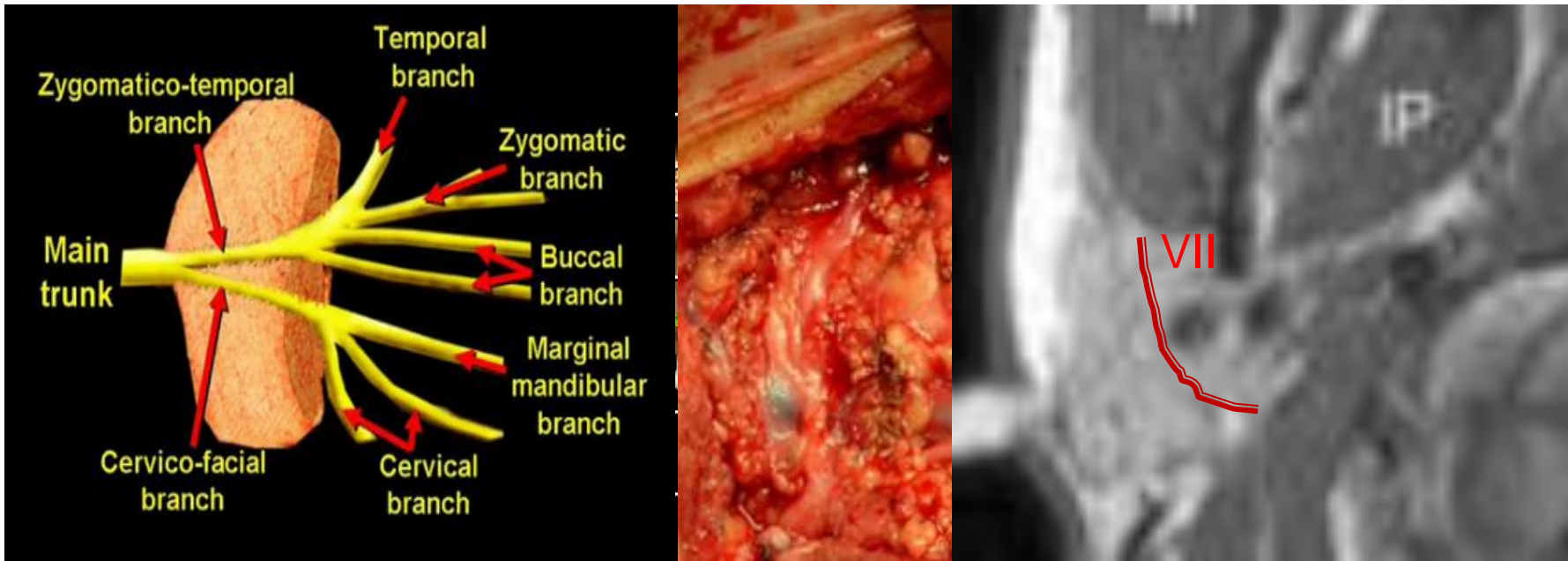


Ακουστικό νευρίνωμα

ΑΠΕΙΚΟΝΙΣΤΙΚΗ ΑΝΑΤΟΜΙΚΗ

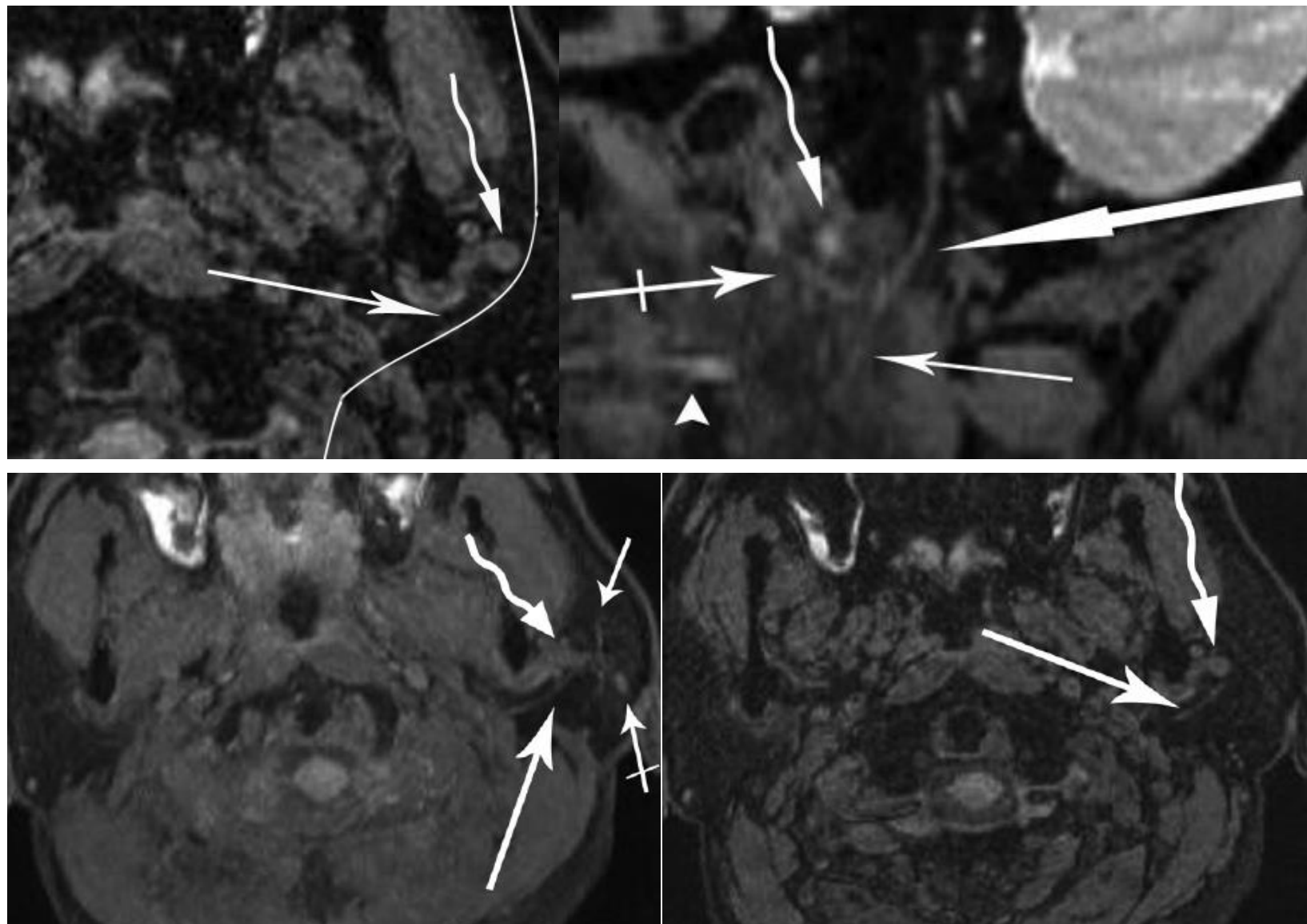


ΑΠΕΙΚΟΝΙΣΤΙΚΗ ΑΝΑΤΟΜΙΚΗ



3D Double-Echo Steady-State with Water Excitation MR Imaging of the Intraparotid Facial Nerve at 1.5T: A Pilot Study

Y. Qin et al AJNR 2011



ΦΛΕΓΜΟΝΕΣ

Σιελαδενίτιδα
Φλεγμονή των πόρων
Απόστημα
Κυτταρίτιδα

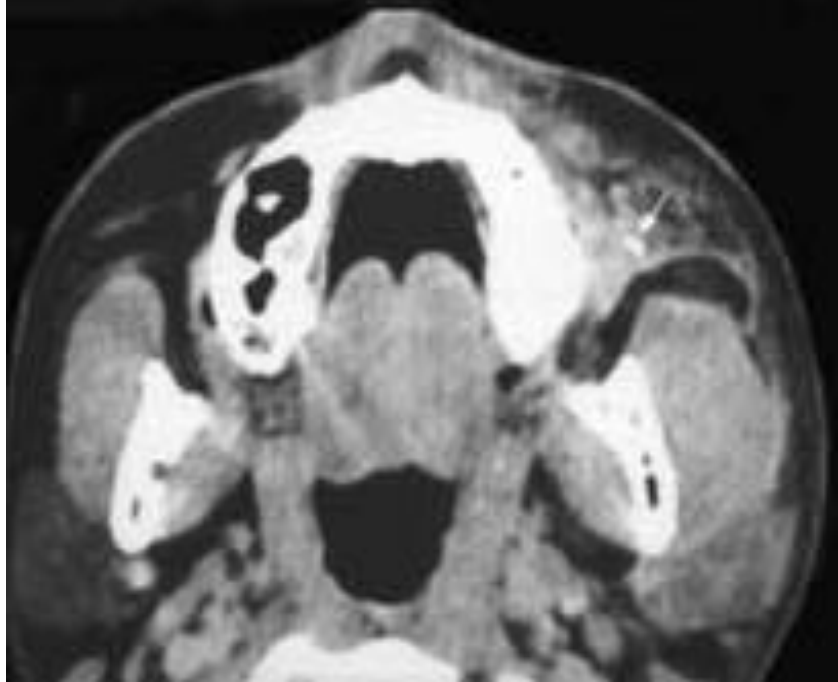
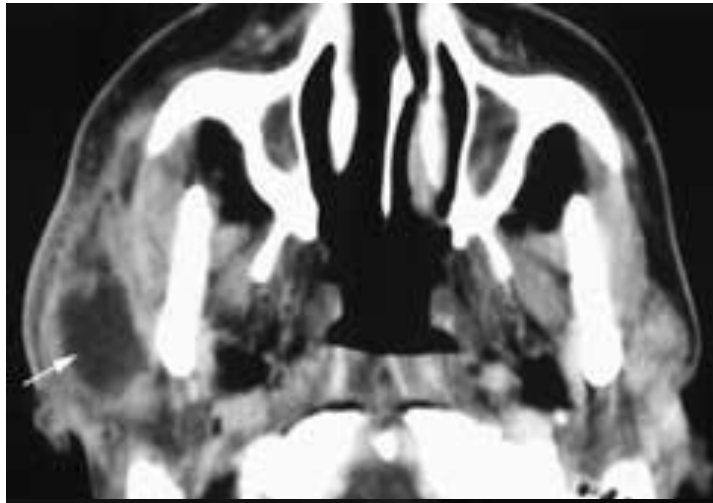
ΑΙΤΙΑ:

Λίθοι (80%-90% υπογνάθιος,
10%-20% παρωτίδα,
1-7% υπογλώσσιος)

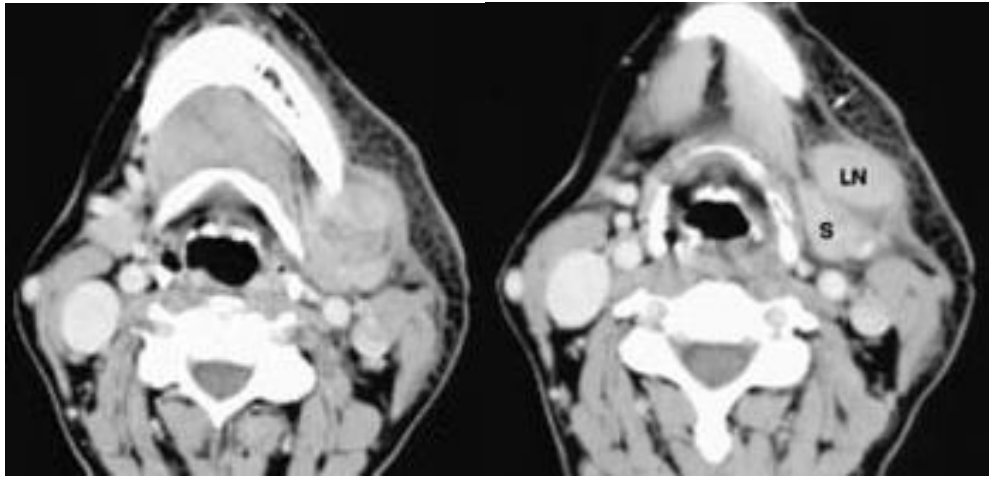
Λοιμώδη αίτια

ΕΠΙΠΛΟΚΕΣ:

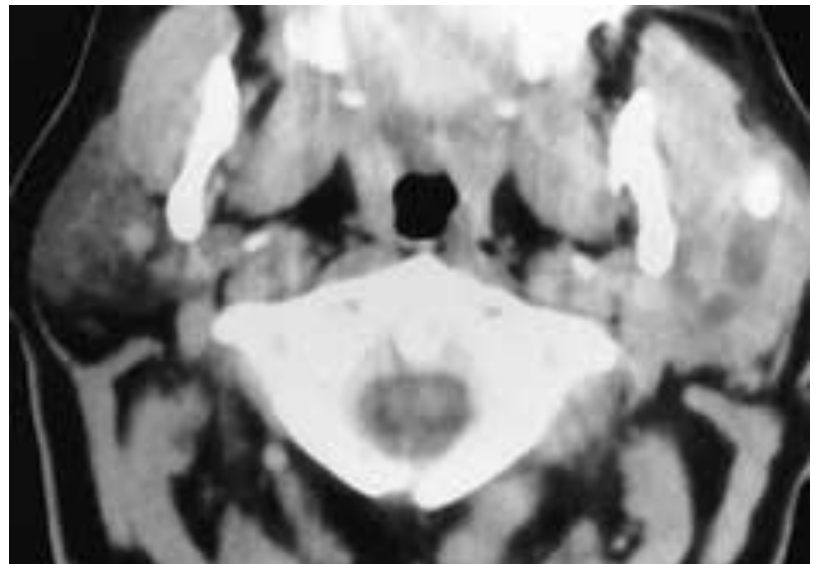
Στενώσεις



Σιελαδενίτιδα με σιελολιθίαση,
σιελοδοχήπιδα και σιελαδενίτιδα
κυτταρίτιδα και μυοσίτιδα



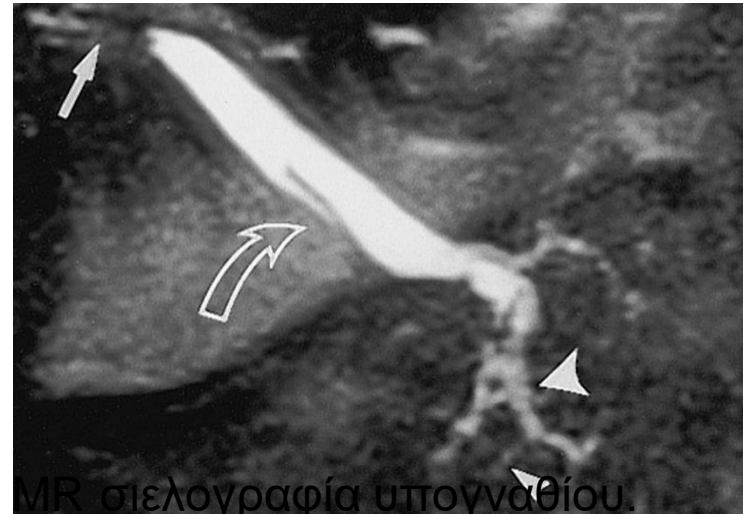
Οξεία υπογνάθιος σιελαδενίτιδα με
κυτταρίτιδα



Σιελαδενίτιδα με σιελολιθίαση
και φλεγμονή του πόρου

ΣΙΕΛΟΓΡΑΦΙΑ

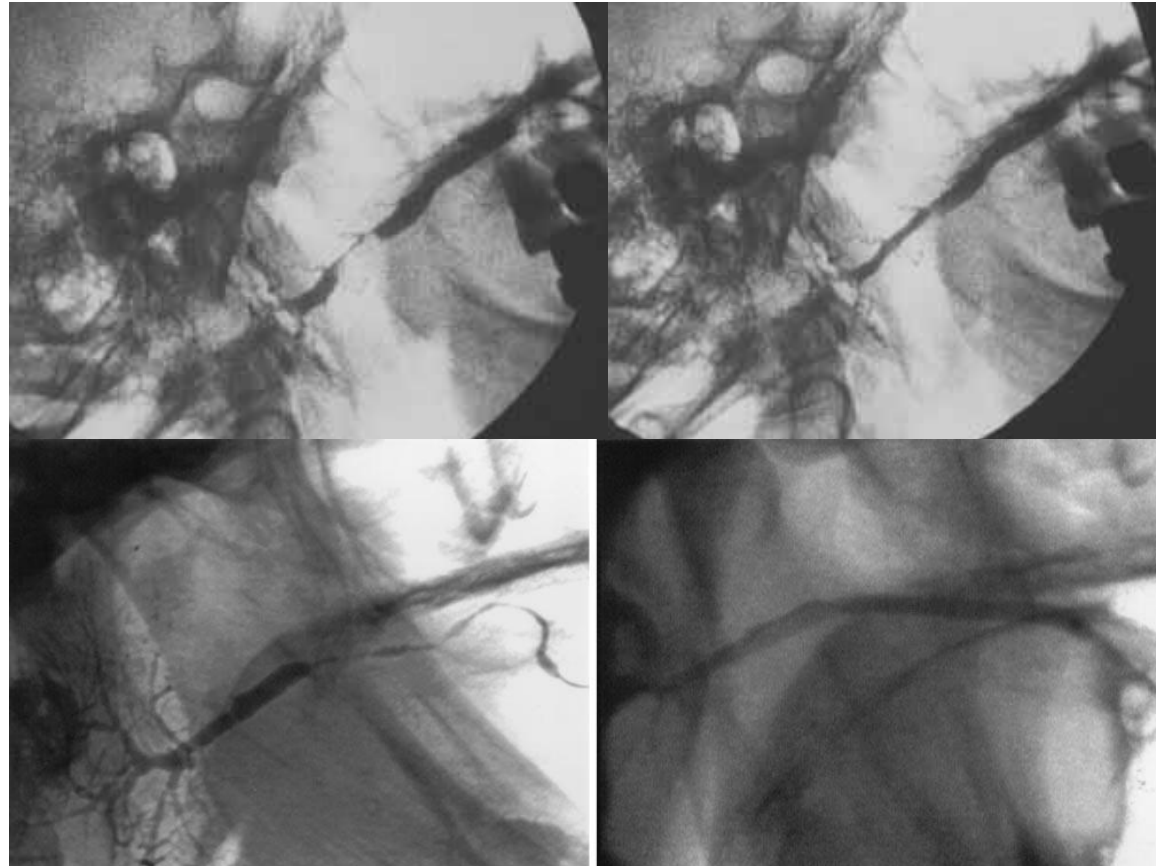
- Δεν χρησιμοποιείται συχνά σήμερα για διαγνωστικούς σκοπούς.
- Παραμένει η μοναδική εξέταση ανάδειξης της λεπτομερούς ανατομίας των πόρων (υπογναθίου και παρωτίδας).
- Δεν πρέπει να γίνεται στην οξεία φάση φλεγμονής.
 - Μετάδοση φλεγμονής προς τον αδένα.
 - Ιδιαίτερα επώδυνη στην οξεία φάση.
- Συνεχώς βελτιούμενη η MR σιελογραφία.
- Μπορεί να αντικαταστήσει την απλή σιελογραφία, στην μεγάλη πλειονότητα των περιπτώσεων.



Sialodochoplasty in the treatment of salivary-duct stricture in chronic sialoadenitis: technique and results

La scialodocoplastica nel trattamento della stenosi duttale nelle scialoadeniti croniche: tecnica e risultati

S. Salerno¹ • A. Lo Casto¹ • A. Comparetto¹ • F. Cannizzaro¹ • B. Barresi³ • R. Speciale²
R. Lagalla¹



ΟΓΚΟΙ

- Ο πιο συχνός καλοήθης όγκος είναι το πλειόμορφο αδένωμα (80%).
 - Εμφανίζεται σε μέσης ηλικίας γυναίκες.
- Ο δεύτερος πιο συχνός όγκος είναι ο όγκος Warthin
- Άλλοι συχνοί όγκοι είναι τα μονόμορφα αδενώματα και τα μυοεπιθηλιώματα.
- Ο πιο συχνός κακοήθης όγκος της παρωτίδας είναι το βλέννοεπιδερμοειδές καρκίνωμα (MEC).
- Ο πιο συχνός κακοήθης όγκος του υπογναθίου είναι το αδενοειδές κυστικό καρκίνωμα (AdCC).

ΜΑΓΝΗΤΙΚΗ ΤΟΜΟΓΡΑΦΙΑ

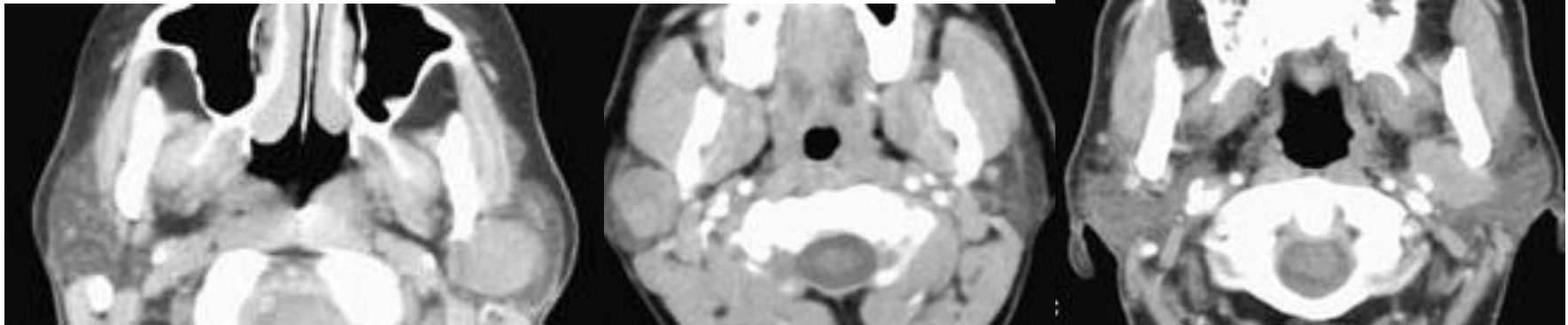
- Εξέταση εκλογής σε υποψία νεοπλασίας, ιδίως σε εν τω βάθει θέσεις.
- Αναγνωρίζει εύκολα την παρουσία πρόσθετου ιστού στην παρωτίδα (χαμηλό σήμα σε T1).
- Εκτιμά την έκταση της μάζας, την διήθηση παρακείμενων ιστών (πχ οστά, νεύρα).
- Γενικά η ΔΔ καλοήθειας και κακοήθειας είναι εφικτή αλλά όχι πάντα ακριβής.
- Ρόλος της δυναμικής χορήγησης Gd για την ΔΔ της εξεργασίας?

ΑΞΟΝΙΚΗ ΤΟΜΟΓΡΑΦΙΑ

- Ευαισθησία ανάδειξης όγκων είναι σχεδόν 100%.

ΥΠΕΡΗΧΟΤΟΜΟΓΡΑΦΙΑ

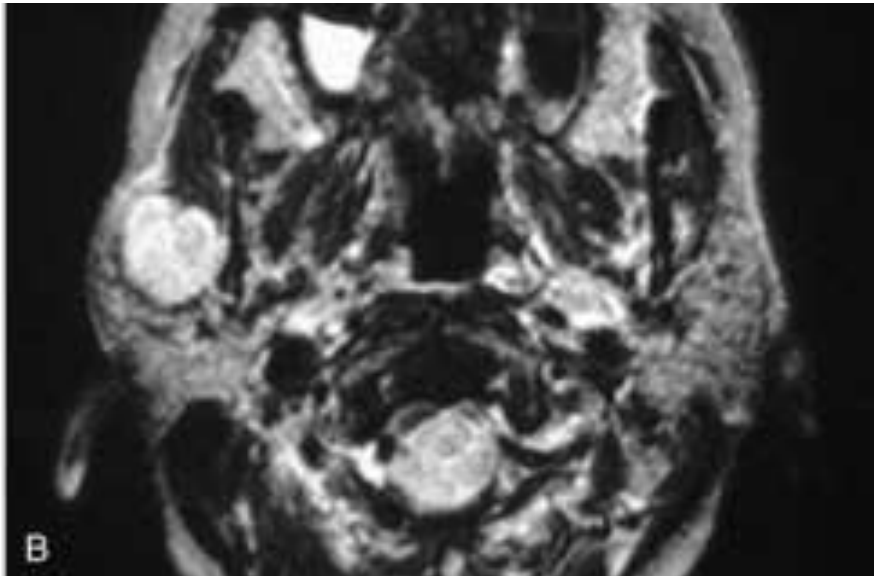
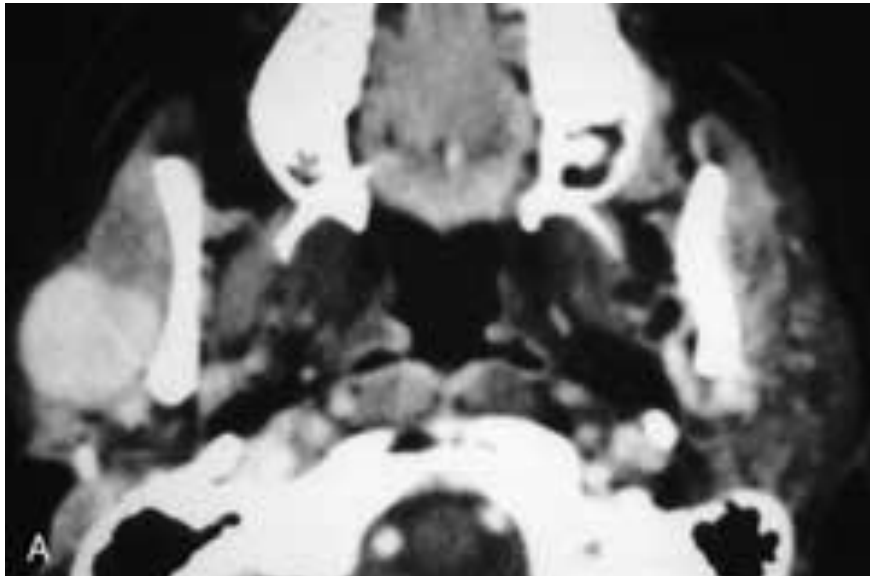
- ΔΔ μεταξύ κυστικών και συμπαγών μαζών.
- Άριστη ακρίβεια στην ΔΔ έξω και ένδο-αδενικής μάζας (98%).
- Σημαντικός ο ρόλος στην παρακέντηση μαζών.
- Όχι αξιόπιστη στην διερεύνηση εν τω βάθει μαζών.

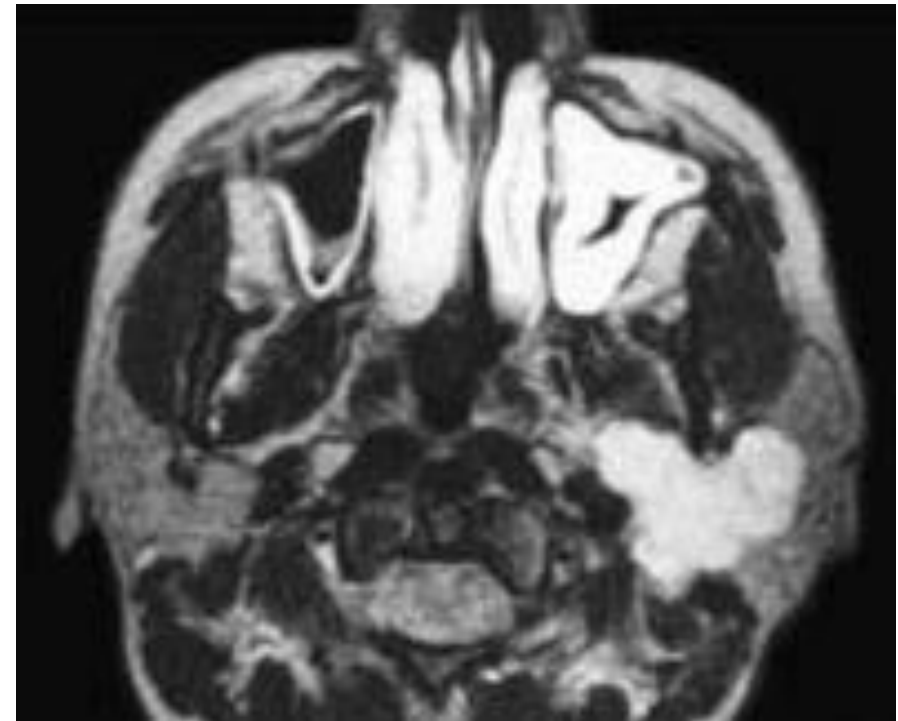
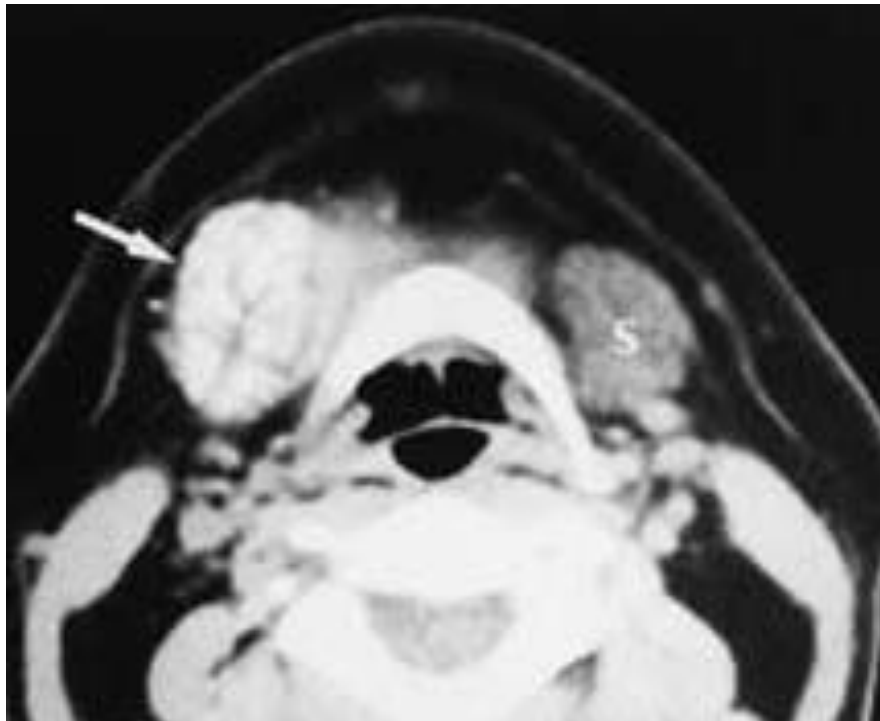


ΠΛΕΙΟΜΟΡΦΑ ΑΔΕΝΩΜΑΤΑ

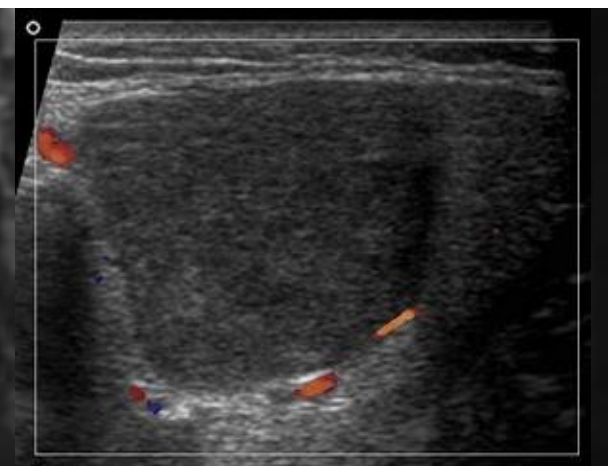
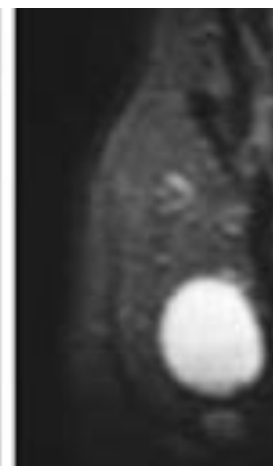
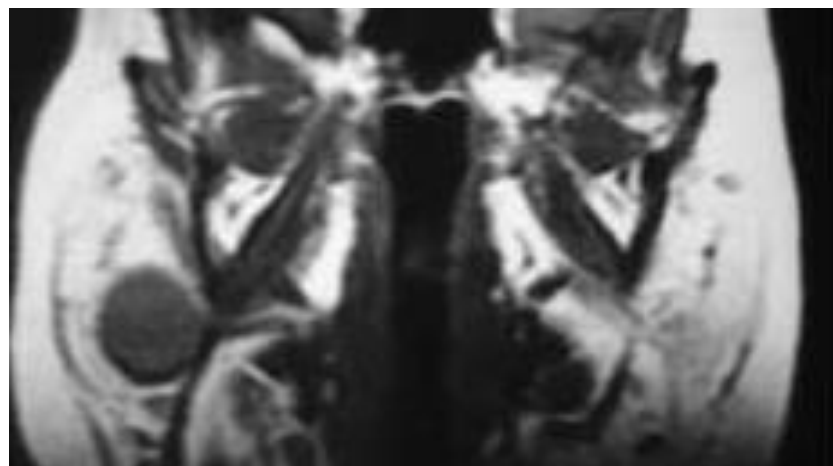
Στην CT, καλά περιγεγραμμένα, εμφανίζουν ποικίλη ενίσχυση, είναι πιο υπέρπτυκνα από τον παρωτιδικό ιστό

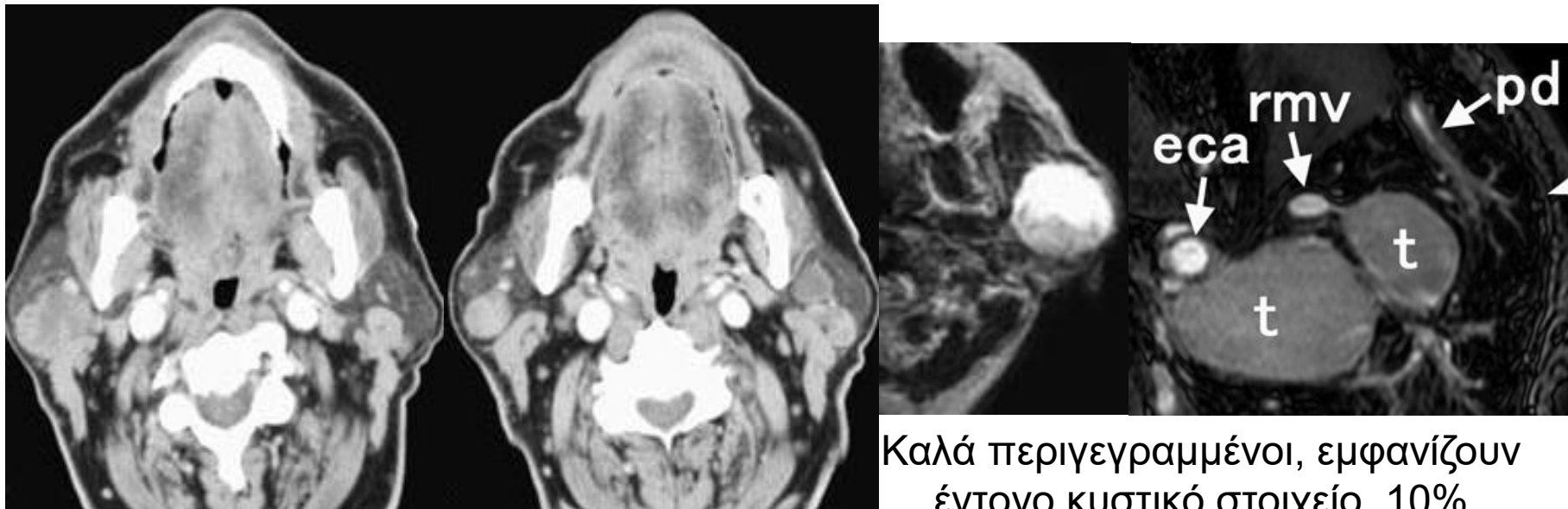
| Parotid tumours | Defined border | Necrotic/cystic | T1-signal intensity | T2-signal intensity | Enhancement |
|---------------------|----------------|-----------------|---------------------|---------------------|-------------|
| Pleomorphic adenoma | + | -/+ | ↓ | ↑↑↑ | ↑↑ |





ΠΛΕΙΟΜΟΡΦΟ ΑΔΕΝΩΜΑ



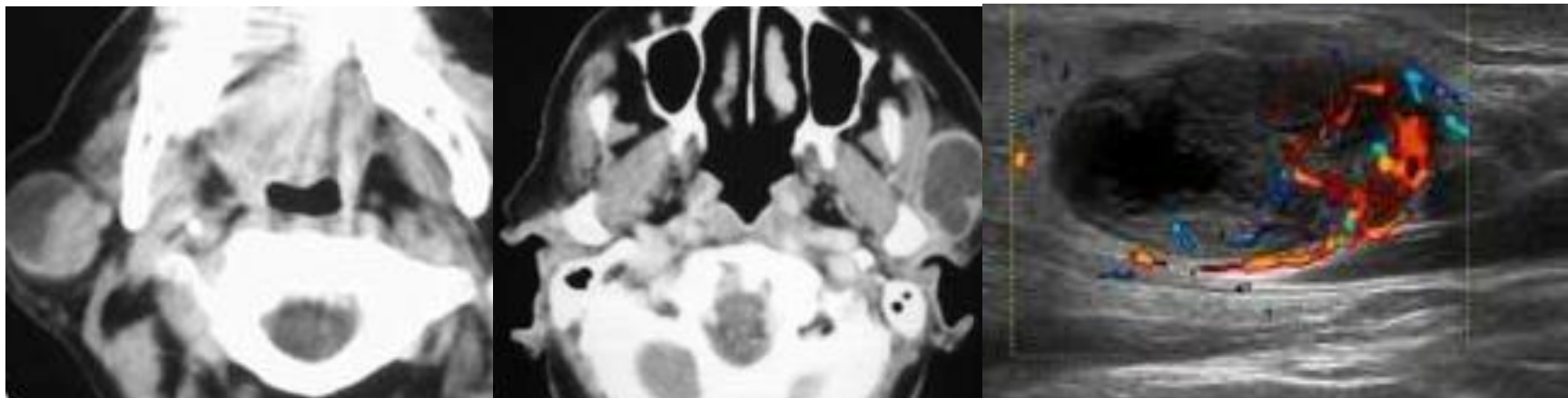


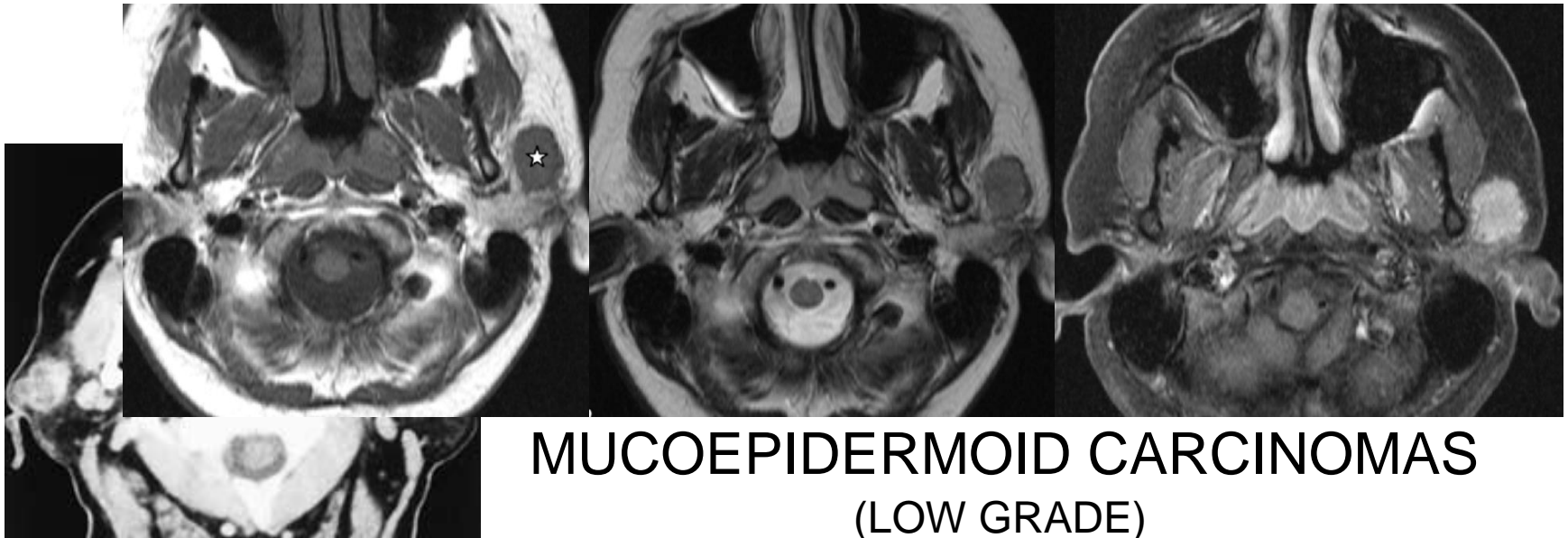
WARTHIN'S TUMORS

Καλά περιγεγραμμένοι, εμφανίζουν
έντονο κυστικό στοιχείο, 10%
αμφοτερόπλευρα, εντοπίζονται στην ουρά
της παρωτίδας, μπορεί πολλαπλοί

Table 1 Typical MRI features of the most frequent parotid gland tumours

| Parotid tumours | Defined border | Necrotic/cystic | T1-signal intensity | T2-signal intensity | Enhancement |
|------------------|----------------|-----------------|---------------------|---------------------|-------------|
| Wharton's tumour | + | ++ | ↓ | ↓ | (↑) |

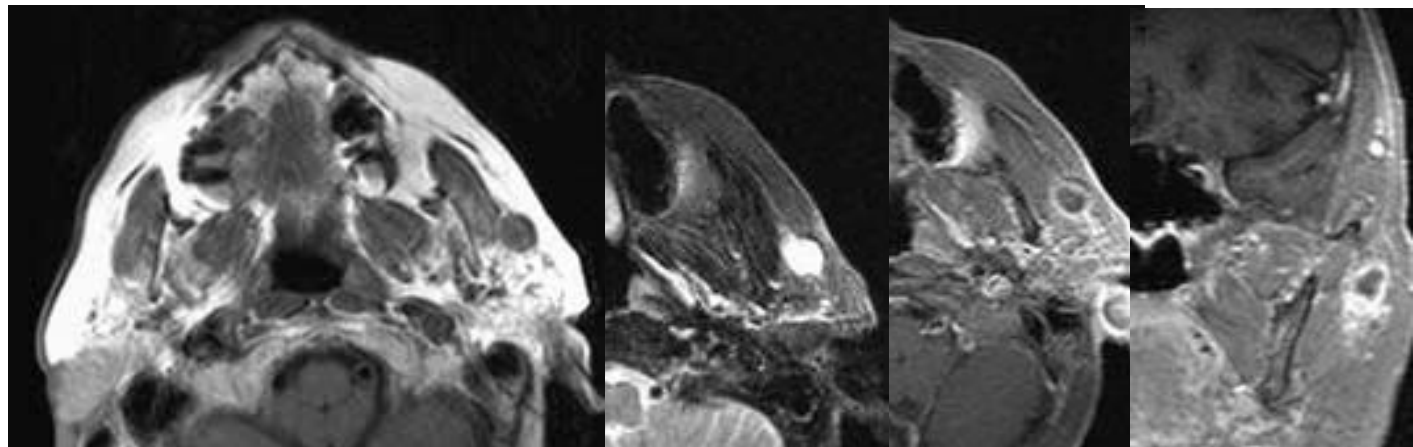


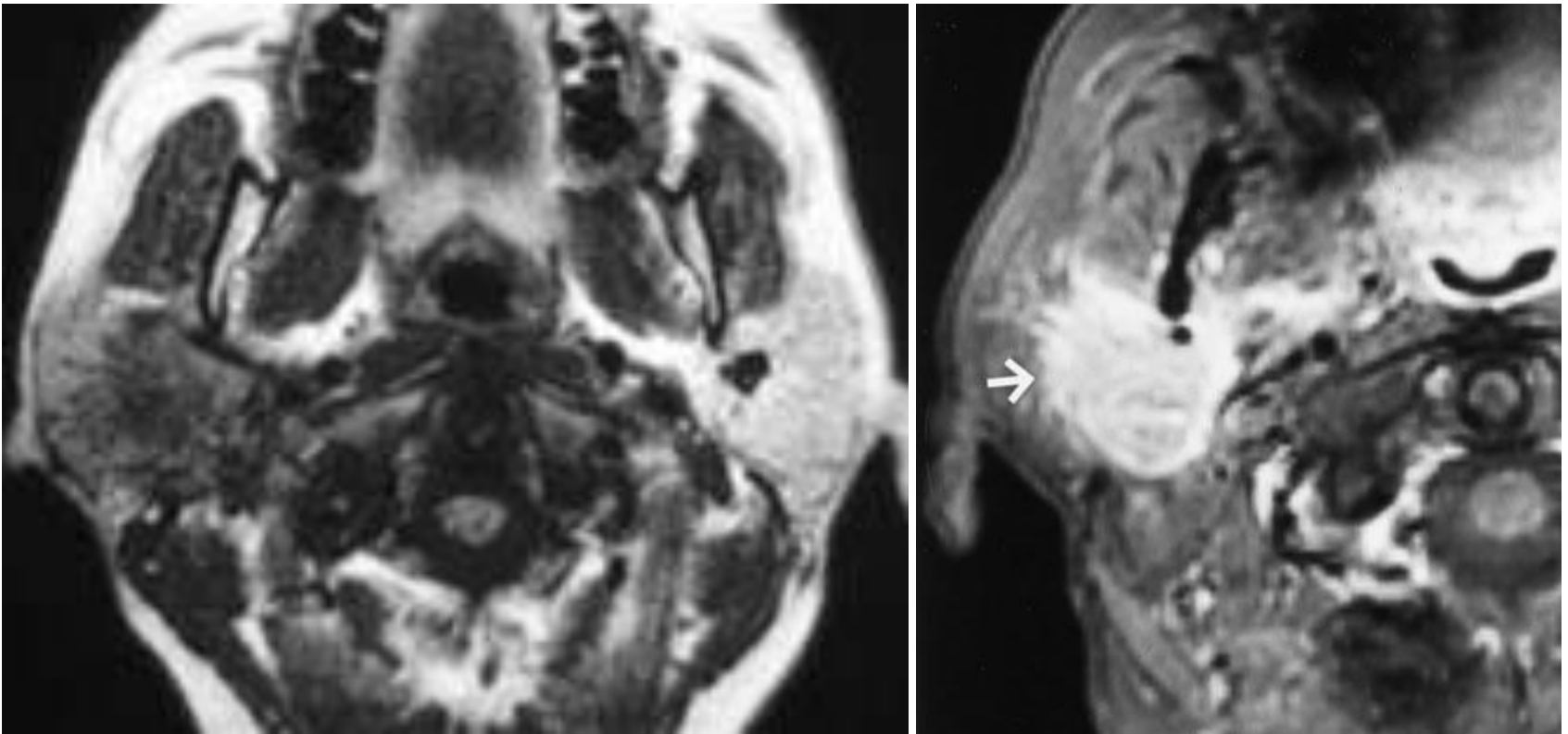


MUCOEPIDERMOID CARCINOMAS (LOW GRADE)

Table 1 Typical MRI features of the most frequent parotid gland tumours

| Parotid tumours | Defined border | Necrotic/cystic | T1-signal intensity | T2-signal intensity | Enhancement |
|--------------------------|----------------|-----------------|---------------------|---------------------|-------------|
| Mucoepidermoid carcinoma | +/- | - | ↓(↑) | ↓(↑) | ↑ |
| Adenoid-cystic carcinoma | - | + | ↓ | ↑ | ↑↑ |
| Acinic cell carcinoma | -/+ | + | ↓ | ↑(↓) | (↑) |





MUCOEPIDERMOID CARCINOMAS (HIGH GRADE)

